

LAURINDA LÚCIA NOGUEIRA DOS REIS

OTIMIZAÇÃO DOS PARÂMETROS DE UM
DIVISOR DE POTENCIAL RESISTIVO

Dissertação apresentada à Coordenação dos Cursos de Pós-Graduação em Engenharia Elétrica da Universidade Federal da Paraíba, em cumprimento às exigências para obtenção do Grau de Mestre em Engenharia Elétrica.

ÁREA DE CONCENTRAÇÃO : Processamento da Energia

ORIENTADOR : SREERAMULU RAGHURAM NAIDU

CAMPINA GRANDE - Pb

junho - 1984

L'LAURINDA LÚCIA NOGUEIRA DOS REIS

OTIMIZAÇÃO DOS PARÂMETROS DE UM
DÍVISOR DE POTENCIAL RESISTIVO

Dissertação apresentada à Coordenação dos Cursos de Pós-Graduação em Engenharia Elétrica da Universidade Federal da Paraíba, em cumprimento às exigências para obtenção do Grau de Mestre em Engenharia Elétrica.

ÁREA DE CONCENTRAÇÃO: Processamento da Energia

ORIENTADOR: Sreeramulu Raghuram Naidu

CAMPINA GRANDE - PB

AGOSTO - 1984



R375o	<p>Reis, Laurinda Lúcia Nogueira dos. Otimização dos parâmetros de um divisor de potencial resistivo / Laurinda Lúcia Nogueira dos Reis. - Campina Grande, 1984. 92 f.</p> <p>Dissertação (Mestrado em Engenharia Elétrica) - Universidade Federal da Paraíba, Centro de Ciências e Tecnologia, 1984. "Orientação : Prof. Dr. Sreeramulu Raghuram Naidu". Referências.</p> <p>1. Alta Voltagem. 2. Tensão Elétrica. 3. Potencial Resistivo - Divisor. 4. Otimização dos Parâmetros - Divisor de Potencial Resistivo. 5. Engenharia Elétrica - Dissertação. I. Naidu, Sreeramulu Raghuram. II. Universidade Federal da Paraíba - Campina Grande (PB). III. Título</p> <p>CDU 621.3.027.3(043)</p>
-------	--

OTIMIZAÇÃO DOS PARÂMETROS DE UM
DIVISOR DE POTENCIAL RESISTIVO

LAURINDA LÚCIA NOGUEIRA DOS REIS

Dissertação aprovada em 30/8/1984

Sreeramulu Raghuram Naidu

SREERAMULU RAGHURAM NAIDU
Orientador

Drumond Xavier Cavalcanti Lima

DRUMOND XAVIER CAVALCANTI LIMA
Componente da Banca

Antonio Faustino Cavalcanti Neto

ANTONIO FAUSTINO CAVALCANTI NETO
Componente da Banca

CAMPINA GRANDE - Pb

1 9 8 4

D E D I C A T Ô R I A

A Alberto e Livia, meu esposo e filha.

AGRADECIMENTOS

Quero expressar os meus agradecimentos a todos que, direta ou indiretamente contribuíram para a efetivação deste trabalho.

Em especial ao Professor SREERAMULU RAGHURAM NAIDU, pelo incentivo e orientação.

Ao Conselho Nacional de Desenvolvimento Científico e Tecnológico - CNPq, que através do Processo 40.2281/82 forneceu parte dos recursos utilizados nos trabalhos experimentais, os meus agradecimentos.

LISTA DE SÍMBOLOS

Z_1 - impedância de alta-tensão

Z_2 - impedância de baixa-tensão

$v_1(t)$ - tensão de entrada

$v_2(t)$ - tensão de saída

Z_L' - impedâncias sêries

Z_q' - impedâncias ã terra

R_1 - resistência de alta-tensão

R_2 - resistência de baixa-tensão

a - fator de escala do divisor

C_e' - capacitância parasita paralela para terra

C_p' - capacitância paralela associada ã coluna resistiva

R_T - resistência de amortecimento do divisor

C_1 - capacitância de alta-tensão

C_2 - capacitância de baixa-tensão

L.T. - linha de transmissã

V_0 - amplitude da tensão degrau

$\mu(t)$ - função degrau unitário

$w(t)$ - resposta ao degrau

T - tempo de resposta

T_1 - tempo de resposta parcial

$g(t)$ - função degrau

U - tensão do sistema

S - taxa de crescimento

T_c - tempo de corte

T_e - tempo de elevação

V - potencial no contorno

A_{ji} - coeficientes do potencial associado às cargas

Q_i - cargas fictícias

B_j - potencial do contorno

r - raio

z - comprimento sobre o eixo de simetria em relação ao plano de referência

$K(k)$ - integral elíptica de primeira espécie

E_r, E_z - campo elétrico

$E(k)$ - integral elíptica de segunda espécie

e_k - potencial do toróide

\mathcal{A}_1 - vetor de potencial de contorno

ζ - tempo de trânsito

Z - impedância de surto

L - indutância da linha

C - capacitância da linha

t - tempo

$i(x,t)$ - corrente da linha em função do tempo

$e(x,t)$ - tensão da linha em função do tempo

f_1, f_2 - são funções das variáveis $(x-vt)$ e $(x+vt)$

$(x-vt)$ e $(x+vt)$ - ondas viajantes progressiva e regressiva, respectivamente

v - velocidade de propagação

m, k - terminais da linha (nós)

e_m - tensão no terminal "m"

i_{mk}, i_{km} - corrente entre os nós "m" e "k", e "k" e "m", respectivamente

e_k - tensão no terminal "k"

e_{km}, e_{mk} - tensão entre os nós "k" e "m", e "m" e "k", respectivamente

I_k, I_m - corrente fictícia no nó "k" e "m", respectivamente

Δt - intervalo de tempo

R - resistência

Z_e - impedância equivalente da L.T.

$e(t)$ - tensão nodal

Z_1, Z_2 - impedâncias da L.T. do circuito equivalente do divisor

GKTOR, GLTOR, GM_i , G_i , GS_i , GL_i - condutâncias do circuito equivalente do divisor, $i=1,2,\dots,m$

CKTOR, CLTOR, CCM_i , CCL_i , CCS_i , CCG_i , C1X, CL2, CORX1, CORX2, CCOS - fontes de corrente fictícias do circuito equivalente do divisor, da L.T. e do osciloscópio, respectivamente

RCOS - resistência do osciloscópio

$|Y|$, $|Y11|$, $|Y12|$, $|YKK|$ - matrizes de condutâncias do circuito equivalente do divisor

$i(t)$ - correntes nodais

$I,c(t)$ - fonte de corrente fictícia

\bar{X} - vetor de parâmetros

\bar{g} - vetor gradiente

$|H|$, A - matriz Hessiana

∇E - vetor gradiente da função objetivo

S - elastância

G - condutância

T - indutância recíproca

μ - vetor unitário na direção de $-\bar{g}$

λ - escalar não negativo que determina o valor ótimo

α_i - escalar positivo define a distância entre \bar{X}_i e \bar{X}_{i+1}
(pontos de pesquisa)

P_i, P_j - vetor de pesquisa

β_i - escalar positivo

CS_i - capacitâncias paralelas, entre os vários nós ao longo do ramo de A.T.

CL_i - capacitâncias entre os nós e terra

CM_i - capacitâncias entre os nós e o terminal de A.T.

CKG - capacitâncias entre o eletrodo de blindagem e terra

CT1, CT2 - capacitâncias de entrada

v_i - distribuição de potencial eletrostático entre os nós ao longo da coluna do divisor, considerando o terminal de A.T. ligado diretamente ao eletrodo de blindagem

e_i - idem considerando o terminal de A.T. eletricamente isolado do eletrodo de blindagem

λ_i - vetores do potencial do contorno

$X_m(t)$ - resposta obtida

$\bar{X}_m(t)$ - resposta desejada

F - funcional de desempenho

G_c - gradiente de F em relação ao vetor de capacitâncias |C|

RD, RT - resistências de amortecimento

G_{RD}, G_{RT} - gradiente de F em relação às resistências de amortecimento

$\delta F, \delta C, \delta RD, \delta RT$ - variação da funcional de desempenho, capacitâncias e resistências de amortecimento;

respectivamente.

$\mu_i, \alpha_i, \beta_i, \gamma_i, \delta_i, \epsilon_i$ e θ_i - funções multiplicadores de La
grange

ρ_i - distância do perfil

f_{aj}, f_{bi} - negativo do campo elétrico na direção ρ_i

LISTA DE FIGURAS

		<u>Página</u>
Figura 2.1	- Circuito de ensaio de tensão de impulso	6
Figura 2.2	- Diagrama básico de um circuito de divisor de potencial	9
Figura 2.3	- Circuito equivalente para divisores de potencial.	9
Figura 2.4	- Divisor resistivo.	11
Figura 2.5	- Circuito equivalente para divisor resistivo	11
Figura 2.6	- Divisor de tensão capacitivo puro.	18
Figura 2.7	- Divisor de potencial misto	21
	a) arranjo paralelo	
	b) arranjo série	
Figura 2.8	- Definição do tempo de resposta T	27
Figura 2.9	- Configuração experimental para medição da resposta degrau unitário	28
	a) arranjo horizontal	
	b) arranjo em quadratura	
	c) arranjo vertical	
Figura 2.10	- Influência do tempo de resposta na magnitude e atraso da tensão medida	30
	a) impulso linearmente crescente	
	b) impulso de onda cortada	

Figura 2.11	- Parâmetros característicos das ondas de tensão de impulso padrão	32
	a) tensão de impulso atmosférico	
	b) tensão de impulso de manobra	
Figura 3.1	- Método de simulação de cargas	39
Figura 3.2	- Representação de um anel de carga pelas coordenadas	39
Figura 3.3	- Divisor de potencial resistivo com eletrodo de blindagem	44
Figura 3.4	- Eletrodo de blindagem ligado diretamente ao terminal de A.T. do divisor	46
Figura 3.5	- Eletrodo de blindagem flutuante	48
Figura 3.6	- Circuito equivalente de uma linha de transmissão sem perdas.	54
	a) linha de transmissão	
	b) circuito equivalente	
Figura 3.7	- a) indutância e circuito equivalente .	58
	b) capacitância e circuito equivalente	
	c) resistência e circuito equivalente	
Figura 3.8	- Resistência série da linha concentrada nas extremidades	61
Figura 3.9	- Resistência série da linha concentrada no meio e nas extremidades	61
Figura 3.10	- Circuito equivalente do divisor de potencial resistivo para cálculo de transitórios	63

Figura 4.1	- Divisor de potencial resistivo sem resistência de amortecimento e seu circuito equivalente	87
Figura 4.2	- Divisor sem o enrolamento resistivo e o circuito equivalente para capacitâncias parasitas	89
Figura 4.3	- Divisor com resistência de amortecimento e circuito equivalente	92
Figura 4.4	- Circuito equivalente de uma rede de estrutura fixa, linear e invariante no tempo	95
	a) valores reais	
	b) excitação do erro	
Figura 4.5	- Sistema de medição para altas tensões de impulso	107
Figura 4.6	- Circuito equivalente para o sistema de medição	109
Figura 5.1	- Diagrama de blocos do programa computacional	122
Figura 5.2	- Descrição do perfil inicial do eletrodo	124
Figura 5.3	- Perfil ótimo do eletrodo de blindagem	129
Figura 5.4	- Resposta Degrau medida	133
Figura 5.5	- Sistema de medição para altas tensões de impulso com eletrodos de blindagem no ramo de baixa-tensão	134
Tabela I	- Parâmetros do circuito equivalente de capacitâncias parasitas	125
Tabela II	- Parâmetros para o modelo de resposta ótima	130

Í N D I C E

Página

CAPÍTULO I

INTRODUÇÃO	1
----------------------	---

CAPÍTULO II

MEDIÇÃO DE ALTAS TENSÕES DE IMPULSO.	4
- Introdução	4
2.1 - Sistema de Medição de Tensão de Impulso.	5
2.2 - Princípios Básicos de Divisores de Tensão.	8
2.2.1 - Divisores de Potencial Resistivo	10
2.2.1.1 - Divisores Resistivos para Medição de Tensão de Impulso	13
2.2.1.2 - Divisores Resistivos para Medição de Tensão Contínua	15
2.2.1.3 - Divisores Resistivos para Medição de Tensão Alternada	16
2.2.2 - Divisores de Potencial Capacitivo.	17
2.2.3 - Divisores Mistos	20
2.3 - Características de Transferência dos Sistemas de Medição de Tensão de Impulso	23
2.3.1 - Efeito do Tempo de Resposta para um Sistema de Medição Definido	29

2.3.2	- Grandezas a Medir e Precisão Exigida . . .	31
2.4	- Influência dos Parâmetros de um Divisor Resistivo no Desempenho do Sistema de Medição	34

CAPÍTULO III

FERRAMENTAS MATEMÁTICAS PARA O CÁLCULO ÓTIMO DOS PARÂMETROS DE UM DIVISOR DE POTENCIAL		36
	- Introdução	36
3.1	- Cálculo do Campo Eletrostático	36
3.1.2	- Método de Simulação de Cargas.	37
3.1.3	- Cálculo do Campo Elétrico do Divisor de Potencial	43
3.1.3.1	- Eletrodo de Blindagem Ligado Diretamente ao Terminal de A.T. do Divisor	45
3.1.3.2	- Cálculo do Campo Elétrico do Divisor com Eletrodo de Blindagem Eletricamente Isolado.	47
3.1.4	- Cálculo Simultâneo dos Dois Campos	50
3.2	- Cálculo de Transitórios Eletromagnéticos	52
3.2.1	- Linha de Transmissão sem Perdas	53
3.2.2	- Parâmetros Concentrados	56
3.2.2.1	- Indutância	56
3.2.2.2	- Capacitância	57
3.2.2.3	- Resistência.	59
3.2.3	- Linha de Transmissão com Perdas.	60
3.2.4	- Procedimento Computacional.	62

3.3	- Conceitos Básicos de Otimização	67
3.3.1	- Aspectos Básicos de Otimização	68
3.3.1.1	- Otimização de uma Variável	69
3.3.1.2	- Otimização de Multi-variável	70
3.3.1.2.1	- Método do Degrau-Decrescente.	73
3.3.1.2.2	- Método de Fletcher-Reeves	78

CAPÍTULO IV

OTIMIZAÇÃO DE UM SISTEMA DE MEDIÇÃO	85
- Introdução	85
4.1 - Modelo do Divisor de Tensão Resistivo	85
4.1.1 - Circuito Equivalente	86
4.1.2 - Cálculo das Capacitâncias Parasitas	88
4.1.3 - Cálculo dos Parâmetros	90
4.1.3.1 - Cálculo dos Parâmetros com Eletrodo de Blindagem Diretamente Ligado ao Terminal de A.T.	90
4.1.3.2 - Cálculo dos Parâmetros com Eletrodo Iso- lado Eletricamente	91
4.2 - Otimização de um Circuito Elétrico	93
4.2.1 - Algoritmo do Método de Otimização	104
4.3 - Otimização do Sistema de Medição	106
4.3.1 - Circuito Equivalente do Sistema de Medição.	108
4.3.2 - Resposta do Sistema de Medição	111
4.3.3 - Procedimento Iterativo	113

CAPÍTULO V

VERIFICAÇÃO DO SISTEMA ÓTIMO DE MEDIÇÃO	120
- Introdução	120
5.1 - Procedimento Computacional	120
5.2 - Construção do Sistema de Medição Ótimo . . .	127
5.3 - Resposta do Sistema de Medição Ótimo . . .	131
5.4 - Resultados	132

CAPÍTULO VI

CONCLUSÕES	136
APÊNDICE	138
BIBLIOGRAFIA	188

R E S U M O

O objetivo deste trabalho, é desenvolver uma técnica de otimização dos parâmetros de um sistema de medição de alta tensão de impulso, utilizando um divisor de potencial resistivo. Os parâmetros considerados nesse sentido são: a geometria dos eletrodos de blindagem, as resistências de amortecimento e a resistência do ramo de baixa-tensão do divisor.

Uma nova técnica de otimização do sistema de medição foi desenvolvida baseada no modelo do circuito equivalente de um divisor de potencial resistivo. Aplicou-se esta técnica para a obtenção dos valores ótimos dos parâmetros de um sistema de medição para impulsos de 1MV. Os parâmetros ótimos e a resposta degrau do sistema de medição foram calculados. Utilizando-se os parâmetros ótimos foi construído um divisor de potencial resistivo, através do qual obteve-se a medição da resposta degrau e do tempo de resposta. O tempo de resposta obtido foi menor do que 20ns.

A B S T R A C T

The main objective of this thesis is to develop a technique for optimizing the parameters of a measuring system for high impulse voltages using a resistive divider. The parameters considered in this sense are: the shielding electrode geometry, the damping resistances, and the resistance of the low voltage arm.

A new technique for optimizing a measuring system for high impulse voltage is developed in using an equivalent circuit model of a resistive voltage divider. This technique has been applied to obtain the optimum parameters-values of a measuring system for 1MV impulses. The optimum response and the step-response of the measuring system have been calculated.

Using the optimum parameters-values a resistive voltage divider was constructed. The step-response of the measuring system and the response time were obtained. The measured response time less than 20ns.

1. INTRODUÇÃO

O constante aumento da potência nos sistemas de transmissão de energia elétrica é acompanhado do crescimento das dimensões das linhas de transmissão, das subestações e também das tensões nominais destes sistemas. Os sistemas de transmissão de um modo geral, tornam-se mais expostos aos esforços elétricos de origem atmosférica ou operações de manobra os quais podem causar danos ao sistema de isolamento dos equipamentos. Portanto, é necessário comprovar a qualidade do isolamento dos equipamentos com a aplicação em laboratório de tensões de impulso. As tensões de impulso, são de grande importância entre os ensaios de isolamento, e seus resultados são amplamente adotados no projeto de L.T. de A.T., como também, na coordenação de isolamento de subestações de potência como um dado básico. Neste contexto, as medições de tensões impulsivas são de grande importância e os equipamentos desenvolvidos para essa finalidade, especialmente, os divisores de tensão, devem ser cuidadosamente projetados para tais medições.

Dentre os divisores de potencial utilizados em ensaios de tensão de impulso, o divisor de potencial resisti-

vo, é o mais simples e barato, sendo objeto de estudo de diversos laboratórios de pesquisas. O divisor de potencial resistivo pode ser usado para tensões até 2MV, ou seja, para tensões maiores que 2MV outros divisores são empregados, tais como, divisor de potencial capacitivo e divisor de potencial misto.

As capacitâncias parasitas e indutâncias residuais inerentes nos divisores resistivos influenciam as características de resposta do sistema de medição, afetando a medição da tensão aplicada no objeto sob ensaio. Estas capacitâncias além de provocarem uma distribuição de tensão não linear ao longo da coluna do divisor, apresentam uma má combinação com o cabo de alta-tensão, conseqüentemente, provocando erros de medição significantes.

Uma técnica iterativa para a otimização do sistema de medição é desenvolvida, baseada no modelo do circuito equivalente de um divisor resistivo. Em cada iteração, os parâmetros do modelo são calculados e a resposta degrau determinada. Então, o gradiente em relação aos parâmetros do circuito equivalente é calculado através da análise de circuito de estrutura fixa, pela otimização dos valores dos parâmetros. Esses são alterados conforme uma técnica de minimização por gradientes conjugados devido a Fletcher-Reeves. O procedimento iterativo para a otimização do sistema de medição é apresentado no Capítulo IV.

O Capítulo II descreve alguns aspectos básicos sobre medições de altas-tensões de impulso, os equipamentos utilizados nestas medições e suas características em relação a outras tensões (medição de tensão contínua e tensão

alternada). As características de transferência, bem como os efeitos e influência do sistema de medição nos parâmetros de um divisor de tensão, também estão apresentados neste Capítulo. As ferramentas matemáticas utilizadas no processo de otimização do sistema de medição, são descritas no Capítulo III.

O Capítulo V apresenta a verificação do sistema ótimo de medição através da análise dos resultados medidos da resposta degrau e do tempo de resposta do modelo do divisor resistivo desenvolvido no Capítulo IV.

As conclusões deste trabalho, finalmente são apresentadas no Capítulo VI.

2. MEDIÇÃO DE ALTAS TENSÕES DE IMPULSO

INTRODUÇÃO:

A operação satisfatória dos equipamentos de transmissão de energia elétrica é assegurada pela capacidade dos mesmos de suportar não somente os esforços de operação normal, como também os esforços provocados pelas sobretensões de origem atmosférica ou de manobra. Nesse sentido, é necessário que tais equipamentos sejam submetidos a ensaios de impulso a fim de comprovar o bom desempenho do projeto e a qualidade do material isolante utilizados nesses equipamentos. A execução desses ensaios é feita em laboratório de alta-tensão por equipamentos especialmente projetados para essa finalidade, os geradores de tensão de impulso.

A confiabilidade dos resultados dos ensaios de impulso depende especialmente da técnica de medição utilizada. Os divisores resistivos são um dos mais adequados equipamentos para a medição de tensões de impulso ou de manobra, podendo serem empregados para tensões até 2MV.

Neste capítulo, serão analisados alguns aspectos b̄

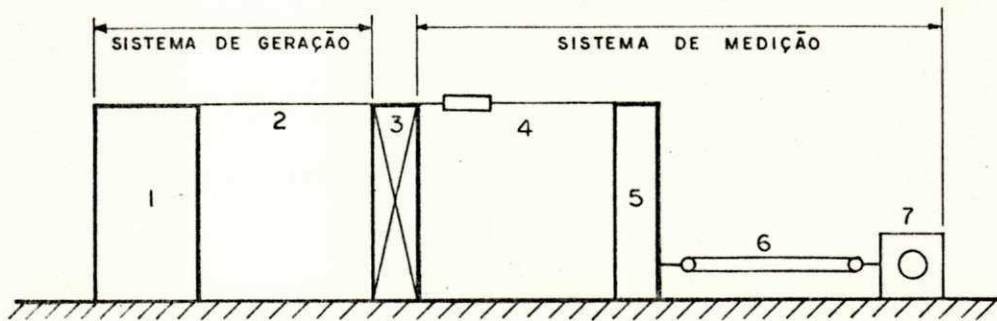
sicos sobre os divisores de tensão, especialmente os divisores resistivos, e os circuitos de medição para ensaio de impulso de alta-tensão. Serão analisados ainda, as características de transferência, o efeito e a influência do sistema de medição nos parâmetros de um divisor de potencial.

2.1 Sistema de Mediçãõ de Tensãõ de Impulso

O sistema de mediçãõ para altas-tensões de impulso consiste de um divisor de potencial, cabo coaxial, osciloscõpio ou instrumento de indicaçãõ e circuitos de retorno para terra. A fig. 2.1 mostra uma unidade completa de tensãõ de impulso, onde alẽm dos componentes do sistema de mediçãõ (localizados à direita do objeto de ensaio), temos um gerador degrau, cabo de alta-tensãõ, objeto de ensaio, e um resistor de amortecimento que pode ser incluĩdo na entrada do cabo de alta-tensãõ. A seguir, serãõ descritas algumas características importantes destes componentes.

Os divisores de potencial de qualquer sistema de mediçãõ que sejam utilizados para medições precisas de tensãõ de impulso, devem ter alta impedãncia e serem projetados a fim de reproduzir com a mãxima fidelidade possĩvel, todos os tipos de tensãõ de impulso. Outras características importantes destes serãõ descritas posteriormente.

O cabo coaxial, serve para transmitir o sinal de mediçãõ à entrada do osciloscõpio. Este usualmente forma uma parte do ramo de baixa tensãõ do divisor. Em geral, a impe-



- 1 - Gerador de tensão.
- 2 e 4 - Cabo de alta tensão.
- 3 - Objeto de ensaio.
- 5 - Divisor de potencial.
- 6 - Cabo coaxial de medição.
- 7 - Instrumento de medição.

Fig.2.1 - Circuito de ensaio de tensão de impulso.

dância característica do cabo é diferente da impedância encontrada no terminal de saída do cabo. É essencial que estas sejam combinadas a fim de prevenir múltiplas reflexões que podem resultar em erros na medição.

A medição das tensões impulsivas pode ser feita através de vários métodos, incluindo aqueles por espinterômetro, voltímetro de crista ou um osciloscópio acoplado a um divisor de potencial. O osciloscópio é o mais usado, pois permite a medição simultânea do valor de crista e da forma de onda de saída [6]. Este deve ter uma alta impedância de entrada, fazendo com que o sinal transmitido pelo cabo coaxial seja medido em sua integridade.

A tensão degrau é gerada por meio de um gerador degrau. Esse deve ter uma impedância zero enquanto está sendo gerado o degrau de tensão. Um gerador que possui esta característica utiliza um relé de mercúrio. Este gerador produz um degrau negativo de tensão (que é a melhor maneira de conseguir um gerador com impedância nula).

O cabo de alta-tensão serve para ligar o gerador degrau ao terminal de alta-tensão do divisor. O comprimento deste e sua posição em relação à montagem do divisor deve ser estabelecido, pois influencia as características de resposta do sistema. Um fator importante na escolha da configuração do cabo de alta-tensão é a impedância de surto desse, que normalmente é diferente da impedância do divisor e do objeto a ser ensaiado. Estas conexões causam oscilações na resposta, podendo serem minimizadas procurando-se fazer uma combinação de impedâncias entre o gerador, divisor, e o ob-

jeto de ensaio com a impedância do cabo. Esta combinação pode ser efetuada conectando-se resistores concentrados em série com os diferentes elementos do arranjo [2].

Alguns erros associados com os componentes do sistema de medição (fenômenos dependentes da frequência, tensão) distorcem a forma de onda de saída. Muitos destes podem ser evitados através do ajustamento de impedâncias ou outros fatores que serão descritos no decorrer do desenvolvimento deste trabalho.

2.2 Princípios Básicos de Divisores de Tensão

O divisor de potencial, seja qual for o tipo, é formado por um ramo de alta impedância, Z_1 , em série com um ramo de baixa impedância, Z_2 (veja fig. 2.2). A tensão a ser medida, $V_1(t)$, é aplicada através da combinação série e a tensão, $V_2(t)$, é medida no ramo de baixa impedância por meio de um osciloscópio ou instrumento de indicação. O valor da tensão aplicada ao objeto sob ensaio, depende essencialmente do projeto do ramo de alta impedância do divisor. A natureza da impedância, caracteriza o tipo do divisor. Três tipos básicos de divisores estão em uso atualmente: divisor resistivo, divisor capacitivo e divisor misto (resistivo-capacitivo).

Os divisores de potencial usados em laboratórios de alta-tensão, geralmente possuem grandes dimensões, com parâmetros distribuídos ao longo da coluna do divisor. Em face disso, nem sempre é possível se obter divisores puros. Indu-

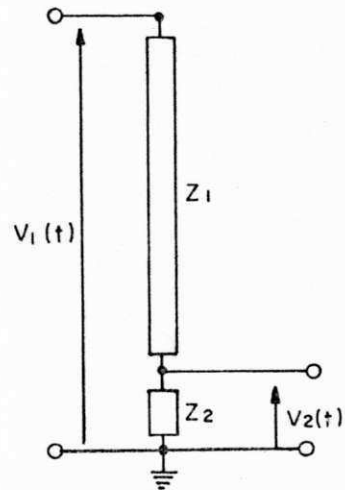


Fig. 2.2 - Diagrama básico de um circuito de divisor de potencial.

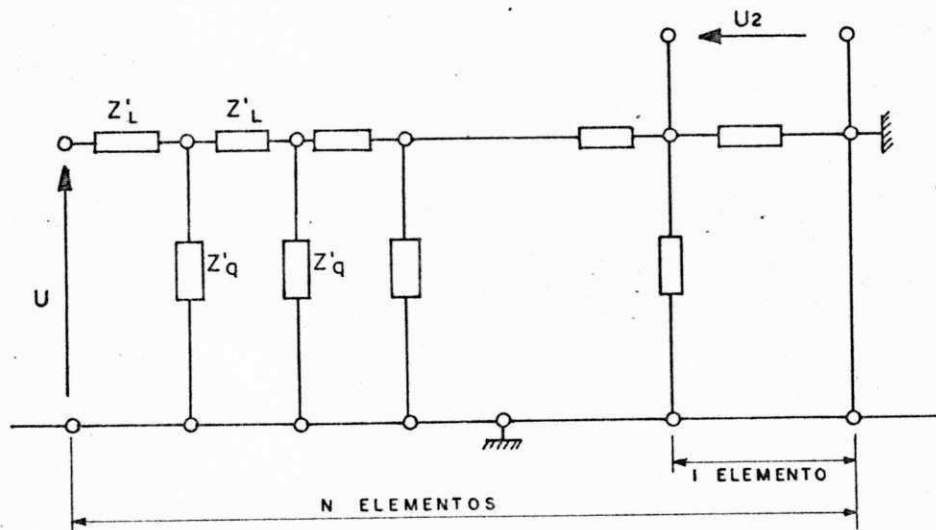


Fig. 2.3 - Circuito equivalente para divisores de potencial.

tâncias residuais e capacitâncias parasitas estão presentes, as quais influenciam as características de resposta destes divisores. Em todos os tipos de divisores, a indutância residual dos elementos que o constituem e as capacitâncias parasitas para terra, devem ser reduzidas ao menor valor possível, a fim de evitar oscilações indesejadas na resposta do sistema. A fig. 2.3 mostra o circuito equivalente de um divisor de potencial, com "N" impedâncias sêries iguais, Z_L , e igual número de impedâncias à terra Z_q .

Inicialmente serão analisados os diversos tipos de divisores para diferentes tipos de tensão. Ênfase será dada aos divisores resistivos para medição de tensão impulsiva, devido ser de interesse para o objetivo principal deste trabalho. Uma comparação é feita também entre os diferentes tipos de divisores e a resposta destes a uma tensão de grau unitário.

2.2.1 Divisores de Potencial Resistivo

Um divisor de potencial resistivo consiste basicamente de um terminal de alta-tensão, um ramo de alta-tensão R_1 , e um ramo de baixa-tensão R_2 , como mostra a fig. 2.4. O ramo de alta-tensão consiste do enrolamento de duas camadas superpostas de fio resistivo distribuído sobre uma coluna isolante, ligadas em paralelo e de sentidos opostos, cuja finalidade é reduzir ao mínimo a indutância residual do enrolamento. O ramo de baixa-tensão também consis-

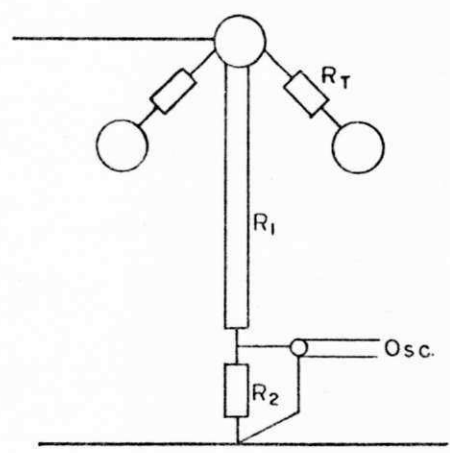


Fig. 2.4 - Divisor resistivo.

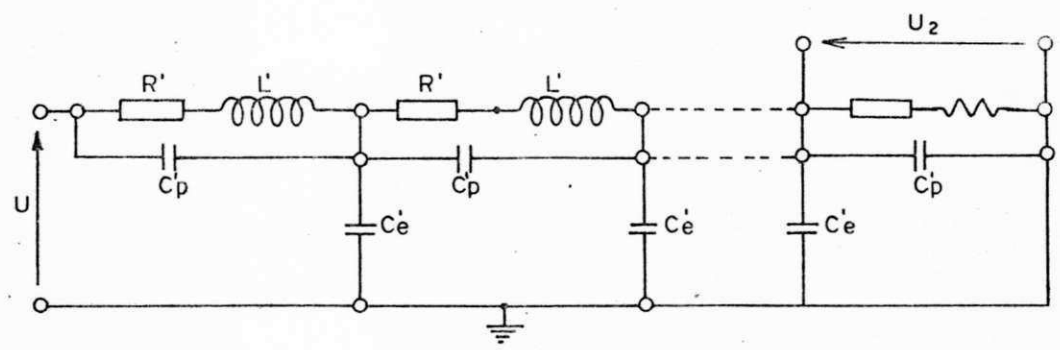


Fig. 2.5 - Circuito equivalente para divisor resistivo.

te de outro enrolamento superposto de fio resistivo, ligados em paralelo e de sentidos opostos com a mesma finalidade. O terminal de alta-tensão consiste de uma peça metálica de forma esférica, instalada na extremidade superior da coluna resistiva, e serve de ligação entre o divisor e o cabo de alta-tensão que vem do objeto de ensaio ou do gerador de tensão de impulso. No projeto construcional dos divisores de potencial resistivo, o ramo de A.T., ou seja a coluna resistiva é essencialmente a mais importante, devido contribuir diretamente no desempenho do divisor.

O fator de escala do divisor de potencial resistivo é dado pela relação entre a tensão de entrada $v_1(t)$ e o sinal de medição $v_2(t)$, isto é,

$$a = \frac{v_1(t)}{v_2(t)} = \frac{R_1 + R_2}{R_2}$$

Durante as medições, a resistência de baixa-tensão R_2 encontra-se em paralelo com a impedância do dispositivo de medição e com a do cabo coaxial, o qual liga o dispositivo de registro ao divisor, influenciando assim o fator de escala do divisor.

A seguir, são analisadas algumas características dos divisores resistivos quando utilizados nas medições de tensão contínua, tensão alternada e tensão de impulso.

Um dos circuitos equivalentes de um divisor de potencial resistivo é mostrado na fig. 2.5, onde C_e' representa a capacitância parasita para terra, C_p' a capacitância paralela associada à coluna resistiva.

2.2.1.1 Divisores Resistivos para Medição de Tensão de Impulso

Nos divisores resistivos quando na presença de rãpi dos transitórios, tais como tensões de impulso, as capacitâncias parasitas adquirem importância fundamental. Essas capacitâncias influenciam as características de resposta dos divisores, alterando o comportamento deste em relação ao que se pode prever para o estado permanente.

Em tais divisores, a existência de capacitâncias parasitas distribuídas para terra é responsável pelas maiores dificuldades encontradas no uso desses divisores. Estas capacitâncias causam uma distribuição de tensão não linear ao longo da coluna do divisor e uma relação de dependência com a frequência. Portanto, em altas frequências, isto é, com tensões impulsivas, o fator de escala do divisor é dependente da frequência [2].

As capacitâncias parasitas distribuídas para terra estão associadas à dimensão da resistência de alta tensão, sendo esta consideravelmente grande para tensões elevadas. As indutâncias residuais da coluna de alta-tensão, provenientes do enrolamento resistivo, associadas às capacitâncias parasitas, produzem oscilações no sistema.

O efeito das capacitâncias parasitas pode ser reduzido, construindo-se a coluna de alta-tensão do divisor com a menor resistência possível, sem contudo alterar sensivelmente a corrente de carga do sistema de geração, ou utilizando-se eletrodo de blindagem na extremidade de alta-tensão do

divisor. Este eletrodo além de forçar a uniformização do campo elétrico nas imediações da coluna resistiva do divisor, fornece um caminho capacitivo para carregar as capacitâncias parasitas em relação à terra. O eletrodo de blindagem também compõe o divisor, e pode ser conectado a este, diretamente ou através de um resistor de amortecimento, R_T (veja fig. 2.4). Outros eletrodos de blindagem também podem ser conectados em várias alturas ao longo da coluna resistiva.

O resistor de amortecimento R_T , não afeta o fator de escala do divisor, contudo, pode ter uma apreciável influência na resposta do circuito de medição, pois reduz as oscilações produzidas pela indutância do cabo de alta-tensão e as capacitâncias parasitas.

Os divisores resistivos quando usados para determinar o valor de pico das tensões de impulso, devem ter uma largura de faixa de frequência capaz de medir impulsos atmosféricos e de manobra. Como já vimos, a resistência total do divisor não pode ser pequena, para não sobrecarregar o sistema de geração. Assim, os divisores resistivos para medições de tensão de impulso, devem ser dimensionados adequadamente, dependendo do tipo de onda a ser medida. Com isto, obtêm-se altas larguras de faixa de frequência para a medição de impulsos de onda cortada na frente e que atendem às exigências de carregamento para geradores de surto atmosférico. A medição de impulso de onda cortada na frente é muito difícil de ser medida, por ser muito rápida e exigir do equipamento de medição uma faixa de frequência muito ampla.

2.2.1.2 Divisores Resistivos para Medições de Tensão Contínua

Os divisores resistivos geralmente são adequados para medições de tensão contínua. Supondo-se que o divisor é construído de elementos idênticos e que todos os componentes estão na mesma temperatura, mudanças relativas da resistência devido à tensão aplicada e coeficiente de temperatura, não afetam o fator de escala do divisor. Contudo, estes divisores devem ser habilmente projetados de modo que possam prevenir fenômenos dependentes da tensão, tais como, efeito corona e descargas parciais os quais resultam num comportamento não linear do divisor. Além disso, o efeito térmico pode causar um comportamento não linear nas resistências [2,3]. A minimização desses efeitos é conseguida através do uso de materiais de baixo coeficiente de temperatura e adequada disposição dos componentes de medição, de tal maneira, que assegure a inexistência de descargas corona até o limite da tensão de utilização do divisor.

Solicitações excessivas dos componentes do equipamento de medição durante súbitas tensões de ruptura no objeto sob ensaio, influenciam as características de resposta do divisor. Estes fenômenos normalmente são associados à indutância e capacitâncias parasitas, produzindo uma distribuição de tensão não linear através da coluna resistiva. Os eletrodos de blindagem (mencionados anteriormente) e resistores de grande capacidade térmica reduzem estes efeitos.

As características de frequência destes divisores pa

ra medições de tensão contínua dependem do valor absoluto de R_1 , o qual está relacionado à corrente de entrada do divisor ou a corrente de carga do gerador.

Muitas fontes de alta-tensão contínua têm uma potência de saída limitada, desta forma, a corrente disponível para finalidades de medição não deve exceder a 1mA; resistências de muitos megohms são então necessárias e as unidades que compõem esta resistência devem ser dispostas de tal maneira que assegure a inexistência de descargas corona ou excessiva elevação de temperatura, melhorando assim as características de resposta do divisor [4].

2.2.1.3 Divisores Resistivos para Medições de Tensão Alternada

Os divisores resistivos usados nas medições de altas tensões alternadas apresentam algumas dificuldades. As características de frequência destes divisores também sofrem influência de fenômenos dependentes da tensão e frequência, bem como do efeito térmico, ocasionando um comportamento não linear do divisor. Além disso, a medição de tensão alternada requer um mínimo ângulo de fase [2].

A largura de faixa de frequência necessária para medições com precisão seria muito pequena. Portanto, os divisores resistivos para medições de tensão alternada serão mais precisos para tensões em torno de 100 KV a 200 KV e frequências de 50 ou 60 Hz, e, conseqüentemente, menor em altas fre

quências ocasionando grandes erros nas medições.

Para tensões alternadas mais elevadas, os divisores capacitivos são os mais utilizados, os quais serão descritos a seguir.

2.2.2 Divisores de Potencial Capacitivo

Um divisor de potencial capacitivo puro é mostrado na fig. 2.6. Este consiste de um ramo de alta-tensão com capacitância C_1 , e um ramo de baixa-tensão com capacitância C_2 . O fator de escala do divisor é dado pela relação:

$$a = \frac{V_1(t)}{V_2(t)} = \frac{C_1 + C_2}{C_1}$$

A relação dos divisores capacitivos é independente da frequência, representando o divisor de tensão ideal para rápidos pulsos. Entretanto, isto somente é válido quando se considera o divisor puramente capacitivo. Estes geralmente são conectados à fonte através de cabos de A.T., que contêm indutâncias residuais associadas. Essas indutâncias, juntamente com a capacitância do divisor formam um circuito ressonante série, causando excessivas oscilações na resposta do divisor. O comportamento da resposta do divisor é determinado essencialmente pelas indutâncias do cabo de A.T. do divisor. As oscilações na resposta do divisor são amortecidas através de resistores em série com os cabos de A.T. e o divisor. Contudo, isto atenua não somente a frequência des

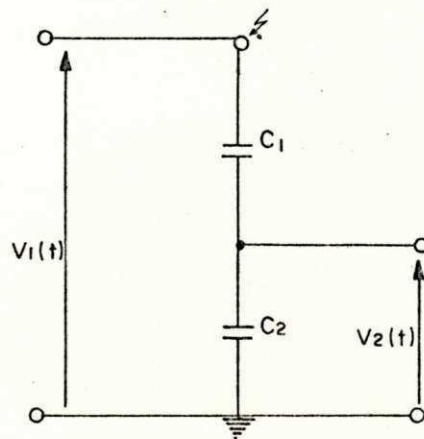


Fig. 2.6 - Divisor de tensão capacitivo puro.

sas oscilações mas também componentes de alta frequência necessárias para um curto tempo de resposta (impulsos rápidos de onda cortada) [2].

Indutâncias residuais e capacitâncias parasitas também estão presentes no divisor de potencial capacitivo. As capacitâncias parasitas afetam o fator de escala do divisor.

Embora a coluna de A.T. do divisor capacitivo seja considerada como uma capacitância pura, este se comporta como uma L.T. Por isso, oscilações de onda viajante resultante de reflexões sucessivas podem ocorrer no início e final da coluna de A.T. provocando erros na forma de onda da resposta. A frequência dessas oscilações depende do tempo de trânsito da onda viajante no interior do divisor. O amortecimento destas oscilações é conseguido através de resistores uniformemente distribuídos na coluna do divisor. Estes divisores são chamados divisores capacitivos amortecidos ou divisores, que serão descritos posteriormente.

Nos divisores capacitivos quando usados em medições de tensão alternada, devem ser considerados os efeitos das indutâncias residuais. As características de frequência são limitadas por essas indutâncias ou pelas perdas dielétricas dos componentes do divisor.

Nas medições de tensão de impulso, a capacitância de alta-tensão do divisor deve ser relativamente elevada para minimizar o efeito das capacitâncias parasitas, sem contudo contribuir para o aumento da corrente de carga do gerador. Quando os divisores capacitivos são usados na medição de impulso muito rápido, eles podem ter sobrelevações ini-

ciais(overshoot) ou oscilações em sua saída, devido às induções parasitas no ramo de baixa-tensão. Entretanto, quando este é construído de capacitores puros, a resposta é precisa tanto em transitórios rápido como em lento; o divisor é independente da frequência.

2.2.3 Divisores Mistos

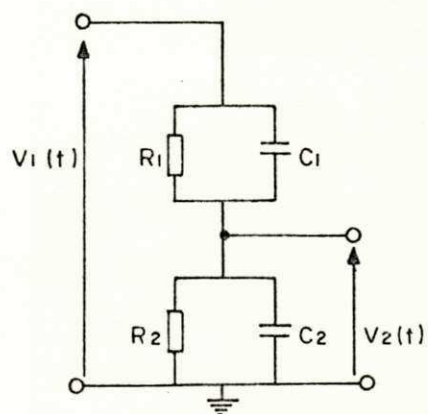
Os divisores mistos consistem de elementos resistivos e capacitivos. Esses apresentam dois tipos de configuração: arranjo série e arranjo paralelo(veja fig. 2.7). Em tais divisores, o efeito da capacitância parasita depende do tipo de arranjo considerado. A fig. 2.7a mostra o divisor misto(arranjo paralelo), onde o fator de escala é calculado considerando-se a constante de tempo de alta-tensão igual a constante de tempo de baixa-tensão, ou seja,

$$R_1 C_1 = R_2 C_2$$

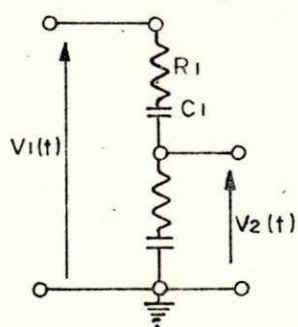
assim,

$$a = \frac{V_1(t)}{V_2(t)} = \frac{R_1 + R_2}{R_2}$$

O divisor misto com este tipo de arranjo(fig.2.7a), pode ser interpretado como um divisor resistivo, onde a influência das capacitâncias para terra é diminuída por um



a) - arranjo paralelo.



b) - arranjo s rie.

Fig. 2.7 - Divisor de potencial misto.

circuito paralelo de capacitâncias definidas, as quais constituem um circuito transitório junto à indutância da linha. Em altas frequências, a constante de tempo tanto do ramo de alta-tensão quanto do ramo de baixa-tensão decresce.

O tipo de arranjo série (fig. 2.7b), onde os resistores e capacitores são distribuídos uniformemente, se comporta como um divisor puramente capacitivo em baixas frequências, e como um divisor puramente resistivo em altas frequências. Este divisor geralmente possui um pequeno tempo de resposta, e é muito utilizado na medição de impulsos com pequenos tempos de frente. O fator de escala deste divisor também pode ser calculado da mesma forma que no arranjo paralelo (fig. 2.7a). Sua vantagem é que podem ser usados em todos os tipos de tensões transitórias, dando excelentes larguras de faixa de frequência.

Analisando-se os diferentes tipos de divisores de tensão podemos chegar às seguintes conclusões: além dos problemas que apresentam nas características de resposta, em laboratório, os divisores capacitivos apresentam algumas dificuldades em seu uso, uma delas é a considerável sensibilidade a variações na capacitância de alta-tensão em função do local e do meio ambiente, sendo necessárias frequentes calibrações. Uma outra, é a dificuldade de construção desses em relação aos divisores resistivos; os divisores mistos apresentam maior versatilidade com relação à faixa de frequência de utilização, contudo, não constituem vantagem quando se deseja medir tensões de impulso, apresentando também maior dificuldade de construção que a dos divisores capacitivos

[2,4,8,9,10]; os divisores resistivos são amplamente utilizados, principalmente porque eles não ocupam muito espaço, são de fácil manuseio podendo ser colocado perto do objeto de ensaio. Estes são considerados até então como os dispositivos mais adequados para a medição de rápidas tensões com curto tempo de duração. Utiliza materiais e componentes de fácil aquisição e conseqüentemente de custos mais baixos, sem contudo serem inferiores aos demais em desempenho e qualidade da resposta.

Portanto, os divisores resistivos, em face à facilidade de manuseio, economicamente mais barato, e essencialmente serem mais adequados para a medição de rápidas tensões com curto tempo de duração foi o componente do sistema de medição utilizado neste trabalho.

2.3 Características de Transferência dos Sistemas de Medição de Tensão de Impulso

As características de transferência dos sistemas de medição de tensão de impulso podem ser determinadas pela resposta de frequência ou pela resposta ao degrau unitário.

A resposta de frequência de um sistema é descrita como sendo a resposta em regime permanente a uma excitação senoidal, para todos os valores de frequência. Nos métodos de resposta em frequência, varia-se a frequência do sinal de entrada em um certo intervalo e analisa-se a resposta em frequência resultante. As características de resposta em fre

quência podem ser obtidas da função de transferência senoidal, isto é, a função de transferência na qual "S" é substituída por "jw", onde "w" é a frequência angular. Esta função de transferência é caracterizada pelo seu módulo e ângulo de fase, tendo a frequência como parâmetro.

Com uma excitação não senoidal na tensão de entrada a tensão de saída pode ser determinada por análise de Fourier. Após o cálculo da resposta de frequência, pode-se obter a resposta no domínio do tempo calculando-se a transformada inversa de Fourier correspondente. Na prática, contudo, a resposta de frequência também pode ser determinada por diagrama de Bode, gráfico polar [2].

Os testes de resposta em frequência são realizados pelo uso de geradores de sinal senoidal e equipamentos de medida precisos. Contudo, para finalidades práticas, os métodos da resposta ao degrau são atualmente preferidos, porque são mais simples e mais rápidos, além disso, é difícil se projetar um gerador de onda senoidal com frequência variável (0- ∞), enquanto que no gerador de função degrau, já existe todas as faixas de frequência.

Na análise do desempenho de um sistema de medição, é importante se dispor de uma certa forma de resposta generalizada do sistema de medição, a fim de avaliar de uma maneira global, a precisão da medição de um impulso. Para tanto, a função degrau unitário tem substituído as medições da resposta de frequência. A resposta ao degrau unitário é recomendada pelas normas, e é usada para obtenção de certos parâmetros da resposta real, os quais são úteis para deter-

minar a precisão de uma medição [6]. Conhecendo-se a resposta ao degrau unitário e a forma do impulso aplicado a um sistema de medição é possível obter-se a forma do impulso registrado e chegar a uma conclusão sobre a magnitude dos erros de medição.

A resposta ao degrau unitário de um sistema de medição de impulso, é a forma de onda de uma tensão de saída quando uma tensão degrau unitário é aplicada na entrada do sistema. Assim, tendo-se uma tensão degrau unitário de amplitude V_0 aplicada a uma entrada do sistema, obtém-se:

$$v_1(t) = V_0 \mu(t)$$

onde

$$\mu(t) \begin{cases} 0 & , t < 0 \\ 1 & , t > 0 \end{cases}$$

é a função degrau unitário. A tensão de saída obtida é:

$$v_2(t) = V_0 \cdot w(t)$$

onde $w(t)$ é a resposta degrau para a função degrau unitário $\mu(t)$. Esta independe da amplitude da tensão de entrada. A resposta degrau também pode ser obtida utilizando-se a transformada de Laplace.

Na prática, a resposta de um determinado impulso é conhecida, sendo portanto necessário se obter a relação en-

tre a resposta e o impulso aplicado.

Uma importante característica para definição do comportamento da resposta de um divisor é o tempo de resposta T , e o tempo parcial de resposta T_1 . Com estes parâmetros de tempo, é possível se avaliar os erros durante as medições de tensões impulsivas.

O tempo de resposta T de um divisor é a diferença algébrica entre a integral de função degrau unitário e a integral da resposta do divisor ao degrau unitário, ou seja, a área entre o degrau unitário e a resposta degrau normalizada [6]. De acordo com a fig. 2.8, temos:

$$T = \int_0^{\infty} |1-g(t)| dt = T_1 - T_2 + T_3 \dots \quad (2.3)$$

O tempo de resposta é influenciado pela configuração do cabo de alta-tensão durante as medições em relação à montagem do divisor (veja fig. 2.9). Este é utilizado para se calcular as amplitudes dos erros associados com medições de tensão de impulso cortado. Conhecendo-se o tempo de resposta, bem como a configuração do circuito usado na medição incluindo os cabos de alta-tensão, resistores de amortecimento e efeito causados por estes, tem-se possibilidade de se avaliar e corrigir o valor de pico da tensão medida, como também a magnitude dos erros de medição.

O efeito das capacitâncias parasitas e indutâncias do cabo de alta-tensão, geralmente causam superposição de incômodas oscilações. A resposta do sistema de medição a estas oscilações em um impulso depende da frequência e da for

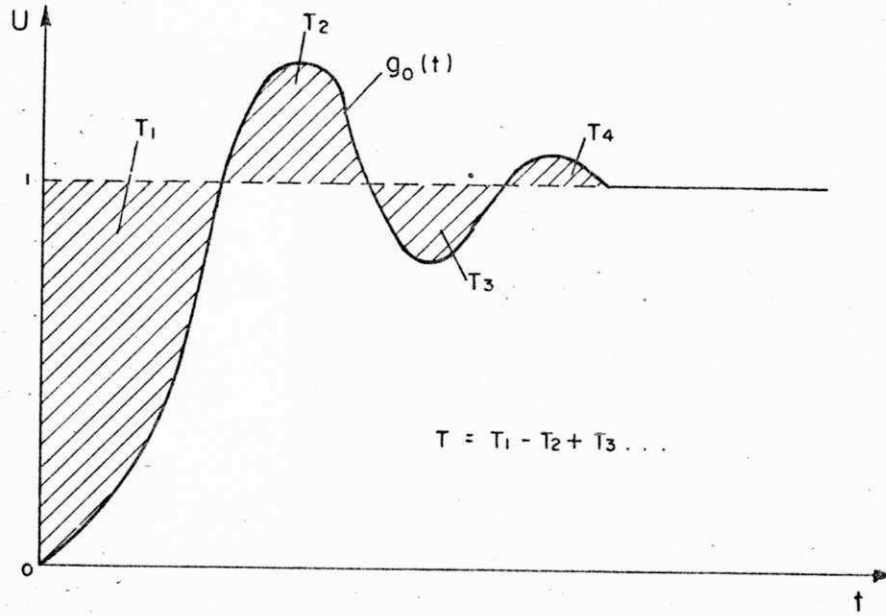


Fig. 2.8 - Definição do tempo de resposta T .

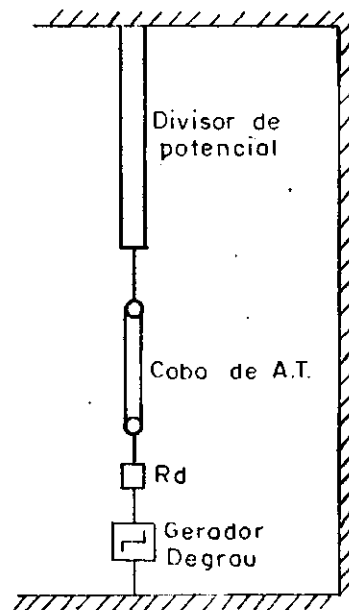
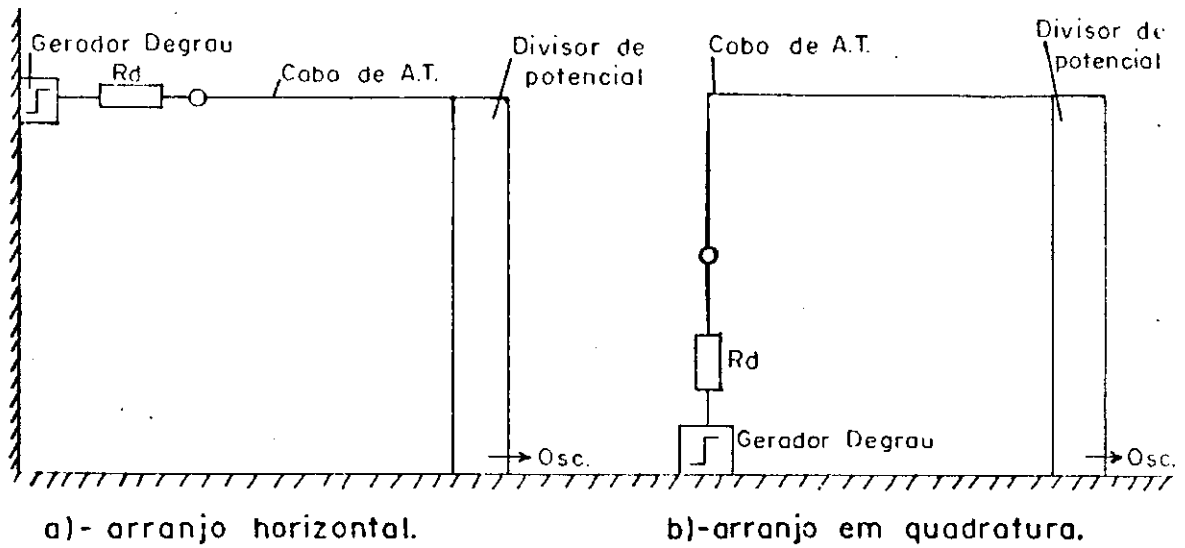


Fig. 2.9 - Configuração experimental do sistema de medição para medição da resposta degrau unitário

ma da resposta degrau do sistema. É considerado que, em geral, essas oscilações não podem ser registradas com grande exatidão. O tempo parcial da resposta " T_1 ", relaciona-se com a efetiva subida da resposta degrau e indica a habilidade do sistema de medição para produzir estas oscilações. Este é dado pela área entre o degrau unitário e a resposta degrau normalizada até o instante quando a primeira resposta atinge a amplitude unitária, fig. 2.8. [6].

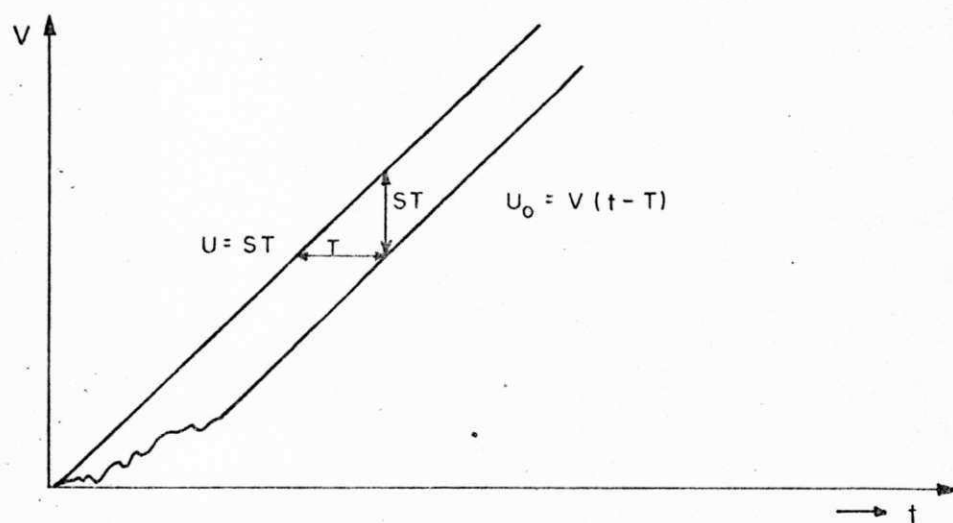
2.3.1 Efeito do Tempo de Resposta para um Sistema de Medição Definido

O tempo de resposta T , afeta a medição dos parâmetros de tempo e da amplitude de impulso cortados na frente. Analisando-se por exemplo, o efeito do tempo de resposta na magnitude e atraso da tensão medida, suponha que a tensão de entrada de um circuito de medição cresça linearmente com a mesma taxa de crescimento, fig. 2.10a. Decorrido certo tempo necessário para a resposta se estabilizar, a diferença entre as amplitudes das formas de onda de entrada e saída, será sempre constante e igual ao tempo de resposta do sistema [7]. Esta diferença é dada por:

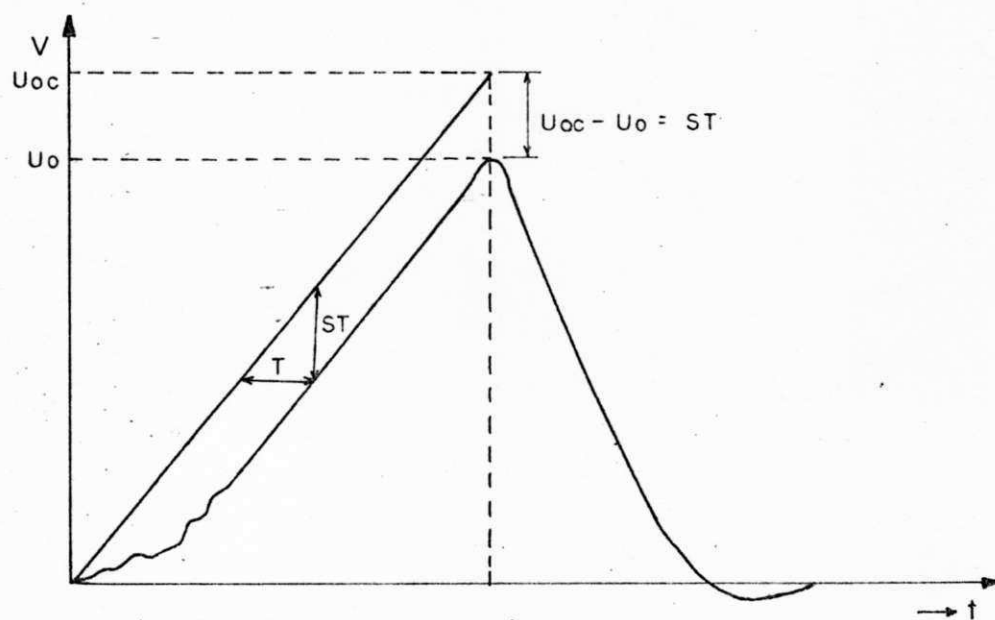
$$U = ST$$

onde,

S é a taxa de crescimento da tensão



a) - Impulso linearmente crescente.



U_0 - Tensão de corte medida.
 U_{0c} - Tensão de corte aplicada.

b) - Impulso de onda cortada.

Fig. 2.10 - Influência do tempo de resposta na magnitude e atraso da tensão medida.

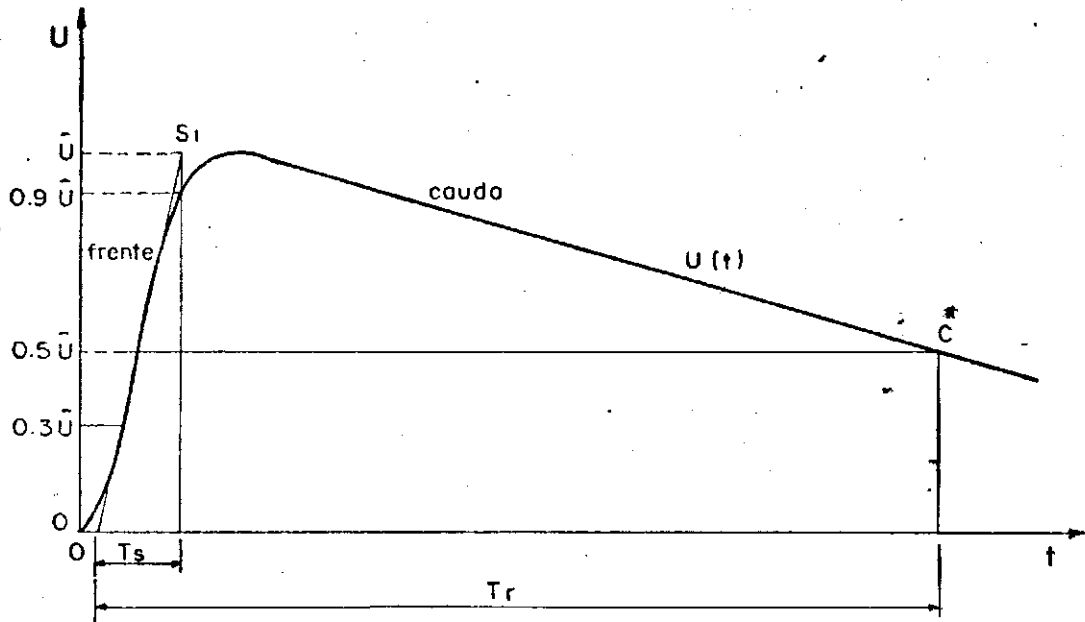
Desta forma, quanto maior S , maior será a diferença entre os valores da tensão aplicada e medida. O tempo de resposta T é o deslocamento da tensão medida, em relação à tensão aplicada [7].

Em se tratando de impulsos cortados na frente, ou seja, um impulso de crescimento linear cortado na frente, fig. 2.10b, a diferença entre o tempo de corte real e o tempo de corte medido, é igual ao tempo de resposta do sistema. De modo geral, conhecendo-se o tempo de resposta do sistema, o valor de pico de impulsos medidos pode ser corrigido.

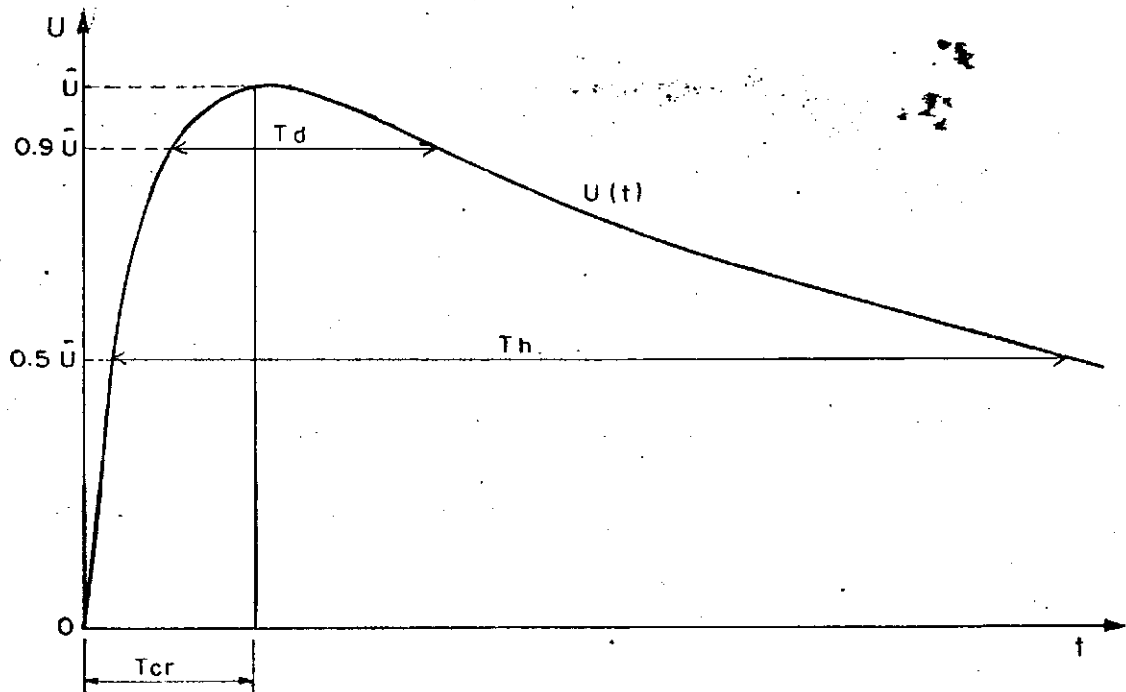
De certa forma, conhecendo-se a resposta degrau de um sistema de medição de impulso, pode-se determinar o tempo de resposta e obter uma estimativa da tensão aplicada no objeto sob ensaio.

2.3.2 Grandezas a Medir e Precisão Exigida

Em geral, as dificuldades de ordem práticas impedem de se obter o mesmo grau de precisão de medição para todos os tipos de tensão de impulso. Consequentemente, as limitações relativas à precisão de um circuito de medição são especificadas em função do tipo de impulso a medir. No caso de tensões de impulso para ensaios em alta-tensão, a forma de onda da tensão é determinada por certos parâmetros de tempo para a frente, pico e cauda da onda, sendo possível obter-se uma padronização em termos de impulsos atmosféricos e impulsos de manobras, como mostra a fig. 2.11 [6].



a) - Tensão de impulso atmosférico.



b) - Tensão de impulso de manobra.

Fig. 2.11 - Parâmetros característicos das ondas de tensão de impulso padrão.

As limitações gerais para medições das tensões de impulso são:

- o erro na medição do valor de pico dos impulsos plenos e dos impulsos cortados, nas proximidades do pico ou sobre a cauda, não deve exceder de 3%;
- o erro na medição do valor de pico dos impulsos cortados na frente depende do tempo até o corte T_c da seguinte maneira:

$$S_e T_c > 2\mu s \quad ; \quad \Delta \leq 3\%$$

$$S_e 0.5\mu s \leq T_c \leq 2\mu s \quad ; \quad \Delta \leq 5\%$$

- na medição dos parâmetros de tempo que definem a forma de impulso, o erro não deve exceder a 10%, exceto aqueles que definem a duração da queda de tensão durante o corte. Para esses últimos parâmetros de tempo, nenhuma especificação de precisão é dada devido à extrema dificuldade para a medição precisa deste fenômeno;
- na medição das oscilações em impulsos com precisão suficiente para assegurar que elas não superem os níveis pre-estabelecidos por normas.

Em relação às limitações relativas à resposta, as condições de tempo de resposta do circuito de medição dependem da forma dos impulsos a serem registrados, ou seja,

- impulso atmosférico 1,2/50 μs pleno e cortado no pico ou na cauda:

$$T \leq 0,2\mu s \quad ;$$

- impulso atmosférico com elevação linear cortado na frente e tempo de elevação T_e

$$T \leq 0,05T_e$$

$$T \leq 0,2\mu s$$

- todos os impulsos de manobra

$$T \leq 0,03T_c$$

O tempo de resposta T , geralmente conduz a um erro sistemático, seja na medição dos parâmetros de tempo de um impulso, ou na medição de amplitudes de impulsos cortados na frente. Contudo, há também um erro aleatório na determinação do valor de T , dando uma componente adicional de erro nas medições dos parâmetros acima.

2.4 Influência dos Parâmetros de um Divisor Resistivo no Desempenho do Sistema de Medição

Na secção precedente observamos que os parâmetros da resposta ao degrau unitário, são utilizados para avaliação da precisão de uma medição, e que vários são os fatores, que contribuem para os erros na medição do valor de pico e da forma de onda de altas-tensões que variam rapidamente. Por várias razões, a reprodução sobre a tela do osciloscópio é uma réplica distorcida da variação de tensão através do objeto sob ensaio. Portanto, é necessário que todos os componentes do sistema de medição sejam analisados, a fim

de se obter um comportamento ideal na resposta do sistema. Os componentes do sistema de medição, principalmente o divisor de tensão, devem ser projetados de maneira que possam reproduzir com a máxima fidelidade possível a todos os tipos de tensões de impulso.

O objetivo principal deste trabalho, diz respeito ao projeto de um divisor de tensão (no caso o divisor resistivo), cujo tempo de resposta seja o menor possível. Para tanto, baseado no modelo de circuito equivalente de capacitâncias parasitas, tenta-se a otimização variando alguns parâmetros do divisor e a geometria dos eletrodos de blindagem. Isto se deve ao fato de que o eletrodo de blindagem tem um considerável efeito na distribuição das capacitâncias parasitas, e conseqüentemente no desempenho do sistema de medição, como também a resistência de baixa-tensão do divisor. Deste modo, a dimensão, formato e distribuição do eletrodo de blindagem é de grande importância, bem como o valor da resistência de baixa-tensão. As características construtivas permitem que se obtenha uma distribuição de tensão linear, e essencialmente um tempo de resposta zero, ou seja, a diferença entre as amplitudes das formas de onda da tensão de entrada e saída, seja praticamente zero. Assim, a partir de determinados parâmetros do divisor, tenta-se desenvolver uma técnica de otimização dos mesmos para se obter um tempo de resposta do divisor o mais próximo de zero.

3. FERRAMENTAS MATEMÁTICAS PARA O CÁLCULO ÓTIMO DOS PARÂMETROS DE UM DIVISOR DE POTENCIAL

INTRODUÇÃO:

No processo de otimização dos parâmetros de um divisor de tensão, o cálculo da distribuição de potencial da resposta degrau a partir de transitórios eletromagnéticos são as ferramentas matemáticas básicas empregadas. Neste capítulo, será analisado o cálculo da distribuição de potencial e o cálculo de transitórios eletromagnéticos. Também serão apresentados os fundamentos teóricos de otimização.

3.1 Cálculo do Campo Eletrostático

O cálculo da distribuição de potencial e campo elétrico em um sistema físico, requer a solução da equação de Laplace,

$$\nabla^2 V = 0 \quad ,$$

sujeita às condições de contorno do sistema. As condições de contorno são as especificações de V no contorno da região de interesse. Para sistemas de configurações simples, emprega-se métodos analíticos. Entretanto, os sistemas geralmente apresentam configurações complexas, e métodos numéricos são mais adequados. Três são os métodos numéricos empregados na solução da equação de Laplace; método de simulação de cargas, métodos dos elementos finitos e método das diferenças finitas. Neste trabalho empregou-se o método de simulação de cargas [11].

3.1.2 Método de Simulação de Cargas

O método de simulação de cargas consiste em se colocar um certo número de cargas fictícias discretas fora da região onde se deseja calcular o campo (geralmente, dentro do volume do condutor), como soluções particulares da equação de Laplace).

A magnitude das cargas fictícias deve ser calculada, de tal forma que, integrado seu efeito, satisfaça às condições de contorno em pontos selecionados da superfície condutora. Desta forma, a solução da equação de Laplace será única para a distribuição de potencial do arranjo escolhido.

Para o cálculo do potencial eletrostático, as cargas distribuídas na superfície do condutor, são substituídas por "n" cargas fictícias discretas localizadas convenientemente dentro do condutor, de acordo com a forma geométrica do mesmo. São usadas como cargas fictícias para simular possíveis

configurações de sistemas, cargas pontuais, linhas de carga ou anéis de carga. As cargas pontuais são empregadas em superfícies esféricas, as linhas de carga (finitas ou infinitas) são utilizadas em configurações cilíndricas e os anéis de carga geralmente simulam perfis axialmente simétricos. Em geral, a distribuição de cargas na superfície de toróides, esferas, cilindros ou qualquer eletrodo que tenha simetria axial é feita empregando-se anéis de carga. Esses representam melhor a geometria estudada.

Uma esfera com potencial V volts acima do plano de referência $V = \emptyset$ volts, pode ser simulada por anéis de carga colocados dentro da esfera, como mostra a fig. 3.1.

A escolha do número de cargas fictícias, depende da precisão que se deseja obter e também da disponibilidade de memória do computador. Quanto maior o número de cargas fictícias, maior será a precisão dos resultados, bem como o tempo de processamento e os requisitos de memória.

A magnitude das cargas fictícias é determinada escolhendo-se " n " pontos na superfície do condutor (pontos de contorno) de modo que o valor do potencial em cada um desses pontos resultante da superposição dos potenciais das cargas discretas (fictícias), seja igual ao potencial da superfície do condutor, isto é:

$$\sum_{i=1}^N A_{ji} Q_i = B_j$$

$$j = 1, \dots, n$$

(3.1)

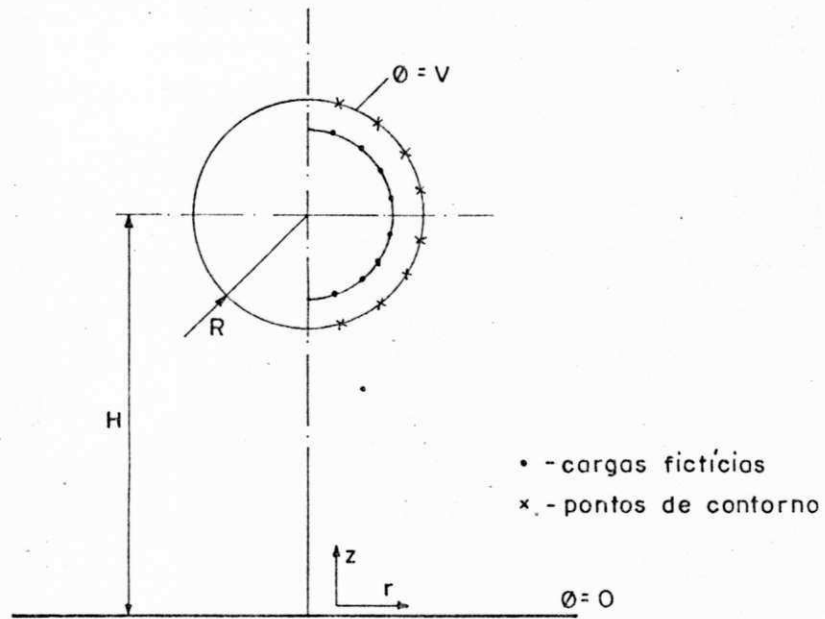


Fig. 3.1 - Método de simulação de cargas.

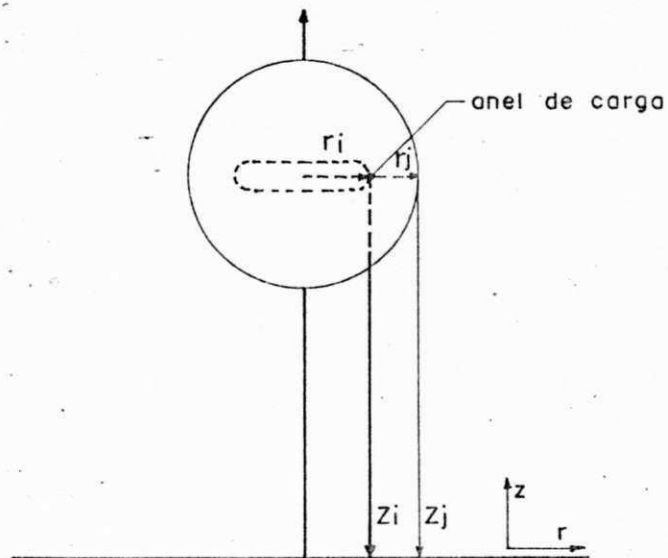


Fig. 3.2 - Representação de um anel de carga pelas coordenadas.

onde:

A_{ji} são os coeficientes do potencial associado às cargas;

Q_i são as cargas fictícias;

B_j é o potencial do contorno.

Este processo dá origem a um sistema de equações para as "n" cargas:

$$[A] \cdot [Q] = [B] \quad (3.2)$$

Os coeficientes de potencial associados às cargas, fig. 3.2, também podem ser escritos como:

$$A_{ji} = A(r_j, z_j, r_i, z_i)$$

onde,

"i" são os termos correspondentes às posições das cargas fictícias;

"j" são os termos correspondentes à posição dos pontos de contorno;

r representa o raio;

z comprimento sobre o eixo de simetria em relação ao plano de referência.

Como os divisores, em geral, apresentam perfis axialmente simétricos, emprega-se anéis de carga. Os coeficientes de potencial são calculados pela expressão:

$$A_{ji} = \frac{1}{4\pi\epsilon} \cdot \frac{2}{\pi} \left[\frac{K(K_1)}{\alpha_1} - \frac{K(K_2)}{\alpha_2} \right] \quad (3.3)$$

onde ϵ é a permissividade do meio e

$$\alpha_1 = \sqrt{(r_i + r_j)^2 + (z_i - z_j)^2}$$

$$\alpha_2 = \sqrt{(r_i + r_j)^2 + (z_i + z_j)^2}$$

$$K_1 = \frac{2 \cdot \sqrt{r_j \cdot r_i}}{\alpha_1}$$

$$K_2 = \frac{2 \cdot \sqrt{r_j \cdot r_i}}{\alpha_2}$$

Sendo $k(k)$ uma integral elíptica de primeira espécie.

Conhecendo-se os valores de A_{ji} e do potencial do contorno B_j , pode-se determinar os valores das cargas fictícias $[Q]$, através da equação 2.1, isto é,

$$[Q] = [A]^{-1} \cdot [B] \quad (3.4)$$

Com os valores das cargas $[Q]$ conhecidos, faz-se necessário o cálculo dos potenciais em um certo número de pon-

tos sobre o contorno, diferentes daqueles tomados para o cálculo de $[Q]$. A diferença entre estes potenciais e o potencial dado para o contorno, é uma das maneiras de se verificar se o conjunto de cargas $[Q]$ calculado satisfaz às condições de contorno. Esta diferença também, indica a precisão do método de simulação. Caso a precisão dos resultados seja satisfatória, calcula-se o campo elétrico em qualquer ponto da região de interesse por superposição.

As componentes E_r e E_z do campo elétrico são calculadas pelas expressões:

$$E_{ri} = \sum_{j=1}^n \frac{Q_j}{4\pi\epsilon} \cdot \frac{1}{\pi r_i} \left[\frac{(r_j^2 - r_i^2 + (z_i - z_j)^2) \cdot E(k_1) - \beta_1^2 k(k_1)}{\alpha_1 \cdot \beta_1^2} - \frac{(r_j^2 - r_i^2 + (z_i + z_j)^2) \cdot E(k_2) \cdot \beta_2^2 \cdot k(k_2)}{\alpha_2 \cdot \beta_2^2} \right] \quad (3.5)$$

$$E_{zi} = \sum_{j=1}^n \frac{Q_j}{4\pi\epsilon} \cdot \frac{2}{\pi} \left[\frac{(z_i - z_j) \cdot E(k_1)}{\alpha_1 \cdot \beta_1^2} + \frac{(z_i + z_j) \cdot E(k_2)}{\alpha_2 \cdot \beta_2^2} \right] \quad (3.6)$$

onde os valores de α_1 , α_2 , k_1 , e k_2 são os mesmos calculados nos coeficientes de potenciais e,

$$\beta_1 = \sqrt{(r_i - r_j)^2 + (z_i - z_j)^2}$$

$$\beta_2 = \sqrt{(r_i - r_j)^2 + (z_i + z_j)^2}$$

Sendo $E(k)$ uma integral elíptica de segunda espécie.

3.1.3 Cálculo do Campo Elétrico do Divisor de Potencial

Considere um divisor de potencial tipicamente resistivo mostrado na fig. 3.3. Para o cálculo do circuito equivalente do divisor necessário ao procedimento de otimização, é necessário se obter a distribuição de potencial eletrostático ao longo da coluna resistiva do divisor. Essa distribuição é calculada utilizando-se o método de simulação de cargas.

O cálculo da distribuição de potencial eletrostático ao longo da coluna resistiva é feito, primeiro considerando-se o eletrodo de blindagem diretamente ligado ao terminal de alta-tensão do divisor, e em seguida, o eletrodo de blindagem eletricamente isolado do terminal de alta-tensão. Para ambos os casos, o potencial do terminal de alta-tensão é mantido em 1 volt. Observa-se também que, devido à simetria existente em torno do eixo onde a coluna do divisor está concentrada, é suficiente considerar o sistema como apresentado na fig. 3.4.

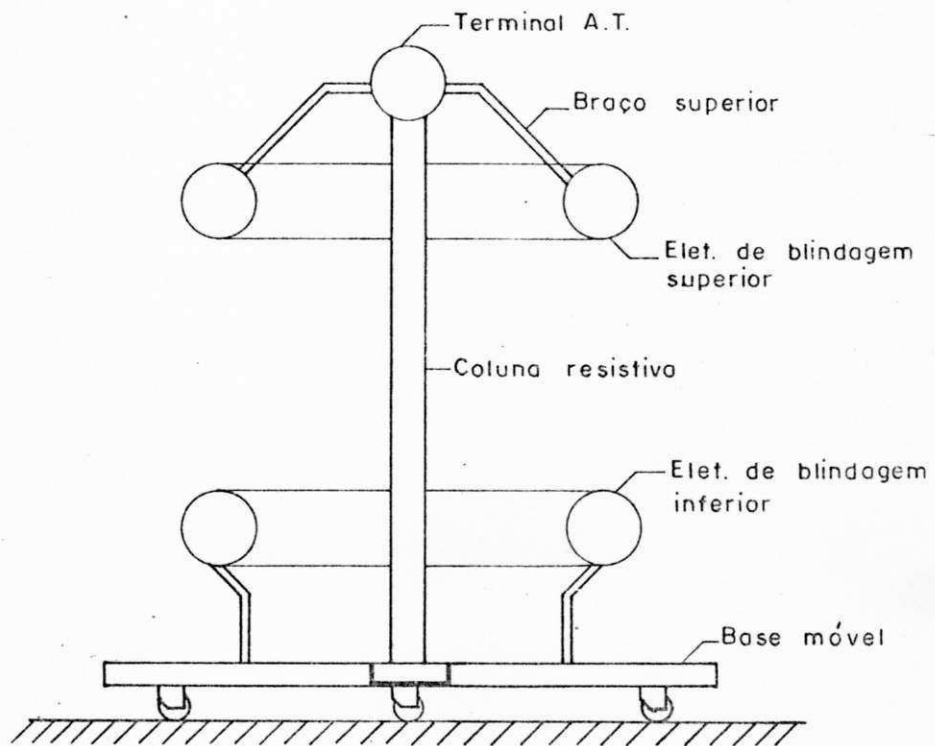


Fig. 3.3 - Divisor de potencial resistivo com eletrodo de blindagem.

3.1.3.1 Eletrodo de Blindagem Ligado Diretamente ao Terminal de Alta-Tensão do Divisor

Para este sistema, anéis de cargas fictícias são uniformemente distribuídos no interior do terminal de alta-tensão e no eletrodo de blindagem, a fim de se obter a distribuição de potenciais eletrostáticos, v_i , ao longo da coluna resistiva (fig. 3.4a). Os anéis de carga foram distribuídos coaxialmente entre si, de tal forma que, o ângulo α é constante. Considera-se que a distância radial "d" entre um anel de carga e o respectivo ponto de contorno é igual a 1,3 vezes a distância circular "s" entre dois pontos de contorno provenientes de dois anéis vizinhos (fig. 3.4b).

Quinze e trinta anéis de carga foram utilizados na simulação do terminal de alta-tensão e eletrodo de blindagem, respectivamente.

Os potenciais dos pontos de contorno são calculados utilizando-se a equação 3.2, ou seja,

$$\begin{aligned} a_{1,1} q_1 + a_{1,2} q_2 + \dots + a_{1,45} q_{45} &= 1 \\ a_{2,1} q_1 + a_{2,2} q_2 + \dots + a_{2,45} q_{45} &= 1 \\ \vdots & \\ a_{45,1} q_1 + a_{45,2} q_2 + \dots + a_{45,45} q_{45} &= 1 \end{aligned}$$

(3.7)

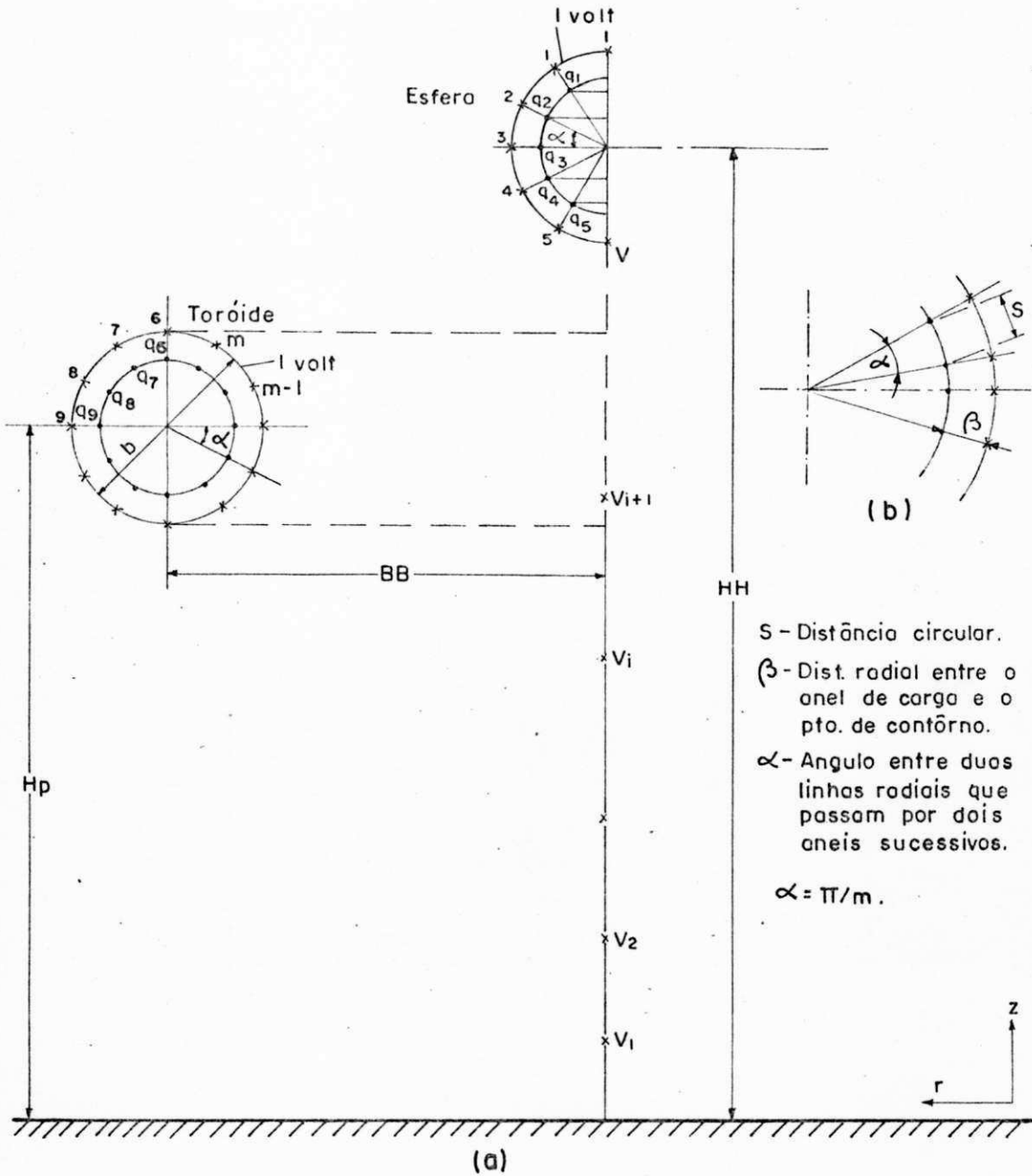


Fig. 3.4 - Eletrodo de blindagem ligado diretamente ao terminal de A.T. do divisor.

Simplificando, temos:

$$[A] \cdot [q] = [B_1] \quad (3.8)$$

onde B_1 é um vetor cujos elementos são iguais ao potencial do contorno mantido em 1 volt. Da equação (3.4), tem-se:

$$[q] = [A]^{-1} \cdot [B_1] \quad (3.9)$$

Com o cálculo de $[q]$, através de (3.9), as componentes do campo elétrico em qualquer região do espaço podem ser calculadas utilizando-se as expressões (3.5) e (3.6).

3.1.3.2 Cálculo do Campo Elétrico do Divisor com Eletrodo de Blindagem Eletricamente Isolado

Com o eletrodo de blindagem ligado ao terminal de alta-tensão através de resistências (eletrodo eletricamente isolado), como mostra a fig. 3.5, a distribuição de potencial e_j , é calculada ao longo da coluna do divisor, considerando-se o potencial do toróide e_k , desconhecido. Neste caso, para se encontrar a distribuição de potencial é necessário obter mais uma equação. Esta equação é obtida supondo-se que a soma das cargas fictícias colocadas no interior do toróide seja zero.

A simulação para este é feita da mesma maneira que no caso anterior, ou seja, 45 anéis de carga e 45 pontos de

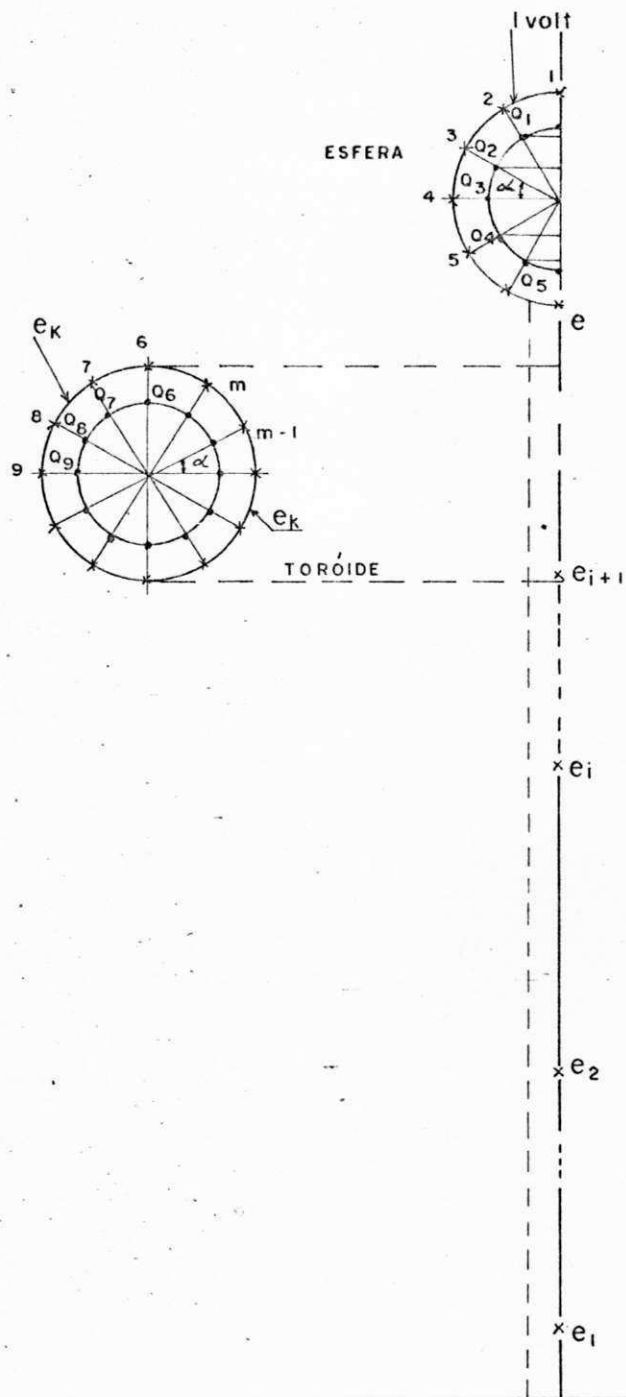


Fig. 3.5 - Eletrodo de blindagem flutuante.

contorno para simular a esfera e os eletrodos de blindagem. Aplicando-se a equação (3.3) para este sistema, e supondo-se que a soma das cargas no interior do toróide é zero, obtêm-se os potenciais dos pontos de contorno:

$$a_{1,1} Q_1 + a_{1,2} Q_2 + \dots + a_{1,45} Q_{45} - \varnothing \cdot e_k = 1$$

⋮

$$a_{15,1} Q_1 + a_{15,2} Q_2 + \dots + a_{15,45} Q_{45} - \varnothing \cdot e_k = 1$$

$$a_{16,1} Q_1 + a_{16,2} Q_2 + \dots + a_{16,45} Q_{45} - e_k = \varnothing$$

⋮

$$a_{45,1} Q_1 + a_{45,2} Q_2 + \dots + a_{45,45} Q_{45} - e_k = \varnothing$$

(3.10a)

$$Q_{16} + Q_{17} + Q_{18} + \dots + Q_{45} = \varnothing$$

(3.10b)

As equações (3.10a) e (3.10b) podem ser escritas na forma matricial:

$$[A] \cdot [Q] - e_k \cdot [\ell_1] = [B_2] \quad (3.11)$$

$$[\ell_1]^t \cdot [Q] = \varnothing \quad (3.12)$$

onde e_k é o potencial flutuante do toróide e,

ℓ_1 é um vetor cujos elementos $\ell_i = 0$ para $1 \leq i \leq 15$

$$\ell_i = 1 \text{ para } 15 < i \leq 45$$

B_2 é um vetor cujos elementos $B_i = 1$ para $1 \leq i \leq 15$

$$B_i = 0 \text{ para } 15 < i \leq 45$$

3.1.4 Cálculo Simultâneo dos Dois Campos

Das equações (3.9) e (3.11) pode-se obter uma maneira mais eficaz de calcular as intensidades das cargas $[q]$, $[Q]$ e o potencial flutuante do toróide e_k , pela solução simultânea dos dois campos, ou seja, levando-se em conta o eletrodo diretamente ligado ao terminal de A.T. e o eletrodo isolado. Além disso, o tempo gasto na computação dos resultados é bem menor.

Considerando-se a equação (3.11), pré-multiplicando-a por $[A]$, obtêm-se:

$$[Q] = [A]^{-1} \cdot [B_2] + e_k \cdot [A]^{-1} \cdot [\ell] \quad (3.13)$$

Pré-multiplicando-se a equação (3.13) por $[\ell]^t$ e tomando-se em consideração a equação (3.12), temos:

$$0 = [\ell]^t \cdot [A]^{-1} \cdot [B_2] + e_k \cdot [\ell]^t \cdot [A]^{-1} \cdot [\ell]$$

onde obtêm-se:

$$e_k = \{[\ell]^t \cdot [A]^{-1} \cdot [B_2]\} / \{[\ell]^t \cdot [A]^{-1} \cdot [\ell]\}$$

(3.14)

Das equações (3.7) e 3.10) observa-se que:

$$[B_1] = [B_2] + [\ell_1]$$

Substituindo-se o valor de B_1 da expressão acima na equação (3.9), tem-se

$$[q] = [A]^{-1} \cdot [B_2] + [A]^{-1} \cdot [\ell] \quad (3.15)$$

Deste modo, a partir das equações (3.13) a (3.15) pode-se obter um algoritmo computacional para a solução simultânea dos dois campos como se segue:

- a) Calcula-se $[A] \cdot [X] = [B_2]$ e armazená-se a solução em $[B_2]$;
- b) Calcula-se $[A] \cdot [Y] = [\ell]$ e armazená-se a solução em $[\ell]$;
- c) Com os valores de $[B_2]$ e $[\ell]$ de a) e b) calcula-se:

$$[q] = [B_2] + [\ell]$$

- d) Calcula-se $e_k = -\{[\ell]^t \cdot [B_2]\} / \{[\ell]^t \cdot [\ell]\}$, como os primeiros 15 elementos do vetor $[\ell]$ são nulos, para qualquer vetor $[K]$ de 45 elementos, o produto $[\ell]^t \cdot [K]$ é igual a soma dos últimos 30 elementos de $[K]$;

e) A partir de a), b) e d) calcula-se:

$$[Q] = [B_2] \cdot + e_k \cdot [e]$$

Do algoritmo apresentado, deve-se notar que, a solução do sistema de equações a) e b) é repetitiva. Entretanto, se dispormos dos fatores LU em a), a solução repetitiva toma um tempo extra de computação muito pequeno.

3.2 Cálculo de Transitórios Eletromagnéticos

Dommel [12] desenvolveu um método para o cálculo de transitórios eletromagnéticos. O método consiste em se determinar as tensões $e(t)$ de todos os nós de um circuito, em função do tempo. A solução através de computador necessita de um procedimento passo a passo ao longo do eixo do tempo, com intervalo Δt fixo. Partindo-se de $t=0$, determina-se as tensões dos nós em $t=t, \Delta t, 2\Delta t, \dots$, até um tempo máximo t_{\max} . Para o cálculo das tensões em "t", necessita-se as tensões dos mesmos nós em $t-\Delta t, t-2\Delta t, \dots, t-\zeta$, onde ζ é o tempo de trânsito.

O cálculo da resposta degrau necessita de períodos de tempo muito curtos, sendo portanto conseguida através do método computacional de Dommel. Este processo baseia-se no método de características para parâmetros distribuídos, e na regra do trapézio em integrações que envolve parâmetros concentrados. Será abordado apenas a linha de transmissão monofásica, visto que seu comportamento é semelhante ao cabo de alta tensão de um divisor, com todos seus parâmetros concen-

trados (resistências, indutâncias e capacitâncias). Um método computacional adequado ao cálculo de transitórios é descrito posteriormente.

3.2.1 Linha de Transmissão sem Perdas

Suponha uma linha monofásica sem perdas (estas serão incluídas posteriormente), fig. 3.6, com indutância "L" e capacitância "C" por unidade de comprimento. Em um ponto "x" qualquer ao longo da linha, as tensões e correntes obedecem às equações:

$$- \frac{\partial e}{\partial x} = L \frac{\partial i}{\partial t} \quad (3.16)$$

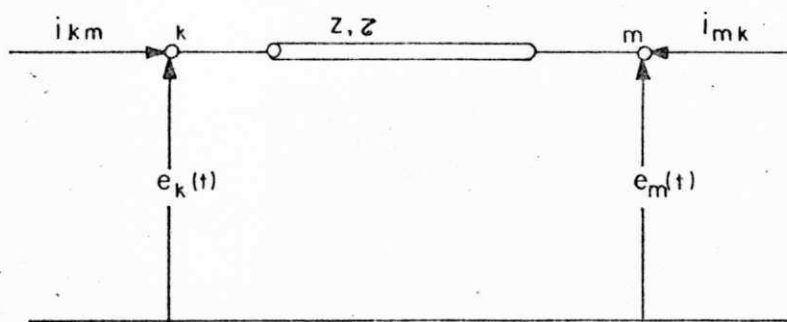
$$- \frac{\partial i}{\partial x} = C \frac{\partial e}{\partial t} \quad (3.17)$$

A solução geral dessas equações é

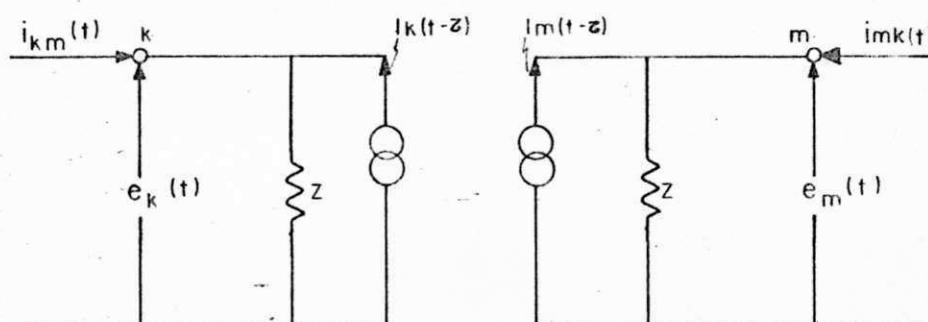
$$i(x,t) = f_1(x-vt) + f_2(x+vt) \quad (3.18)$$

$$e(x,t) = 2f_1(x-vt) - 2f_2(x+vt) \quad (3.19)$$

onde f_1 e f_2 são funções das variáveis $(x-vt)$ e $(x+vt)$, e Z é a impedância de surto da linha. Fisicamente as funções $f_1(x-vt)$ e $f_2(x+vt)$ são ondas viajantes progressiva e regressiva, respectivamente com velocidade de propagação "v". A impedância de surto e a velocidade de propagação são calcula-



a) - Linha de transmissão.



b) - Circuito equivalente.

Fig. 3.6 - Circuito equivalente de uma linha de transmissão sem perdas.

das pelas expressões:

$$Z = \sqrt{L/C} \quad (3.20)$$

$$v = 1/Z$$

Combinando-se as equações (3.18) e (3.19), obtêm-se:

$$e(x,t) + Z.i(x,t) = 2.Z.f_1(x-vt) \quad (3.21)$$

$$e(x,t) - Z.i(x,t) = -2.Z.f_2(x+vt) \quad (3.22)$$

Se $(x-vt)$ em (3.21) for constante, o lado esquerdo dessa equação $(e+Zi)$ é constante. Da mesma maneira em (3.22) se $(x+vt)$ for constante, $(e-Zi)$ será constante também.

Seja um observador fictício viajando ao longo de uma linha na direção progressiva com velocidade "v". Os argumentos $(x-vt)$ e conseqüentemente $(e+Zi)$ serão constantes para este observador. Seja " ζ " o tempo de trânsito entre os terminais "m" e "k", da figura 3.6a, da linha. O valor da tensão $(e+Zi)$ encontrada pelo observador no terminal "m" em $(t-\zeta)$ deverá ser o mesmo quando ele chegar no terminal "k" em um tempo "t". Matematicamente tem-se:

$$e_m(t-\zeta) + Z.i_{mk}(t-\zeta) = e_k(t) + Z.\{-i_{km}(t)\} \quad (3.23)$$

Da equação (3.23), temos:

$$i_{km}(t) = \frac{1}{Z} \cdot e_k(t) - I_k(t-\zeta)$$

$$i_{mk}(t) = \frac{1}{Z} \cdot e_m(t) - I_m(t-\zeta) \quad (3.24)$$

onde

$$I_k(t-\zeta) = \frac{1}{Z} \cdot e_m(t-\zeta) + I_{mk}(t-\zeta)$$

$$I_m(t-\zeta) = \frac{1}{Z} \cdot e_k(t-\zeta) + I_{km}(t-\zeta)$$

O circuito equivalente de uma linha sem perdas encontra-se na figura 3.6b. Observa-se neste circuito que os terminais da linha são desacoplados, e que um terminal sente a presença de tensão no outro após um tempo de atraso " ζ ".

3.2.2 Parâmetros Concentrados

3.2.2.1 Indutância

Seja a indutância L conectada entre os nós " k " e " m " da figura 3.7a.

A tensão entre estes nós é dada por:

$$e_{km} = L \frac{di_{km}}{dt}$$

Integrando-se de um tempo $(t-\Delta t)$ a t , obtêm-se:

$$\int_{t-\Delta t}^t di_{km} = \frac{1}{L} \int_{t-\Delta t}^t e_{km} \cdot dt$$

Aplicando-se a regra do trapézio, teremos:

$$i_{km}(t) - i_{km}(t-\Delta t) = \frac{1}{L} \cdot \frac{\Delta t}{2} \cdot \{e_{km}(t) + e_{km}(t-\Delta t)\}$$

Desta equação, obtêm-se:

$$i_{km}(t) = \frac{\Delta t}{2L} \cdot e_{km}(t) + I_k(t-\Delta t)$$

onde

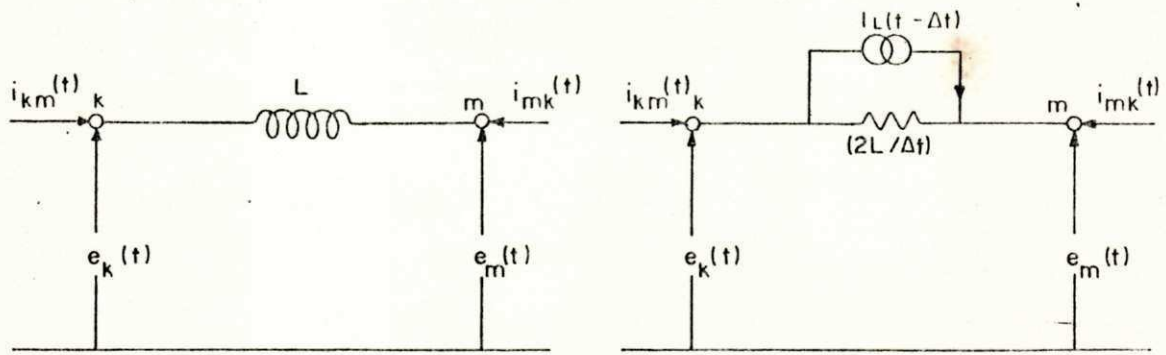
$$I_k(t-\Delta t) = \frac{\Delta t}{2L} \cdot e_{km}(t-\Delta t) + I_k(t-2\Delta t)$$

A figura 3.7a mostra também o circuito equivalente de uma indutância em regime transitório.

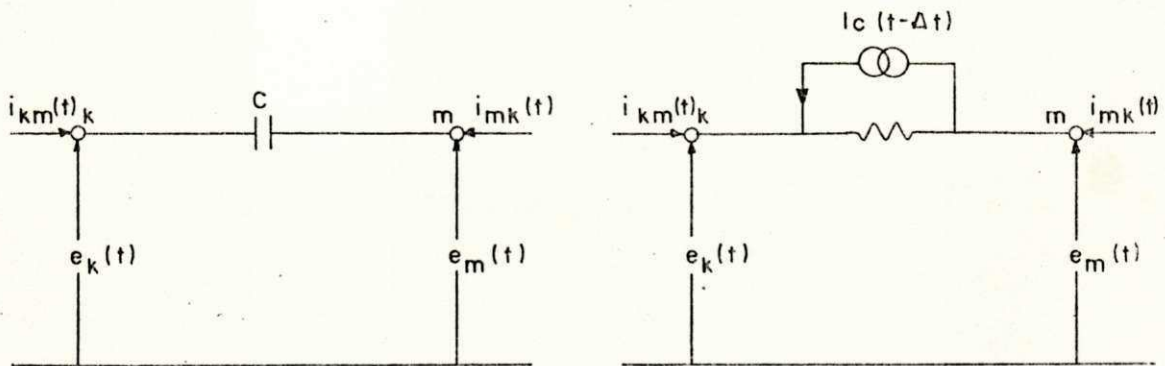
3.2.2.2 Capacitância

Seja a capacitância "C" da figura 3.7b. A equação matemática é

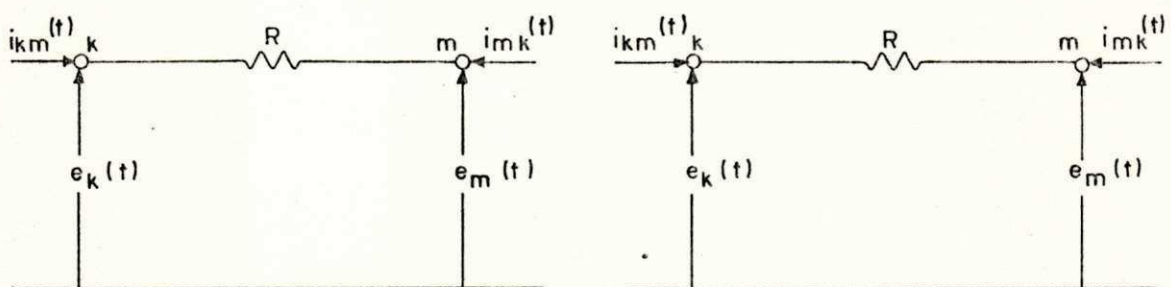
$$i_{km}(t) = C \frac{d e_{km}(t)}{dt}$$



- a -



- b -



- c -

Figura-3.7

- a) - Indutância e circuito equivalente.
 b) - Capacitância e circuito equivalente.
 c) - Resistência e circuito equivalente.

Integrando de $(t-\Delta t)$ a t , obtêm-se:

$$\int_{t-\Delta t}^t de_{km} = \frac{1}{C} \int_{t-\Delta t}^t i_{km}.dt$$

Usando-se a regra do trapézio

$$e_{km}(t) - e_{km}(t-\Delta t) = \frac{1}{C} \cdot \frac{\Delta t}{2} \{i_{km}(t) + i_{km}(t-\Delta t)\}$$

Desta equação, obtêm-se:

$$i_{km}(t) = \frac{2C}{\Delta t} \cdot e_{km}(t) - I_k(t-\Delta t)$$

onde

$$I_k(t-\Delta t) = \frac{2C}{\Delta t} \cdot e_{km}(t-\Delta t)$$

A figura 3.7b mostra também o circuito equivalente de uma capacitância em regime transitório.

3.2.2.3 Resistência

Seja o circuito da figura 3.7c. A equação para este circuito é

$$i_{km}(t) = \frac{1}{R} \cdot e_{km}(t)$$

A figura 3.7c mostra também o circuito equivalente de uma resistência em regime transitório.

3.2.3 Linha de Transmissão com Perdas

As perdas de uma linha de transmissão podem ser representadas por inserção de resistências concentradas, ligadas em série nas duas extremidades da linha. Em geral, a resistência é dividida em dois elementos concentrados $R/2$ nos seus terminais, como mostra a figura 3.8. Pode-se ainda dividir a resistência em vários segmentos, todavia, experiências numéricas mostram que a divisão da linha em mais de dois segmentos praticamente não aumenta a precisão dos resultados. A figura 3.9 mostra uma linha de transmissão com a resistência dividida em vários segmentos. O circuito equivalente é o mesmo que o de uma linha sem perdas. As alterações são feitas nas fontes e nos elementos de circuitos.

As equações neste caso são:

$$i_{km}(t) = \frac{1}{Z_e} \cdot e_k(t) - I_k(t-\tau)$$

$$i_{mk}(t) = \frac{1}{Z_e} \cdot e_m(t) - I_m(t-\tau)$$

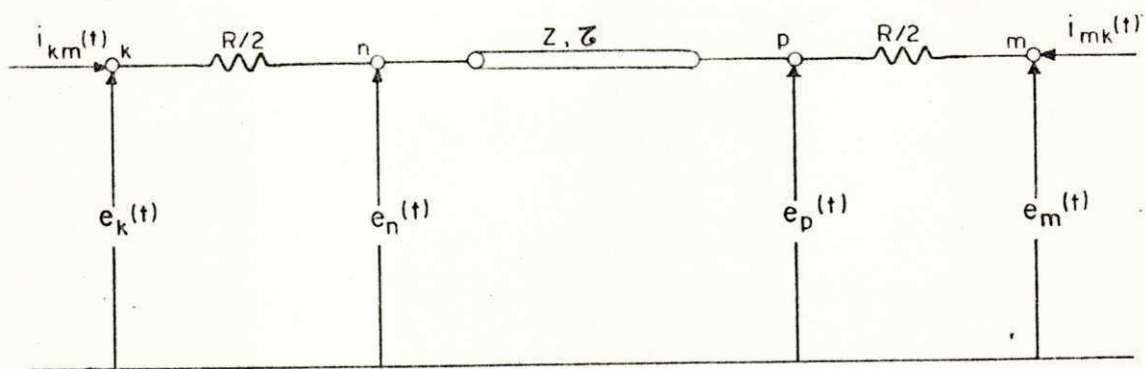


Fig. 3.8 - Resistência série da linha concentrada nas extremidades.

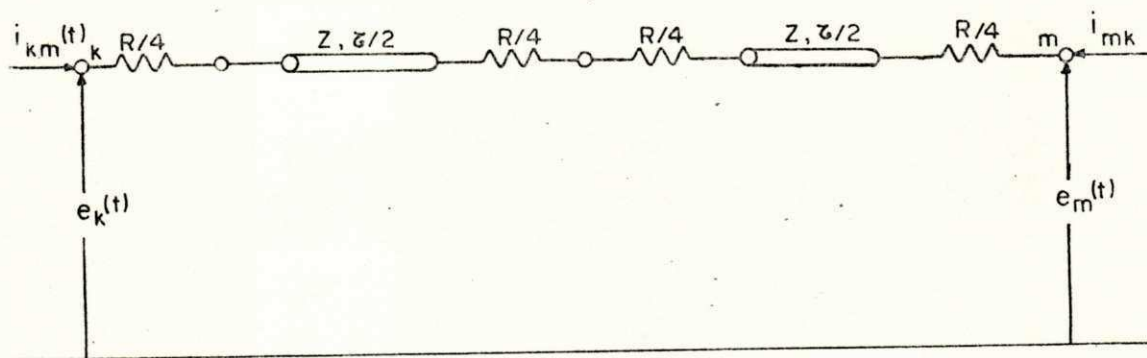


Fig. 3.9 - Resistência série da linha concentrada no meio e nas extremidades.

onde

$$I_k(t-\zeta) = \frac{1+h}{2} \cdot \left\{ \frac{1}{Z_e} \cdot e_m(t-\zeta) + i_{mk}(t-\zeta) \right\} \\ + \frac{1-h}{2} \left\{ \frac{1}{Z_e} \cdot e_k(t-\zeta) + i_{km}(t-\zeta) \right\}$$

$$I_m(t-\zeta) = \frac{1+h}{2} \left\{ \frac{1}{Z_e} \cdot e_k(t-\zeta) + i_{km}(t-\zeta) \right\} + \frac{1-h}{2} \left\{ \frac{1}{Z_e} \cdot e_m(t-\zeta) + i_{mk}(t-\zeta) \right\}$$

$$\frac{1}{Z_e} \cdot e_m(t-\zeta) + i_{mk}(t-\zeta)$$

$$Z_e = (Z+R)/4$$

$$h = \left(\frac{Z-R}{4} \right) / (Z+R/4)$$

3.2.4 Procedimento Computacional

No procedimento de otimização de um sistema de medição, é necessário que se obtenha o circuito equivalente do divisor de potencial, a fim de se calcular as tensões $e(t)$ de todos os nós do circuito, em função do tempo, necessárias ao desenvolvimento da otimização. Contudo, o circuito equivalente do divisor será descrito no próximo capítulo. Supõe-se entretanto, que o circuito equivalente para o cálculo de transitórios seja o circuito da figura 3.10. A partir deste, pode-se calcular as tensões nodais $e(t)$, do sistema que for-

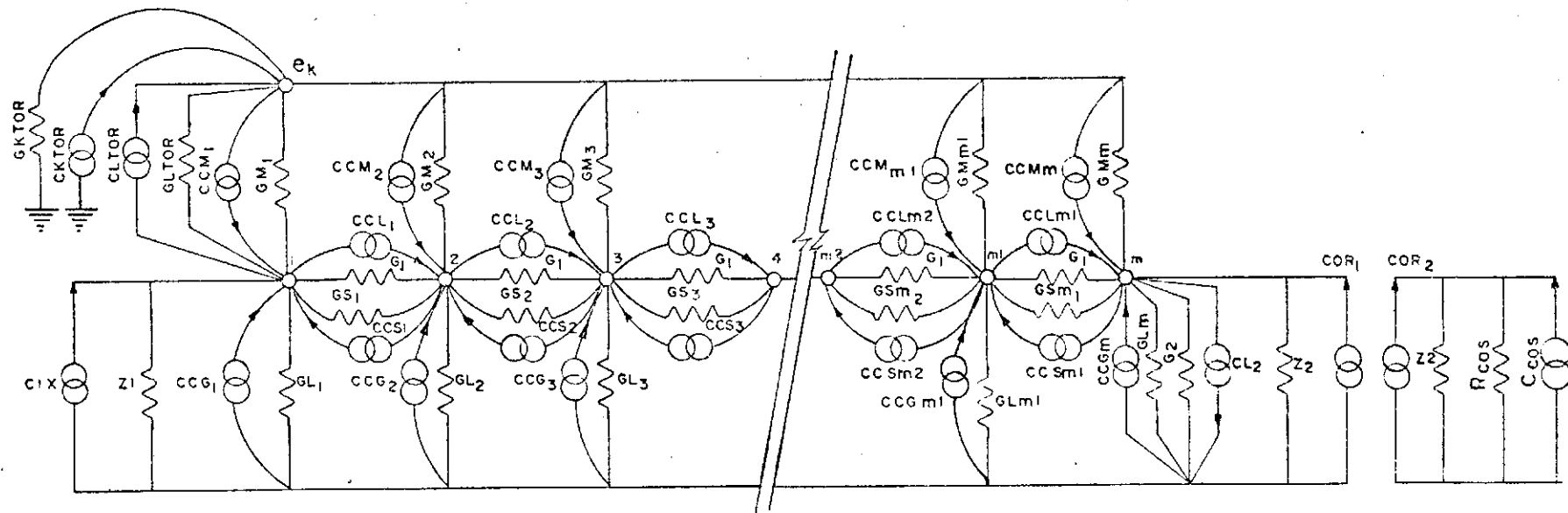


Fig. 3.10 - Circuito equivalente do divisor de potencial resistivo para cálculo de transitórias.

necem informações do circuito equivalente do divisor em um tempo t . As equações para este sistema podem ser escritas como se segue:

$$e_k G_{KTOR} + (e_k - e_1) G_{LTOR} + (e_k - e_2) G_{M_2} + \dots + (e_k - e_m) G_{M_m} = C_{KTOR} + C_{LTOR} - C_{CM_1} - \dots - C_{CM_m}$$

$$e_1 (1/Z_1 + G_{L_1}) + (e_1 - e_2) (G_1 + G_{S_1}) + (e_1 - e_k) G_{LTOK} = C_{IX} + C_{CG_1} + C_{CM_1} - C_{LTOk} +$$

·
·
·

$$+ C_{CS_1} - C_{CL_1}$$

$$e_{m_1} G_{L_{m_1}} + (e_{m_1} - e_{m_2}) (G_1 + G_{S_{m_2}}) + (e_{m_1} - e_m) (G_1 + G_{S_{m_1}}) + (e_{m_1} - e_k) G_{M_{m_1}} = C_{CG_{m_1}}$$

$$+ C_{CS_{m_1}} + C_{CM_{m_1}} - C_{CL_{m_2}} + C_{CL_{m_1}} - C_{CS_{m_1}}$$

$$e_m (G_{L_m} + G_2 + 1/Z_2) + (e_m - e_{m_1}) (G_1 + G_{S_{m_1}}) + (e_m - e_k) G_{M_m} = C_{CG_m} - C_{L_2}$$

$$+ C_{CM_m} - C_{CS_{m_1}} + C_{CL_{m_1}} + C_{ORX_1}$$

(3.25)

Colocando-se estas equações na forma matricial, tem-se:

$$[Y] \cdot [e(t)] = [i(t)] - [I] \quad (3.26)$$

onde:

$[Y]$ é a matriz de admitância nodal;

$[e(t)]$ é o vetor coluna das tensões nodais num tempo t ;

$[i(t)]$ é o vetor coluna de correntes nodais injetadas (fontes de correntes ligando qualquer nó ao nó de referência);

$[I]$ é o vetor coluna conhecido (representando a "história passada" das malhas).

O cálculo computacional de transitórios finalmente pode ser obtido resolvendo-se o sistema de equações lineares (3.25). O lado direito de (3.25) deve ser calculado no início de cada passo de tempo Δt .

As equações (3.25) podem ser particionadas obtendo-se as seguintes matrizes de condutâncias: a matriz $[Y_{11}]$ que é uma matriz tridiagonal, uma matriz coluna $[Y_{12}]$, uma matriz linha cujos elementos são formados pela matriz $[Y_{12}]^t$, e uma matriz unidade $[Y_{KK}]$, ou seja:

$$\begin{array}{|c|c|} \hline [Y_{11}] & [Y_{12}] \\ \hline [Y_{12}]^t & [Y_{KK}] \\ \hline \end{array} \begin{array}{c} [e] \\ \\ [e_k] \end{array} = \begin{array}{c} [c] \\ \\ [c_k] \end{array} \quad (3.27)$$

onde $c(t)$ é o vetor de fontes de correntes fictícias.

A solução do sistema tridiagonal foi feita utilizando-se de uma técnica muito eficiente para solução de equações

lineares tridiagonais [13]. Considerando-se o seguinte sistema de equações lineares de parâmetros v_1, v_2, \dots, v_n , desconhecidos, têm-se:

$$b_1 v_1 + c_1 v_2 = d_1$$

$$a_2 v_1 + b_2 v_2 + c_2 v_3 = d_2$$

$$a_3 v_2 + b_3 v_3 + c_3 v_4 = d_3$$

$$a_i v_{i-1} + b_i v_i + c_i v_{i+1} = d_i$$

$$a_{n-1} v_{n-2} + b_{n-1} v_{n-1} + c_{n-1} v_n = d_{n-1}$$

$$a_n v_{n-1} + b_n v_n = d_n$$

(3.28)

a qual é semelhante à equação (3.25). Para se resolver este tipo de problema, deve-se levar em conta a natureza tridiagonal do sistema. Vários métodos para solução desse sistema podem existir (método de Gauss-Jordan, por exemplo), contudo a técnica descrita a seguir é mais rápida e eficiente.

A partir da solução recursiva dada pela forma,

$$v_i = \gamma_i - \frac{c_i}{\beta_i} v_{i+1}$$

na qual as constantes β_i e γ_i são as incógnitas, obtêm-se o algoritmo completo para a solução do sistema tridiagonal dado pela equação (3.26) ou seja,

$$v_n = \gamma_n ,$$

$$v_i = \gamma_i - \frac{c_i v_{i+1}}{\beta_i} , \quad i = N-1, N-2, \dots, 1$$

onde os β 's e γ 's são determinados das fórmulas de recursão:

$$\beta_1 = b_1 , \quad \gamma_1 = d_1 / \beta_1 ,$$

$$\beta_i = b_i - \frac{a_i c_{i-1}}{\beta_{i-1}} , \quad i = 2, 3, \dots, N$$

$$\gamma_i = \frac{d_i - a_i \gamma_{i-1}}{\beta_i} \quad i = 2, 3, \dots, N$$

3.3 Conceitos Básicos de Otimização

Este trabalho, utiliza um método de otimização, baseado nos métodos de gradientes com convergência quadrática, para localização de um mínimo local sem restrição de uma função de "n" variáveis. Alguns aspectos básicos da teoria de otimização serão analisados, bem como o método de Fletcher-Reeves [14,15,16].

3.3.1 Aspectos Básicos da Otimização

O problema básico da otimização é minimizar uma quantidade escalar E que é o valor de uma função de " n " parâmetros x_1, x_2, \dots, x_n . Estas variáveis devem ser ajustadas para se obter o mínimo requerido, isto é,

$$\text{minimizar } E = f(x_1, x_2, \dots, x_n) \quad (3.29)$$

A otimização formulada dessa forma é vista como um problema de minimização, contudo, este pode ser transformado num problema de maximização equivalente, ou vice-versa, isto é,

$$\text{máximo } f(x) = - \text{mínimo } \{-f(x)\}$$

O valor de E de f é geralmente uma medida da diferença entre o desempenho requerido e o desempenho real obtido. A função f é referida como a função objetivo cujo valor é a quantidade que queremos otimizar. Assim, os " n " parâmetros seriam ajustados iterativamente durante o processo de otimização até que um mínimo ou máximo da função seja conseguido.

Um dos fatores importantes no processo de otimização é a escolha da função objetivo. Definida a função objetivo, sua minimização ou maximização consiste de mudanças em seus parâmetros. Estes podem ser representados por um vetor coluna \bar{X} . A transposta de \bar{X} é dada por:

$$\bar{X}^T = [x_1 x_2 \dots x_n] \quad (3.30)$$

e suas sucessivas mudanças dadas por,

$$\Delta \bar{X}^T = [\Delta X_1 \Delta X_2 \dots \Delta X_n] \quad (3.31)$$

3.3.1.1 Otimização de uma Variável

O mais simples tipo de pesquisa, é o que envolve somente uma variável, isto é,

$$\text{minimizar } E = f(\bar{X})$$

Dispõe-se de duas classes de métodos de otimização de uma variável:

- métodos de aproximação
- métodos de pesquisa

Nos métodos de aproximação a função objetivo é aproximada por um polinômio, enquanto que nos métodos de pesquisa a função é pesquisada em intervalos de modo que se reduz a região na qual o mínimo pode estar localizado. Os métodos de pesquisa são os mais amplamente utilizados, entre estes destaca-se a pesquisa de Fibonacci.

A principal diferença entre os métodos de pesquisa e os métodos de aproximação é que os últimos aplicam-se somente a funções contínuas e diferenciáveis, enquanto os outros a qualquer função unimodal (só existe um mínimo relativo), mas

não necessariamente contínua dentro do intervalo de pesquisa do mínimo.

3.3.1.2 Otimização de Multi-Variável

A otimização neste caso baseia-se na equação (3.29) onde a função objetivo é função de "n" variáveis. Em geral, os métodos de otimização de multi-variável aplicam-se a sistemas de qualquer dimensão. Estes também estão dentro de duas classes interligadas entre si:

- métodos de pesquisa
- métodos de gradientes

Os métodos de pesquisa utilizam somente da evolução da função, enquanto que os métodos de gradientes requerem em adição a informação do gradiente nas formas de vetor gradiente $[g]$ e da matriz Hessiana $[H]$. Os que utiliza a informação do vetor gradiente $[g]$, definido como sendo a transposta do vetor gradiente ∇E da função objetivo, é uma matriz linha de derivadas parciais de primeira ordem, isto é,

$$[\bar{g}]^T = \nabla E = \left[\frac{\partial E}{\partial X_1}, \frac{\partial E}{\partial X_2}, \dots, \frac{\partial E}{\partial X_n} \right] \quad (3.32)$$

são chamados métodos de primeira ordem. Os métodos de segunda ordem são os que utilizam a matriz simétrica das derivadas parciais de segunda ordem de E, ou seja,

$$H = \begin{bmatrix} \frac{\partial^2 E}{\partial X_1^2} & \frac{\partial^2 E}{\partial X_1 \partial X_2} & \dots & \frac{\partial^2 E}{\partial X_1 \partial X_n} \\ \frac{\partial^2 E}{\partial X_2 \partial X_1} & \frac{\partial^2 E}{\partial X_2^2} & \dots & \frac{\partial^2 E}{\partial X_2 \partial X_n} \\ \cdot & \cdot & \cdot & \cdot \\ \cdot & \cdot & \cdot & \cdot \\ \frac{\partial^2 E}{\partial X_n \partial X_1} & \frac{\partial^2 E}{\partial X_n \partial X_2} & \dots & \frac{\partial^2 E}{\partial X_n^2} \end{bmatrix} \quad (3.33)$$

Entre as duas classes dos métodos de multi-variável, estas dependem do tipo de problema a ser estudado e da disponibilidade do vetor gradiente ou da matriz Hessiana.

Os métodos de gradientes são baseados na expansão de Taylor dada por,

$$f(X+\Delta\bar{X})=f(\bar{X})+|g|^T|\Delta\bar{X}|+\frac{1}{2}|\Delta\bar{X}|^T\cdot|H|\cdot|\Delta\bar{X}|+\dots$$

(3.34)

onde os valores de \bar{X} , $\Delta\bar{X}$, \bar{g}^T e $|H|$ são dados pelas equações (3.30) a (3.33). Reescrevendo-se a equação (3.34) e desprezando-se os termos a partir de terceira ordem obtêm-se:

$$f(\bar{X} + \Delta\bar{X}) = f(\bar{X}) + \bar{g}^T \Delta\bar{X} + \frac{1}{2} \Delta\bar{X}^T [H] \Delta\bar{X} \quad (3.35)$$

ou ainda,

$$f(\bar{X} + \Delta\bar{X}) \approx E + \Delta E$$

onde,

$$\Delta E = \bar{g}^T \Delta\bar{X} + \frac{1}{2} \Delta\bar{X}^T [H] \Delta\bar{X}$$

Este termo significa uma correção do valor da função em \bar{X} que é uma aproximação da função em $\bar{X} + \Delta\bar{X}$. Com funções definidas numericamente, e em particular considera-se uma função de "n" variáveis das quais o valor $f(\bar{x})$ e o vetor gradiente $g(\bar{x})$ pode ser calculado em qualquer ponto \bar{X} . Supõe-se que nas proximidades do mínimo requerido h , a função é dada por,

$$f(\bar{X}) = f(h) + \frac{1}{2} (\bar{X} - h)^T [A] (\bar{X} - h) \quad (3.36)$$

e seu gradiente,

$$\bar{g}(\bar{X}) = [A] (\bar{X} - h) \quad (3.37)$$

3.3.1.2.1 Método do Degrau Decrescente

Este método usa o gradiente \bar{g} para determinar a direção conveniente para o ajustamento dos valores das variáveis ou parâmetros.

Sejam os parâmetros de um circuito representados pelo vetor coluna \bar{X} , dado por:

$$\bar{X}^T = [R, S, G, \dots, C, T] \quad (3.38)$$

Após a i -ésima e i -ésima + 1 iteração, o valor de \bar{X} é dado por:

$$\bar{X}_i^T = [R_i, S_i, G_i, \dots, C_i, T_i]$$

$$\bar{X}_{i+1}^T = [R_{i+1}, S_{i+1}, G_{i+1}, \dots, C_{i+1}, T_{i+1}]$$

Partindo-se da equação (3.32) o vetor gradiente \bar{g} e a matriz Hessiana $[H]$ são dados por:

$$\bar{g}^T = [E] = \left[\frac{\partial E}{\partial R} \quad \frac{\partial E}{\partial S} \quad \frac{\partial E}{\partial G} \quad \dots \quad \frac{\partial E}{\partial C} \quad \frac{\partial E}{\partial T} \right] \quad (3.39)$$

$$H = \begin{bmatrix} \frac{\partial^2 E}{\partial R^2} & \frac{\partial^2 E}{\partial R \partial S} & \dots & \frac{\partial^2 E}{\partial R \partial T} \\ \frac{\partial^2 E}{\partial S \partial R} & \frac{\partial^2 E}{\partial S^2} & \dots & \frac{\partial^2 E}{\partial S \partial T} \\ \vdots & \vdots & \ddots & \vdots \\ \frac{\partial^2 E}{\partial T \partial R} & \frac{\partial^2 E}{\partial T \partial S} & \dots & \frac{\partial^2 E}{\partial T^2} \end{bmatrix} \quad (3.40)$$

Expandindo-se em séries de Taylor, na i -ésima + 1 iteração o valor da função será:

$$\begin{aligned} E_{i+1} &= E(\bar{X}_{i+1}) \\ &= E(\bar{X}_i + \Delta \bar{X}) \\ &= E(\bar{X}_i) + [\bar{g}]^T [\Delta \bar{X}] + \frac{1}{2} [\Delta X]^T [H] [\Delta X] \end{aligned} \quad (3.41)$$

Portanto,

$$\begin{aligned} \Delta E &= E_{i+1} - E_i = E(\bar{X}_{i+1}) - E(\bar{X}_i) \\ \Delta E &= [\bar{g}]^T [\Delta X] + \frac{1}{2} [\Delta X]^T [H] [\Delta X] \end{aligned} \quad (3.42)$$

O efeito em E de uma pequena mudança $\Delta\bar{X}$ em \bar{X} é dado pela aproximação de primeira ordem por:

$$\Delta E = |\bar{g}|^T |\Delta\bar{X}| \quad (3.43)$$

A equação (3.43) pode ser considerada como o produto escalar de dois vetores, ou seja,

$$\Delta E = |\bar{g}|^T \cdot |\Delta\bar{X}| \cos\theta \quad (3.44)$$

Desta equação (3.44), para magnitudes de $|\bar{g}|$ e $|\Delta\bar{X}|$, ΔE depende do $\cos\theta$, onde pode-se obter um valor máximo positivo se $\theta = 0$ e um valor máximo negativo se $\theta = \pi$. A máxima redução em E portanto ocorre quando $\theta = \pi$, resultando que mudanças minimizante $\Delta\bar{X}$ em \bar{X} deve ser na direção do gradiente negativo $|-g|$.

O vetor unitário $\bar{\mu}$ na direção de $|-g|$ é dado por:

$$\bar{\mu} = \frac{|-g|}{|\bar{g}|} \quad (3.45)$$

portanto, qualquer mudança $\Delta\bar{X}$ é proporcional a $\bar{\mu}$, isto é,

$$\Delta\bar{X} = \lambda \bar{\mu} \quad (3.46)$$

onde λ é um parâmetro não negativo determinado através de pesquisas lineares ou pela matriz Hessiana $|H|$ quando é conhecida.

O novo ponto agora pode ser determinado como se segue, ou seja,

$$\begin{aligned}\bar{X}_{i+1} &= \bar{X}_i + \Delta\bar{X} \\ &= \bar{X}_i + \lambda\bar{\mu}\end{aligned}\quad (3.47)$$

Portanto, quando \bar{X} varia de \bar{X}_i a \bar{X}_{i+1} , o valor da função $E(\bar{X})$ decresce, e neste caso, \bar{X}_i deverá ser variado ao longo da direção do gradiente normalizado da função E , calculado em \bar{X}_i .

O cálculo do valor ótimo para λ encontra o valor de mínimo da função na direção de $\bar{\mu}$. Substituindo a equação (3.47) em (3.46) que fornece o valor de ΔE , para uma aproximação de segunda ordem obtêm-se:

$$\Delta E = - \frac{[\bar{g}]^T \lambda [\bar{g}]}{|\bar{g}|} + \frac{\lambda^2}{2} \frac{[\bar{g}]^T [H] [\bar{g}]}{|\bar{g}|^2} \quad (3.48)$$

isto é,

$$\Delta E = -\lambda [\bar{g}] + \frac{\lambda^2}{2} \frac{[\bar{g}]^T [H] [\bar{g}]}{|\bar{g}|^2} \quad (3.49)$$

No mínimo da função na direção de $\bar{\mu}$, a variação de λ nos dá um valor máximo negativo de ΔE , conseqüentemente, diferenciando (3.49) em relação a λ e igualando o resultado a zero, obtêm-se:

$$\frac{\partial}{\partial \lambda} (\Delta E) = -|\bar{g}| + \lambda \frac{[\bar{g}]^T [H] [\bar{g}]}{|\bar{g}|^2} = 0 \quad (3.50)$$

onde,

$$\lambda = \frac{|\bar{g}|^3}{[\bar{g}]^T [H] [\bar{g}]} \quad (3.51)$$

Supondo-se λ_0 seja um valor inicial arbitrário para λ , da equação (3.48), tem-se:

$$\begin{aligned} E(\bar{X} - \lambda_0 \bar{\mu}) &= E(\bar{X}) - \frac{|\bar{g}|^T |\lambda_0 \bar{g}|}{|\bar{g}|} + \frac{\lambda_0^2}{2} \frac{|\bar{g}|^T [H] |\bar{g}|}{|\bar{g}|^2} \\ &= E(X) - \lambda_0 |\bar{g}| + \frac{\lambda_0^2}{2 |\bar{g}|^2} \cdot [\bar{g}]^T [H] [\bar{g}] \end{aligned}$$

onde

$$[\bar{g}]^T [H] [\bar{g}] = \frac{E(\bar{X} - \lambda_0 \bar{\mu}) - E(\bar{X}) + \lambda_0 |\bar{g}|}{\lambda_0^2} \cdot 2 |\bar{g}|^2 \quad (3.52)$$

Substituindo a equação (3.52) em (3.51) obtêm-se:

$$\lambda = \frac{\lambda_0^2 \cdot |\bar{g}|}{2} \cdot \frac{1}{E(\bar{X} - \lambda_0 \bar{\mu}) - E(\bar{X}) + \lambda_0 \cdot |\bar{g}|} \quad (3.53)$$

3.3.1.2.2 Método de Fletcher-Reeves

O método de Fletcher-Reeves [16] baseia-se no método de gradientes conjugado. Este método é utilizado para resolução de um sistema de equações lineares,

$$[A]\bar{X} = \bar{B} \quad (3.54)$$

através da minimização de uma função quadrática correspondente,

$$f(\bar{X}) = \frac{1}{2}\bar{X}^T [A]\bar{X} - \bar{B}^T \bar{X} \quad (3.55)$$

e cujo vetor gradiente,

$$g(\bar{X}) = [A](\bar{X} - \bar{X}_0) \quad (3.56)$$

onde $[A]$ é uma matriz simétrica, positiva definida, e \bar{B} um vetor coluna. A equivalência destes dois problemas é estabelecida pela relação,

$$f(\bar{X}) = [A]\bar{X} - \bar{B} = 0 \quad (3.57)$$

Portanto, o vetor \bar{X}_0 que minimiza a equação (3.54) também é solução da equação (3.55). O método então é descrito, baseado na minimização da função quadrática dada pela equação (3.55).

A idéia baseada no procedimento do gradiente conjugado, é similar à do degrau decrescente, em que uma sequência

de pesquisas unidimensional é feita em direções que são determinadas pelas derivadas parciais da função objetivo. De maneira diferente do método do degrau decrescente, contudo, os vetores de pesquisa não são iguais aos vetores gradiente negativo; ao contrário, uma sequência de vetores de pesquisa é determinada. Esta é feita de tal maneira que cada vetor de pesquisa é uma função do vetor gradiente atualizado e do vetor de pesquisa anterior. O algoritmo é garantido para minimizar uma função quadrática de n variáveis independentes, com n iterações, ou seja, o método apresenta convergência quadrática.

Considerando-se a função objetivo $f(\bar{X})$ e o seu vetor gradiente $\bar{g}(\bar{X})$ dados pelas equações (3.55) e (3.56), deseja-se minimizar esta função através de sucessivas pesquisas lineares, de tal forma que escolhendo-se um ponto inicial de pesquisa \bar{X}_0 , arbitrário, localiza-se uma sequência de pontos que são sucessivamente fechados para o mínimo como se segue:

$$\bar{X}_{i+1} = \bar{X}_i + \alpha_i \bar{P}_i \quad (3.58)$$

onde α_i é um escalar positivo que define a distância entre \bar{X}_i e \bar{X}_{i+1} ao longo do vetor da pesquisa \bar{P}_i . Note que o mínimo ao longo de \bar{P}_i ocorreria onde \bar{P}_i é tangente à família de contornos dada pela equação (3.55). Estabelecendo-se o gradiente de $f(\bar{X})$ em \bar{X}_{i+1} sendo normal a \bar{P}_i , isto é,

$$\bar{g}_{i+1}^T \bar{P}_i = \bar{P}_i^T \bar{g}_{i+1} = 0 \quad (3.59)$$

onde $\bar{g}(\bar{X}_i) = \bar{g}_i$, para cada "i".

Pelo uso repetitivo da equação (3.58), obtêm-se:

$$\bar{X}_k = \bar{X}_i + \sum_{j=1}^{k-1} \alpha_j \bar{P}_j, \quad k = 1, 2, \dots, n \quad (3.60)$$

Em particular,

$$\bar{X}_n = \bar{X}_i + \sum_{j=1}^{n-1} \alpha_j \bar{P}_j \quad (3.61)$$

Subtraindo \bar{X}_0 de cada lado da equação (3.61) e pré-multiplicando por $[A]$, obtêm-se:

$$[A](\bar{X}_n - \bar{X}_0) = [A](\bar{X}_i - \bar{X}_0) + \sum_{j=1}^{n-1} \alpha_j [A] \bar{P}_j \quad (3.62)$$

Com o gradiente da equação (3.55) a equação (3.62) fica:

$$\bar{g}_n = \bar{g}_i + \sum_{j=1}^{n-1} \alpha_j [A] \bar{P}_j \quad (3.63)$$

Pode-se obter um caso específico da equação acima dado por:

$$\bar{g}_{i+1} = \bar{g}_i + \alpha_i [A] \bar{P}_i \quad (3.64)$$

Desenvolvendo-se agora um critério para definição do vetor de pesquisa \bar{P}_j , tem-se que: pré-multiplicando a equação (3.63) por \bar{P}_{i-1}^T , obtêm-se:

$$\bar{p}_{i-1}^T \bar{g}_n = \bar{p}_{i-1}^T \bar{g}_i + \sum_{j=i}^{n-1} \alpha_j \bar{p}_{i-1}^T [A] \bar{p}_j \quad (3.65)$$

Usando-se a equação (3.59), o primeiro termo do lado direito da equação (3.65) anula-se. Portanto, escolhendo-se \bar{p}_j tal que,

$$\bar{p}_i^T [A] \bar{p}_j = 0 \quad (3.66)$$

para $i \neq j$, então o somatório do termo na equação (3.65) também anula-se, obtendo-se:

$$\bar{p}_{i-1}^T \bar{g}_n = 0 \quad (3.67)$$

A equação (3.67) indica que o conjunto de vetores \bar{p}_i são A-conjugados.

Partindo-se da condição que os vetores $\bar{p}_0, \bar{p}_1, \dots, \bar{p}_{n-1}$ são A-conjugados, é suficiente para garantir que os mesmos são linearmente independentes. Da equação (3.66) observa-se que como \bar{p}_i é uma direção especificada,

$$\bar{p}_i \neq 0 \quad ,$$

assim o valor do gradiente na equação (3.67), é dado por:

$$\bar{g}_n = 0 \quad ,$$

onde se conclui que a função é minimizada após n pesquisas unidimensional nas direções $\bar{P}_0, \bar{P}_1, \dots, \bar{P}_{n-1}$, ou seja, o mínimo da função é localizado na n -ésima iteração, ou antes no caso em que os valores de α_i sejam zero.

A maneira como os vetores \bar{P}_i são escolhidos, é especificada como se segue, ou seja, chama-se:

$$\bar{P}_0 = -\bar{g}_0$$

então,

$$\bar{P}_{i+1} = -\bar{g}_{i+1} + \beta_i P_i, \quad i = 0, 1, 2, \dots, n-1 \quad (3.68)$$

onde os β_i 's são escalares positivo que devem ser determinados. Escolhendo-se \bar{P}_i desta forma, mostra que satisfaz a condição de A-conjugado expressa pela equação (3.66).

Para se determinar os valores dos escalares β_i 's da equação (3.66), tem-se:

$$\bar{P}_i^T [A] \bar{P}_{i+1} = 0 \quad (3.69)$$

Combinando este resultado com a equação (3.68) obtém-se:

$$\beta_i = \frac{\bar{P}_i^T [A] \bar{g}_{i+1}}{\bar{P}_i^T [A] P_i} \quad (3.70)$$

Note que os β_i 's calculados a partir da equação (3.70) requer o conhecimento explícito da matriz $[A]$. Esta informação deve ser armazenada, ocupando assim espaço e limitando o tamanho de um problema que pode ser resolvido pelo método do gradiente conjugado. Por esta razão, não se usa a equação (3.70) para determinar β_i , devendo-se escolher uma expressão que não contenha a matriz $[A]$. Esta expressão pode ser determinada através de arranjos entre as equações anteriores chegando-se à seguinte expressão:

$$\beta_i = \frac{\bar{g}_{i+1}^T \bar{g}_{i+1}}{\bar{g}_i^T \bar{g}_i} \quad (3.71)$$

Substituindo a equação (3.71) na equação (3.68), temos:

$$\bar{p}_{i+1} = -\bar{g}_{i+1} + \frac{\bar{g}_{i+1}^T \bar{g}_{i+1}}{\bar{g}_i^T \bar{g}_i} \bar{p}_i \quad (3.72)$$

Assim, o algoritmo de Fletcher-Reeves para uso com funções geral f , gera uma nova direção de pesquisa em cada iteração conforme a equação (3.72). Para tanto, requer o armazenamento de somente dois vetores, uma direção de pesquisa e um gradiente, em qualquer ponto da n -ésima iteração. Com um método de pesquisa linear adequado, cada nova direção é uma direção decrescente.

A seguir, descreve-se o algoritmo do método de Fletcher-Reeves, conforme apresentado nesta seção, ou seja:

- 1 - escolhe-se um ponto inicial \bar{X}_0 , e calcula-se o gradiente da função objetivo neste ponto, isto é,

$$\bar{g}_0 = \bar{g}(\bar{X}_0) \quad ,$$

e coloca-se o vetor de pesquisa inicial,

$$\bar{P}_0 = -\bar{g}_0 \quad ;$$

- 2 - realiza-se uma pesquisa linear ao longo da direção especificada \bar{P}_i , para se encontrar um novo ponto de pesquisa \bar{X}_{i+1} que é igual à posição de mínimo de $f(\bar{X})$ na linha através de \bar{X}_i na direção especificada \bar{P}_i ;
- 3 - calcula-se o gradiente no ponto \bar{X}_{i+1} , ou seja,

$$\bar{g}_{i+1} = \bar{g}(\bar{X}_{i+1}) \quad ;$$

- 4 - calcula-se o escalar β_i , conforme a equação (3.71);
- 5 - calcula-se a nova direção de pesquisa, conforme a equação (3.72);
- 6 - a partir de (5) atualiza-se o ponto de pesquisa \bar{X} , calcula-se o gradiente \bar{g} até que o mínimo da função seja localizado ou então até que o número de iterações máximo seja atingido.

O algoritmo descrito, requer atenção especial na pesquisa linear para localizar cada novo ponto \bar{X}_{i+1} , conforme indicado em 2.

4. OTIMIZAÇÃO DE UM SISTEMA DE MEDIÇÃO

INTRODUÇÃO:

A otimização do sistema de medição é feita de tal maneira que se obtenha uma ótima resposta ao degrau. Desta forma, procura-se ajustar iterativamente alguns parâmetros do sistema de medição até que os valores ótimos destes parâmetros sejam encontrados. Isto requer o conhecimento do modelo do divisor de potencial resistivo, que será apresentado neste capítulo. Em seguida, ilustra-se a teoria geral para o projeto de circuitos de estrutura fixa pela otimização dos valores dos parâmetros do circuito, a fim de que seja empregada na otimização dos parâmetros do sistema de medição.

4.1 Modelo do Divisor de Tensão Resistivo

Um trabalho desenvolvido anteriormente pelo Grupo de Alta-Tensão da Universidade Federal da Paraíba - Campus II (17) propôs um modelo para o divisor resistivo, considerando todos os efeitos parasitas.

A distribuição de capacitâncias parasitas baseia-se no cálculo do campo eletrostático do divisor de tensão de impulso.

4.1.1 Circuito Equivalente

Na determinação do circuito equivalente do divisor, supõe-se que todos os componentes internos deste sejam corretamente representados, bem como a distribuição de capacitâncias parasitas ao longo da coluna do divisor e do eletrodo de blindagem.

Um circuito equivalente para as capacitâncias parasitas de divisores de potencial resistivo encontra-se descrito na referência [17]. A distribuição de capacitâncias parasitas é representada neste circuito por capacitâncias paralelas C_S , iguais, entre os vários nós ao longo do ramo de A.T., entre os nós e terra C_{L_i} , entre os nós e o terminal de alta-tensão C_{M_i} , e a capacitância entre o eletrodo de blindagem e terra C_{K_G} . Os elementos como resistências, capacitâncias e indutâncias que constituem o divisor físico e sua estrutura são uniformemente distribuídos ao longo da coluna do divisor. A fig. 4.1 mostra o circuito equivalente do divisor de potencial resistivo.

A condição para que o circuito equivalente do divisor esteja representado corretamente é feita através da resposta degrau do divisor, isto é, a resposta degrau calculada e medida devem ser idênticas.

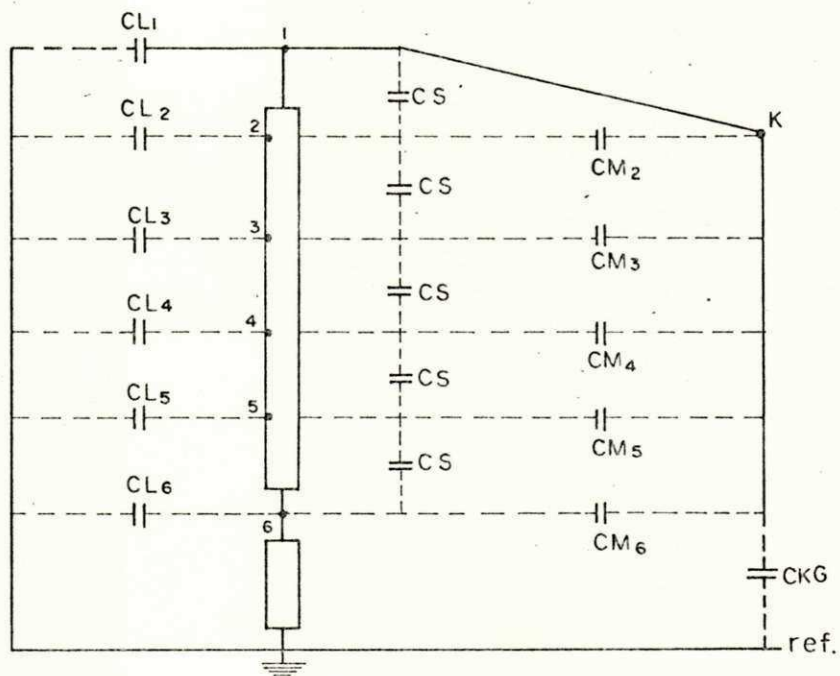
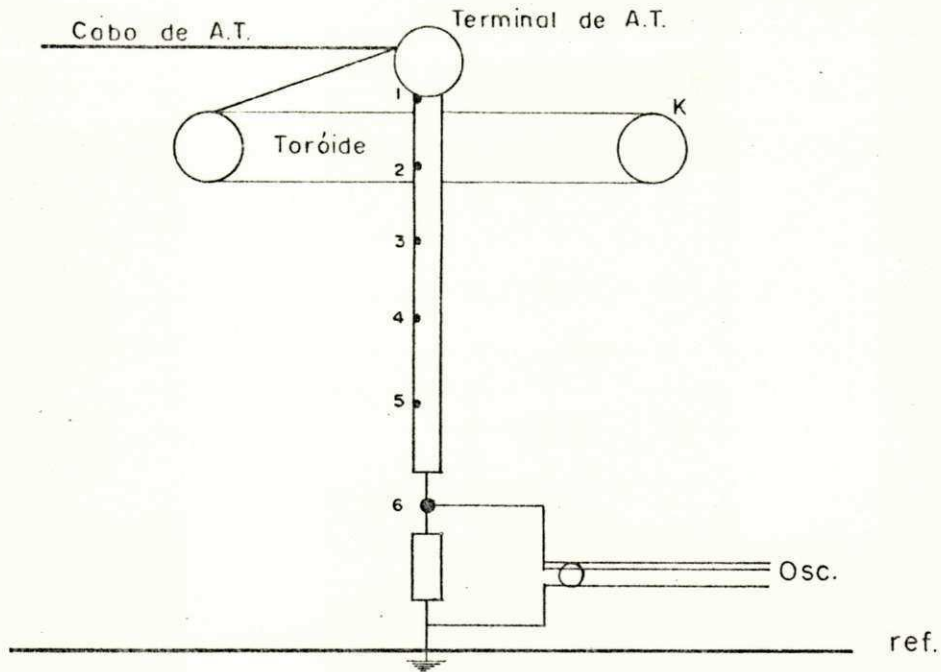


Fig. 4.1— Divisor de potencial resistivo sem resistência de amortecimento e seu circuito equivalente.

4.1.2 Cálculo das Capacitâncias Parasitas

O cálculo das capacitâncias parasitas do divisor é feito, a partir do circuito equivalente do divisor físico. Este cálculo baseia-se na determinação do campo eletrostático ao longo da coluna do divisor. Os nós ao longo do ramo de alta-tensão 1,2,3, ... do circuito equivalente representam os pontos do divisor no espaço 1,2,3, ... e o nó de referência representa o plano de terra. Para que a estrutura do divisor físico corresponda ao circuito equivalente, é necessário que os potenciais ao longo da coluna do divisor sejam iguais as tensões dos nós correspondentes do circuito equivalente. Os pontos espaciais são escolhidos em intervalo iguais ao longo da coluna do divisor. Por conseguinte, a resistência e a indutância total do ramo de alta-tensão devem ser uniformemente distribuídos entre os nós do circuito equivalente. Com isto, a resposta do circuito equivalente deve ser idêntica à resposta medida do divisor na frequência zero e infinita, ou seja, a resposta do divisor na frequência zero é determinada pelas resistências do divisor e na frequência infinita pelas capacitâncias [17].

Supondo-se que o enrolamento resistivo foi retirado da coluna isolante e a resistência de baixa-tensão removida, então a estrutura resultante e seu circuito equivalente são mostradas na fig. 4.2. Observa-se que as capacitâncias parasitas são devido principalmente ao eletrodo de alta-tensão, a coluna isolante e o plano de terra. Portanto,

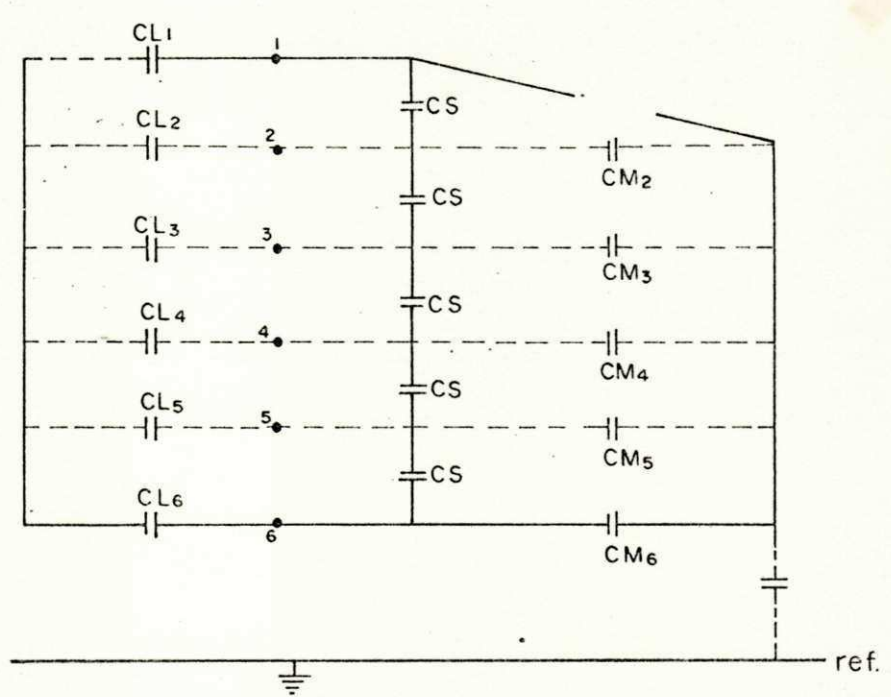
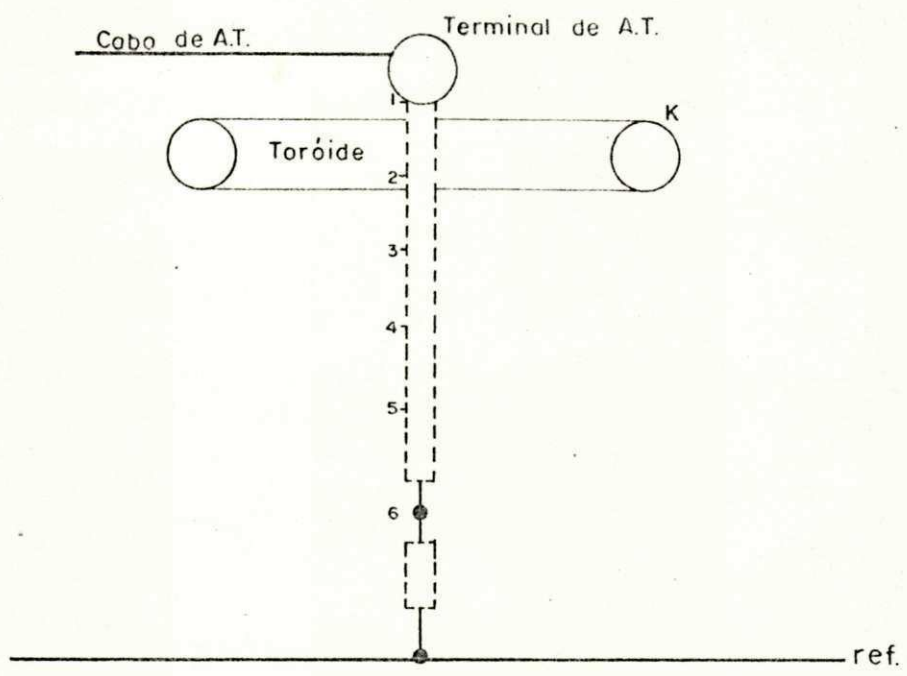


Fig. 4.2 - Divisor sem o enrolamento resistivo e o circuito equivalente para capacitâncias parasitas.

os parâmetros do circuito equivalente de capacitâncias parasitas são escolhidos, tais que:

- a capacitância total de entrada C_T do circuito equivalente é igual à capacitância de entrada do divisor;
- a distribuição de potencial eletrostático ao longo da coluna do divisor é igual à distribuição de tensão capacitiva ao longo dos nós do circuito equivalente.

4.1.3 Cálculo dos Parâmetros

Considere o divisor de potencial com eletrodo de blindagem superior, e que o ramo de alta-tensão do divisor seja dividido em "m" pontos igualmente distribuídos. Inicialmente deve ser analisado o campo eletrostático do divisor e em seguida calcula-se a distribuição dos potenciais eletrostáticos dos pontos espaciais. Essa foi calculada, considerando-se primeiro o eletrodo de blindagem ligado diretamente ao terminal de alta-tensão do divisor, e em seguida o eletrodo isolado eletricamente do terminal de alta-tensão do divisor. O terminal de alta-tensão do divisor em relação ao plano de terra para ambos os casos, foi mantido em 1 volt.

4.1.3.1 Cálculo dos Parâmetros com Eletrodo de Blindagem Diretamente Ligado ao Terminal de A.T.

Com o eletrodo de blindagem ligado ao terminal de alta-tensão (fig. 4.2), considere que a distribuição de potencial eletrostático dos pontos espaciais seja v_i , e a ca-

pacitância de entrada CT_1 .

Quando o circuito equivalente é excitado por uma tensão degrau unitário, a distribuição de tensões dos nós deste deve ser idêntica à distribuição de potencial eletrostático. As equações nodais são calculadas aplicando-se a lei das correntes de Kirchhoff, isto é,

$$V_1(CL_1 + CKG) + (V_1 - V_2)CS + (V_1 - V_2)CM_2 + \dots + (V_1 - V_m)CM_m = CT_1$$

$$V_2CL_2 + (V_2 - V_1)CM_2 + (2V_2 - V_1 - V_2)CS = 0$$

·
·
·

(4.1)

$$V_{m-1}CL_{m-1} + (V_{m-1} - V_1)CM_{m-1} + (2V_{m-1} - V_{m-2} - V_m)CS = 0$$

$$V_mCL_m + (V_m - V_1)CM_m + (V_m - V_{m-1})CS = 0$$

4.1.3.2 Cálculo dos Parâmetros com Eletrodo

Isolado Eletricamente

Com o eletrodo de blindagem isolado, considere que a distribuição de potencial eletrostático dos pontos espaciais seja e_i , a capacitância de entrada CT_2 , e o potencial flutuante do eletrodo de blindagem e_k . A fig. 4.3 mostra a estrutura do divisor e seu circuito equivalente para capacitâncias parasitas. Quando o circuito é excitado por uma tensão degrau unitário, as equações dos nós são dadas por:

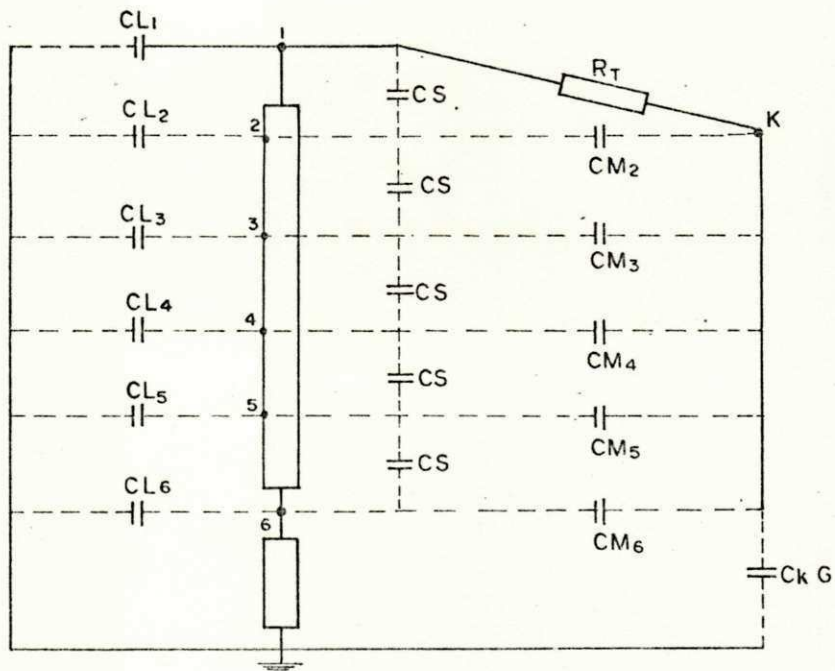
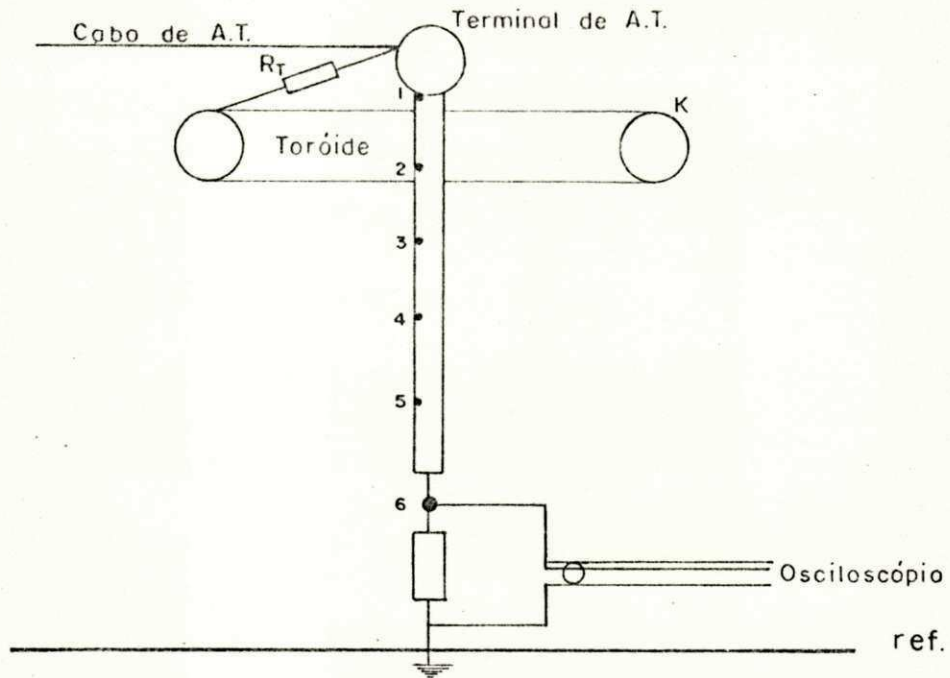


Fig. 4.3 - Divisor com resistência de amortecimento e circuito equivalente.

$$\begin{aligned}
 e_k CKG + (e_k - e_2) CM_2 + \dots + (e_k - e_m) CM_m &= 0 \\
 e_1 CL_1 + (e_1 - e_2) CS &= CT_2 \\
 &\vdots \\
 &\vdots \\
 e_{m-1} CL_{m-1} + (e_{m-1} - e_k) CM_{m-1} + (2e_{m-1} - e_{m-2} - e_m) CS &= 0 \\
 e_m CL_m + (e_m - e_k) CM_m + (e_m - e_{m-1}) CS &= 0
 \end{aligned}
 \tag{4.2}$$

O sistema de equações (4.1) e (4.2) são suficientes para determinar todas as capacitâncias parasitas, CS , CL_i , CM_i e CKG . Os cálculos destes parâmetros são efetuados a partir dos valores da distribuição de potenciais, v_i , e_i , do potencial flutuante do toróide e_k , e das capacitâncias de entrada CT_1 e CT_2 , que foram obtidas empregando-se a técnica de simulação de cargas, a qual também pode ser utilizada para determinar as capacitâncias parasitas.

4.2 Otimização de um Circuito Elétrico

A teoria geral para o projeto de circuito de estrutura fixa é feita através da escolha ótima dos elementos do circuito para uma dada configuração. Este problema pode ser resolvido por meio de técnicas de otimização dos elementos do circuito [18].

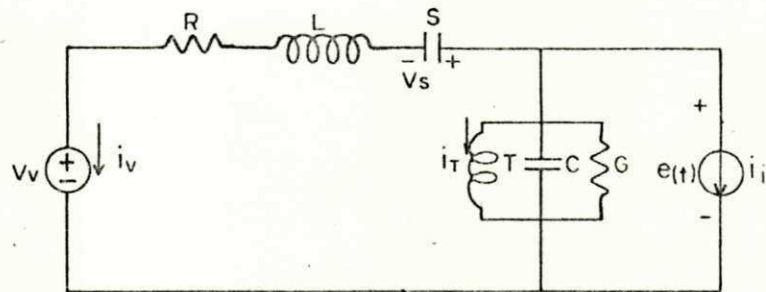
Considere um simples projeto de circuito de estrutura fixa mostrada na fig. 4.4, em que a teoria é ilustrada pela otimização dos valores dos parâmetros. Os parâmetros va

riáveis para este tipo de problema são os valores dos elementos: resistência R, indutância L, elastância S, indutância recíproca T, capacitância C e condutância G.

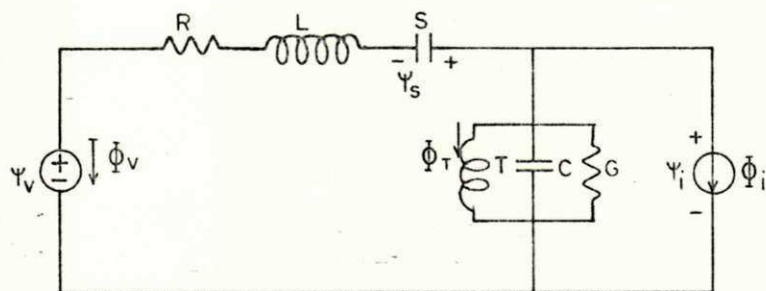
Na solução deste problema, suponha que uma dada função de excitação seja aplicada nos terminais do circuito da fig. 4.4. Obtêm-se as funções respostas associadas com as fontes de excitação. Ou seja, qualquer ramo de corrente ou ramo de tensão pode ser considerado como sendo a resposta associada com uma fonte de tensão ou fonte de corrente, de valor zero, respectivamente. Supondo-se que a tensão assumirá valores diferentes dos desejados, define-se então, uma funcional de desempenho,

$$E(R,L,S,T,C,G) = \frac{1}{2} \int_{t_0}^t [e(t) - \hat{e}(t)]^2 dt \quad (4.3)$$

a qual \hat{e} é uma medida do erro entre a tensão obtida $e(t)$, e a tensão desejada $\hat{e}(t)$. Os elementos R,L,S,T,C e G do circuito são os parâmetros a serem otimizados. O objetivo é ajustar iterativamente esses parâmetros até que o erro da funcional seja minimizado. O limite superior da integral é o instante de tempo conveniente, até o qual é requerido que a tensão fornecida pelo circuito aproxima-se tanto quanto possível da tensão desejada $\hat{e}(t)$. As seguintes equações de estado governam o comportamento do circuito no domínio do tempo:



a) - Valores reais.



b) - Excitação do erro.

Fig. 4.4 - Circuito equivalente de uma rede de estrutura fixa, linear e invariante no tempo.

$$\begin{aligned}
 Ri_v(t) + Li_v(t) + v_s(t) - e(t) &= 0 \\
 Si_v(t) - \dot{v}_s(t) &= 0 \\
 Ge_i(t) + Ce_i(t) + i_T(t) + i_v(t) &= 0 \\
 Te_i(t) - \dot{i}_T(t) &= 0
 \end{aligned} \tag{4.4}$$

Essas equações (4.4) constituem os meios para a minimização da funcional da equação (4.3).

No cálculo de variações, existe um teorema o qual estabelece que: considere que $(R_0, L_0, S_0, T_0, C_0, G_0)$ são os valores dos parâmetros para os quais a funcional $E(R, L, S, T, C, G)$ tem um mínimo local. Então existem funções $\lambda_v(t)$, $\lambda_s(t)$, $\lambda_e(t)$ e $\lambda_T(t)$ (multiplicadores de Lagrange) para os quais a funcional \bar{E} também tem um mínimo para os valores dos parâmetros $(R_0, L_0, S_0, T_0, C_0, G_0)$, sendo:

$$\begin{aligned}
 \bar{E}(R, L, S, T, C, G) = \int_0^t & \left\{ \frac{1}{2} (e(t) - \hat{e}(t))^2 + \lambda_v(t) [Ri_v(t) + \right. \\
 & + Li_v(t) + v_s(t) - e(t)] + \lambda_s(t) [Si_v(t) \\
 & - \dot{v}_s(t)] + \lambda_i(t) [Ge(t) + Ce(t) + \\
 & \left. + i_T(t) + i_v(t)] + \lambda_T(t) [Te(t) - \dot{i}_T(t)] \right\} dt
 \end{aligned} \tag{4.5}$$

Assim, o problema de minimização da equação (4.3) sujeita às equações (4.4), converte-se na minimização de (4.5) sem quaisquer condições. A funcional \bar{E} é chamada de "funcional de desempenho aumentada".

Por uma integração por parte, a função de desempenho aumentada torna-se:

$$\begin{aligned}
 \bar{E}(R, L, S, T, C, G) = & \int_0^{t_f} i_v(t) \lambda_v(t) dt - \int_0^{t_f} v_s(t) \lambda_s(t) dt + \int_0^{t_f} C e(t) \lambda_i(t) dt \\
 & - \int_0^{t_f} i_T(t) \lambda_T(t) dt + \int_0^{t_f} \frac{1}{2} (e(t) - \bar{e}(t))^2 dt \\
 & + \int_0^{t_f} i_v(t) [R \lambda_v(t) - L \dot{\lambda}_v(t) + S \lambda_s(t) + \lambda_i(t)] dt \\
 & + \int_0^{t_f} v_s(t) [\lambda_v(t) + \dot{\lambda}_s(t)] dt \\
 & + \int_0^{t_f} e(t) [-\lambda_v(t) + G \lambda_i(t) - C \dot{\lambda}_i(t) + T \lambda_T(t)] dt \\
 & + \int_0^{t_f} i_T(t) [\lambda_i(t) + \dot{\lambda}_T(t)] dt
 \end{aligned}
 \tag{4.6}$$

Diferenciando a equação (4.6), obtemos a primeira variação de \bar{E} :

$$\begin{aligned}
\delta \bar{E} = & L \delta i_V(t) \lambda_V(t) \Big|_0^{t_f} - \delta v_S(t) \lambda_S(t) \Big|_0^{t_f} + C \delta e(t) \lambda_i(t) \Big|_0^{t_f} \\
& - \delta i_T(t) \lambda_T(t) \Big|_0^{t_f} + \int_0^{t_f} \{ \delta e(t) (e(t) - \bar{e}(t)) - \lambda_V(t) \\
& + G \lambda_i(t) - C \dot{\lambda}_i(t) + T \lambda_T(t) \} + \delta i_T(t) [\lambda_i(t) + \\
& + \dot{\lambda}_T(t)] + \delta i_V(t) [R \lambda_V(t) - L \dot{\lambda}_V(t) + S \lambda_S(t) + \lambda_i(t)] \\
& + \delta v_S(t) [\lambda_V(t) + \dot{\lambda}_S(t)] \} dt + \delta L [i_V(t) \lambda_V(t) \Big|_0^t - \\
& \int_0^t i_V(t) \dot{\lambda}_V(t) dt] + \delta R \int_0^t i_V(t) \lambda_V(t) dt + \delta S \int_0^t i_V(t) \lambda_S(t) dt \\
& + \delta G \int_0^{t_f} e(t) \lambda_i(t) dt + \delta C \{ e(t) \lambda_i(t) \Big|_0^{t_f} - \int_0^{t_f} e(t) \dot{\lambda}_i(t) dt \} \\
& + \delta T \int_0^{t_f} e(t) \lambda_T(t) dt
\end{aligned}$$

$$\begin{aligned}
L[\lambda_V(t_f)\delta i_V(t_f) - \lambda_V(0)\delta i_V(0)] &= 0 \\
C[\lambda_i(t_f)\delta e(t_f) - \lambda_i(0)\delta e(0)] &= 0 \\
-[\lambda_S(t_f)\delta V_S(t_f) - \lambda_S(0)\delta V_S(0)] &= 0 \\
-[\lambda_T(t_f)\delta i_T(t_f) - \lambda_T(0)\delta i_T(0)] &= 0
\end{aligned} \tag{4.8}$$

$$e - \bar{e} - \lambda_V + G\lambda_i - C\dot{\lambda}_i + T\lambda_T = 0$$

$$R\lambda_V - L\dot{\lambda}_V + S\lambda_S + \lambda_i = 0$$

$$\lambda_V + \dot{\lambda}_S = 0$$

$$\lambda_T + \lambda_i = 0 \tag{4.9}$$

As equações (4.8) são conhecidas como condições de "transversabilidade". Observa-se que as variáveis de estado são ou correntes indutivas ou tensões capacitivas. Essas não podem variar impulsivamente o que implica em suas derivadas primeiras serem todas iguais a zero no instante $t=0$. Como resultado as condições de transversabilidade fornecem:

$$\lambda_v(t_f) = 0$$

$$\lambda_i(t_f) = 0$$

$$\lambda_s(t_f) = 0$$

$$\lambda_T(t_f) = 0 \tag{4.10}$$

As equações (4.9) são conhecidas como equações diferenciais adjuntas de Euler. Essas equações podem ser modificadas usando-se $\xi = t_f - t$. Esta transformação tem o efeito de tornar o tempo reverso, isto é, $\xi = t_0$ quando $t = t_f$ e $\xi = t_f$ quando $t = t_0$. Fazendo a correspondência dessas equações, temos:

$$\phi_v(\xi) = \lambda_v(t_f - \xi)$$

$$\psi_s(\xi) = S\lambda_s(t_f - \xi)$$

$$\psi_i(\xi) = -\lambda_i(t_f - \xi)$$

$$\phi_T(\xi) = -T\lambda_T(t_f - \xi) \tag{4.11}$$

$$\phi_i(\xi) = -(e(t) - \hat{e}(t)) = - [e(t_f - \xi) - \hat{e}(t_f - \xi)]$$

Com essas transformações as equações (4.9) tornam-se:

$$R\phi_v(\xi) + L\dot{\phi}_v(\xi) + \psi_s(\xi) - \psi_i(\xi) = 0$$

$$S\phi_v(\xi) - \dot{\psi}_s(\xi) = 0$$

$$G\psi_i(\xi) + C\dot{\psi}_i(\xi) + \phi_T(\xi) + \phi_v(\xi) = 0$$

$$T\psi_i(\xi) - \dot{\phi}_T(\xi) = 0 \quad (4.12)$$

sujeitas às condições (4.11), as quais tornam-se:

$$\phi_v = \psi_s = \psi_i = \phi_T = \phi_i = 0 \quad (4.13)$$

Essas equações modificadas coincidem exatamente com as equações (4.4), as únicas diferenças sendo o tempo reverso e a excitação do erro dado por,

$$\phi_i(\xi) = - [e(t_f - \xi) - \bar{e}(t_f - \xi)] \quad (4.14)$$

Sendo as condições de transversabilidade (equações 4.6) e as equações diferenciais adjuntas (equações 4.7) satisfeitas, obtêm-se:

$$\begin{aligned}
\delta \hat{E} = & \delta R \int_0^{t_f} i_v(t) \lambda_v(t) dt + \delta S \int_0^{t_f} i_v(t) \lambda_s(t) dt \\
& + \delta G \int_0^{t_f} v_i(t) \lambda_i(t) dt + \delta C \int_0^{t_f} v_i(t) \dot{\lambda}_i(t) dt \\
& + \delta T \int_0^{t_f} v_i(t) \lambda_T(t) dt \\
& + \delta L \int_0^{t_f} i_v(t) \dot{\lambda}_v(t) dt
\end{aligned}$$

Substituindo-se as equações (4.11) na equação anterior, tem-se:

$$\begin{aligned}
\delta \hat{E} = & \delta R \int_0^{t_f} i_v(t_f - \xi) \lambda_v(t_f - \xi) d\xi \\
& + \delta S \int_0^{t_f} i_v(t_f - \xi) \lambda_s(t_f - \xi) d\xi \\
& + \delta G \int_0^{t_f} v_i(t_f - \xi) \lambda_i(t_f - \xi) d\xi \\
& + \delta C \int_0^{t_f} v_i(t_f - \xi) \lambda_i(t_f - \xi) d\xi \\
& + \delta T \int_0^{t_f} v_i(t_f - \xi) \lambda_T(t_f - \xi) d\xi \\
& + \delta L \int_0^{t_f} i_v(t_f - \xi) \lambda_v(t_f - \xi) d\xi
\end{aligned} \tag{4.15}$$

O gradiente da função desempenho \bar{E} aumentada, com respeito aos parâmetros da relação segue de:

$$\begin{aligned} \delta \bar{E} &= \frac{\partial \bar{E}}{\partial R} \delta R + \frac{\partial \bar{E}}{\partial S} \delta S + \frac{\partial \bar{E}}{\partial G} \delta G + \frac{\partial \bar{E}}{\partial C} \delta C + \frac{\partial \bar{E}}{\partial T} \delta T \\ &= [\bar{\nabla} \bar{E}] \cdot [\Delta \bar{X}] \end{aligned} \quad (4.16)$$

Comparando-se a equação (4.15) à equação (4.13) obtêm-se a seguinte equação para o gradiente não normalizado:

$$|\bar{g}| = \bar{\nabla} \bar{E} = \begin{bmatrix} \beta_R \\ \beta_S \\ \beta_G \\ \beta_C \\ \beta_T \\ \beta_L \end{bmatrix} = \int_0^{t_f} \begin{bmatrix} i_V(t_f - \xi) \phi_V(\xi) \\ i_V(t_f - \xi) \frac{1}{S} \psi_S(\xi) \\ -v_i(t_f - \xi) \psi_i(\xi) \\ -\dot{v}_i(t_f - \xi) \psi_i(\xi) \\ -v_i(t_f - \xi) \frac{1}{T} \phi_T(\xi) \\ \dot{i}_V(t_f - \xi) \phi_V(\xi) \end{bmatrix} d\xi \quad (4.17)$$

O gradiente normalizado será obtido a partir da equação a seguir:

$$|\bar{g}_n| = \frac{1}{|\nabla \bar{E}|} \begin{bmatrix} \beta_R \\ \beta_S \\ \beta_G \\ \beta_C \\ \beta_T \\ \beta_L \end{bmatrix} = \begin{bmatrix} \beta_{Rn} \\ \beta_{Sn} \\ \beta_{Gn} \\ \beta_{Cn} \\ \beta_{Tn} \\ \beta_{Ln} \end{bmatrix} \quad (4.18)$$

Conhecendo-se o gradiente normalizado de \bar{E} , com relação aos seus parâmetros, permite-nos em seguida aplicar uma técnica de otimização dos valores dos parâmetros para obtenção do seu mínimo. Para tanto, isto pode ser conseguido empregando-se a técnica de Fletcher-Reeves descrita no capítulo anterior.

4.2.1 Algoritmo do Método de Otimização

Os passos a serem seguidos na aplicação do método de otimização ao circuito da fig. 4.4a, são dados, conforme discutido na seção anterior.

- 1 - Escolha dos valores iniciais dos parâmetros, isto é, \bar{X}_0 (R_0, L_0, S_0, T_0, C_0 e G_0). Deve-se crescer os elementos a partir de pequenos valores. Assim, o valor inicial de todos os parâmetros deve ser da ordem de 10^{-4} .

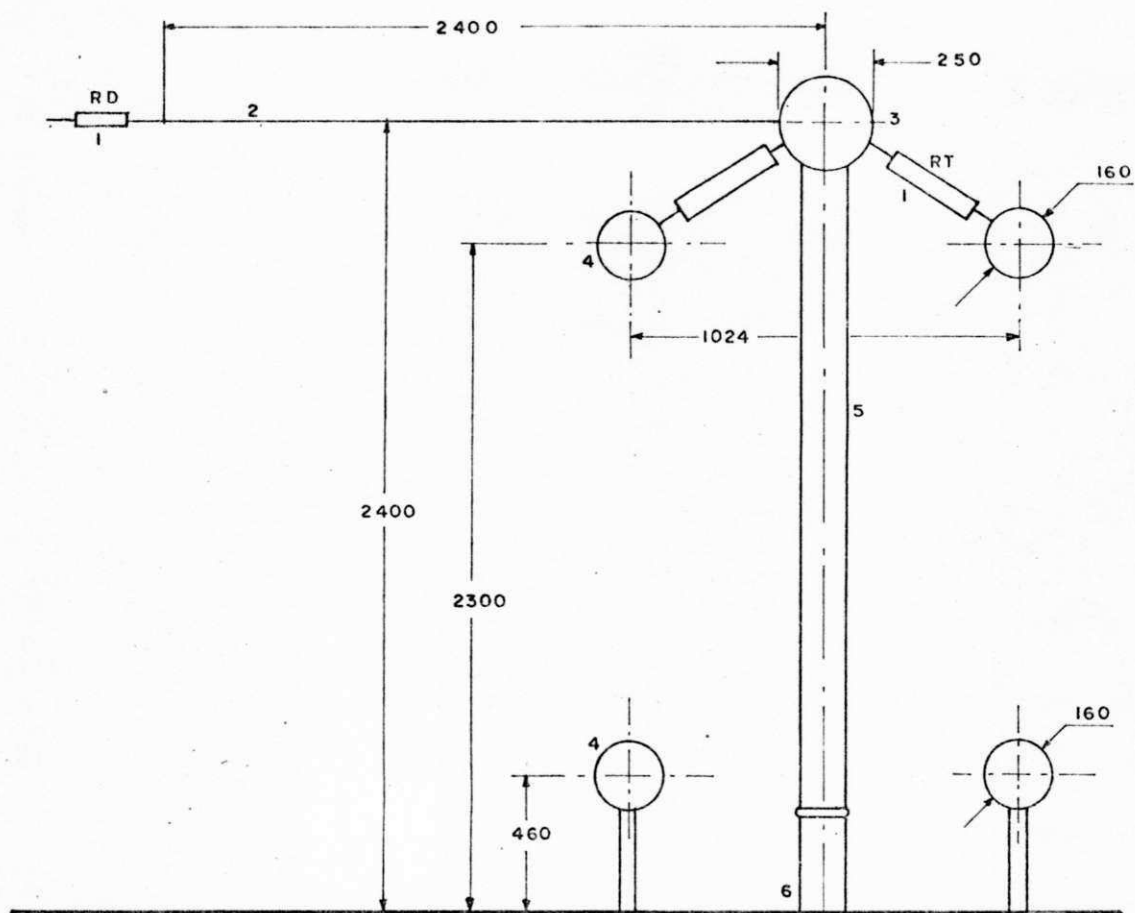
- 2 - Analise o circuito da fig. 4.4a para obtenção das respostas $e(t)$, e $\hat{e}(t)$. Calcular também, a funcional de desempenho $E(\bar{X})$.
- 3 - Cálculo dos gradientes:
- formar as respostas no tempo reverso:
 $e(t-\xi)$, $\hat{e}(t-\xi)$ para $0 \leq \xi \leq t_f$;
 - formar a excitação do erro:
 $\phi_i(\xi) = -[e(t-\xi) - \hat{e}(t-\xi)]$;
 - analisar o circuito da fig. 4.4b e obter as variáveis adjuntas:
 $\phi_V(\xi)$, $\psi_S(\xi)$, $\psi_i(\xi)$, $\phi_T(\xi)$ e $\phi_j(\xi)$;
 - calcular os gradientes não normalizados usando as equações (4.17) e a magnitude $|\bar{g}|$;
 - calcular o gradiente normalizado $|\bar{g}_n|$ usando as equações (4.18).
- 4 - Altere os valores dos elementos conforme a técnica de Fletcher-Reeves (conforme algoritmo descrito no capítulo anterior): para a 1.^a iteração executar os passos de 4.1a.d e passar para 5;
- faça o vetor de pesquisa inicial $\bar{P}_0 = \bar{g}_n$ e determine a direção do degrau decrescente;
 - conduza uma pesquisa unidimensional na direção do degrau decrescente;
 - determine as componentes de direção conjugada, conforme a equação 3.72;

- d - conduza uma pesquisa unidimensional na direção conjugada;
- 5 - Parar as iterações até que um pequeno erro da funcional de desempenho seja aceitável, ou seja, a funcional de desempenho atinja um valor mínimo, ou as mudanças dos valores dos parâmetros atinja um valor mínimo pré-determinado ou ainda o número de iterações tenha sido completado. Caso contrário retorne ao passo 2.

4.3 Otimização do Sistema de Medição

Considerando o sistema de medição da fig. 4.5, consistindo de um divisor de potencial resistivo, cabo de alta tensão, resistências de amortecimento, cabos de medição de baixa-tensão, osciloscópio, circuito de retorno para terra, e eletrodos de blindagem, faz-se necessário que se obtenha o circuito equivalente do sistema de medição a fim de se proceder no processo de otimização no qual os parâmetros do divisor são variados iterativamente até que as características de resposta deste seja a melhor possível. Este procedimento baseia-se no método de otimização empregado ao circuito elétrico da fig. 4.4, descrito na seção anterior [18].

Através de estudos feitos anteriormente [19], verificou-se que o eletrodo de blindagem tem uma forte influência na distribuição de capacitâncias parasitas e, consequentemente no desempenho do sistema de medição. A partir de então, resolveu-se tentar a obtenção de um circuito equivalen



- 1- Resistor de amortecimento.
- 2- Cabo de alta tensão,
- 3- Terminal de alta tensão.
- 4- Eletrodo de blindagem de forma toroidal.
- 5 -Ramo de alta tensão, $12,75\text{K}\Omega$, $127\mu\text{H}$.
- 6 -Ramo de baixa tensão, $4,5\Omega$, $0,3\mu\text{H}$.

Obs.: Todas as dimensões estão em mm.

Fig. 4.5 - Sistema de medição para altas tensões de impulso.

te do sistema de medição que incluísse todos os efeitos parasitas, os quais são importantes no desenvolvimento do processo iterativo.

No processo de otimização do sistema de medição, os parâmetros considerados foram as resistências de amortecimento, a geometria dos eletrodos de blindagem, e a resistência do ramo de baixa-tensão.

4.3.1 Circuito Equivalente do Sistema de Medição

Para se estabelecer o circuito equivalente do sistema de medição, as resistências de amortecimento e a resistência do ramo de baixa-tensão do divisor são representados por resistências e indutâncias residuais concentradas. O ramo de alta-tensão é dividido em várias seções iguais, ligadas em série, onde cada seção também é representada por resistências e indutâncias residuais concentradas.

O cabo de alta-tensão horizontal é representado por uma linha de transmissão normal, com a finalidade de incluir o efeito de amortecimento de reflexões das ondas viajantes, provenientes do efeito pelicular e dos circuitos de retorno para terra [19]. A fig. 4.6 mostra o circuito equivalente do sistema de medição.

No processo de otimização do sistema de medição deve-se levar em conta o circuito equivalente para capacitâncias parasitas, descrito na seção (4.2), bem como o cálculo da distribuição de potencial descrito no capítulo 3 e capacitâncias de entrada. Utilizando o conjunto de equações forne-

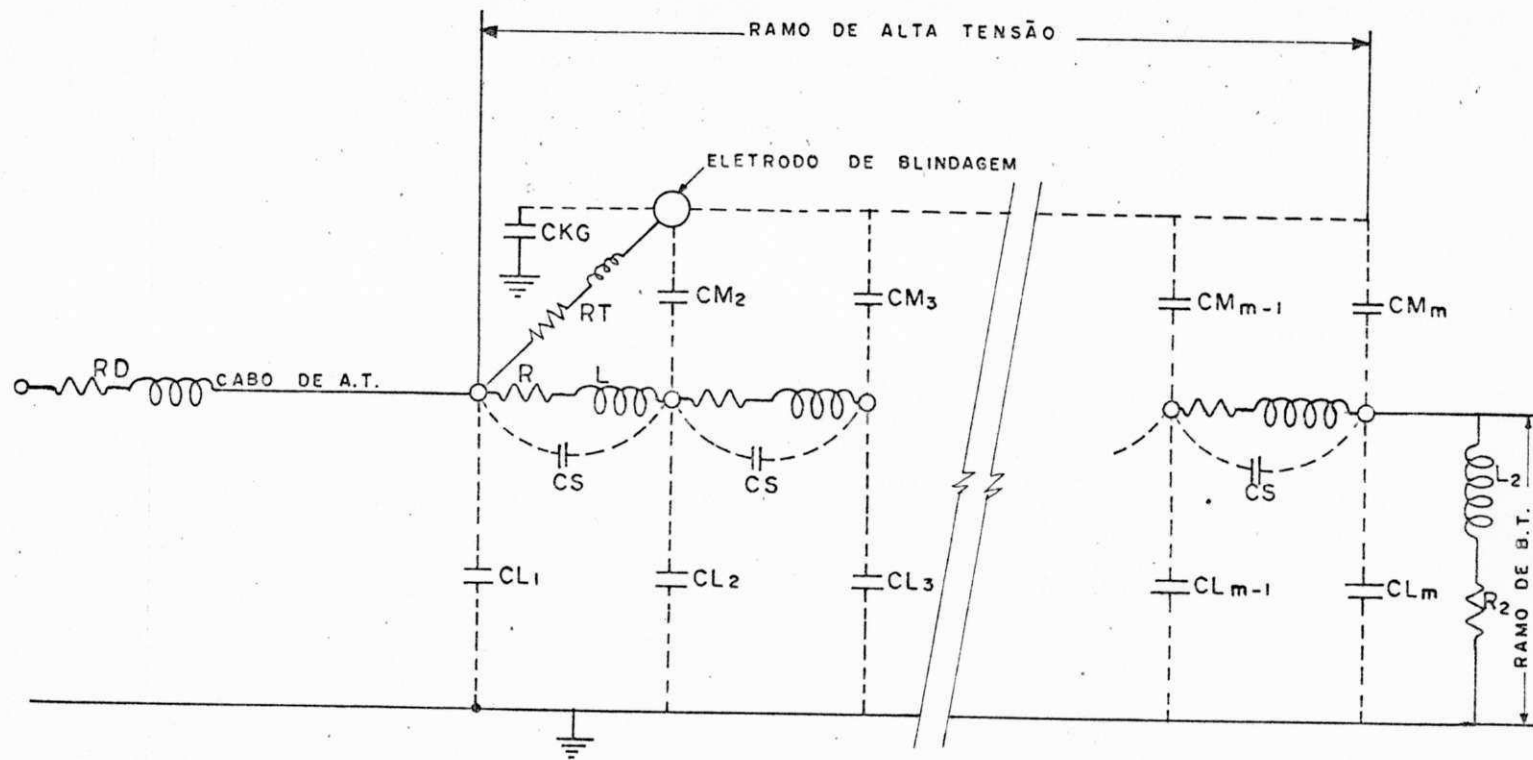


Fig. 4.6 - Circuito equivalente para o sistema de medição.

cidas pela técnica de simulação de cargas (equação 3.2), foram considerados os casos para:

a) eletrodo de blindagem ligado ao terminal de alta-tensão:

$$\begin{bmatrix} [A_{11}] & [A_{12}] \\ [A_{21}] & [A_{22}] \end{bmatrix} \cdot \begin{bmatrix} [q_a] \\ [q_b] \end{bmatrix} = \begin{bmatrix} [\ell_1] \\ [\ell_2] \end{bmatrix} \quad (4.19a)$$

b) eletrodo flutuando:

$$\begin{bmatrix} [A_{11}] & [A_{12}] & -[\ell_1] \\ [A_{21}] & [A_{22}] & [0] \\ [\ell_1]^t & 0 & [0] \end{bmatrix} \cdot \begin{bmatrix} [Q_a] \\ [Q_b] \\ e_k \end{bmatrix} = \begin{bmatrix} [0] \\ [\ell_2] \\ 0 \end{bmatrix} \quad (4.19b)$$

Sendo $([q_a], [Q_a])$ e $([q_b], [Q_b])$ as cargas simuladas dentro do eletrodo de blindagem e terminal de alta-tensão, respectivamente. Os vetores $([\ell_1], [\ell_2])$ são os potenciais do contorno. A solução destas equações resulta na magnitude das cargas fictícias as quais são utilizadas no cálculo do campo elétrico.

As distribuições de potencial eletrostático e as capacitâncias de entrada também são dadas por:

$$[V] = \begin{bmatrix} [B_a] & [B_b] \end{bmatrix} \cdot \begin{bmatrix} [q_a] \\ [q_b] \end{bmatrix} \quad (4.20a)$$

$$[e] = \begin{bmatrix} [B_a] & [B_b] \end{bmatrix} \cdot \begin{bmatrix} [Q_a] \\ [Q_b] \end{bmatrix} \quad (4.20b)$$

$$CT_1 = [\ell_1]^t \cdot [q_a] + [\ell_2]^t \cdot [q_b] \quad (4.21a)$$

$$CT_2 = [\ell_2]^t \cdot [Q_b] \quad (4.21b)$$

onde A e B são as matrizes de coeficientes de potencial, $|v|$ e $|e|$ as distribuições de potencial eletrostático considerando-se os casos a) e b).

4.3.2 Resposta do Sistema de Medição

A exatidão de uma medição de tensão de impulso pode ser avaliada por alguma forma de resposta generalizada do sistema de medição. O tipo de resposta que tem sido escolhido para sistemas de medição de impulso é a resposta ao degrau unitário. Entretanto, no processo de otimização, a resposta rampa é a mais adequada porque possibilita uma melhor análise do comportamento do sistema de medição.

Considere uma tensão degrau unitário $\bar{x}_m(t)$ aplicada aos terminais do circuito equivalente da fig. 4.6. As equações de rede para este circuito podem ser estabelecidas para uma dada excitação, e essas equações são da forma:

$$[Y] \cdot [\dot{X}] = [B] \cdot [X] \quad (4.22)$$

onde $[\bar{X}]$ é o vetor das variáveis da rede. Um dos elementos deste vetor é a resposta $x_m(t)$. A resposta ideal deverá ser idêntica à excitação aplicada retardada pelos tempos de trânsito do cabo de alta-tensão e do cabo de medição.

Uma medida do desvio da resposta real para a resposta ideal é a funcional erro F , onde:

$$F = \int_0^{t_f} (1/2) \cdot (x_m(t) - \bar{x}_m(t))^2 \cdot dt \quad (4.23)$$

Sendo $x_m(t)$ a resposta obtida (ou real) e $\bar{x}_m(t)$ a resposta desejada (ou ideal). O cálculo do gradiente da funcional erro com relação aos parâmetros do circuito equivalente da Fig. 4.6, é equivalente à aplicação feita ao circuito elétrico da Fig. 4.4, descrito na seção anterior. Considerando-se que somente as capacitâncias parasitas e as resistências de amortecimento são os parâmetros variáveis, tem-se:

$$\delta F = [G_C]^t \cdot [\delta C] + G_{RD} \cdot \delta RD + G_{RT} \cdot \delta RT \quad (4.24)$$

onde $[C]$ é o vetor de capacitâncias parasitas, $[G_C]$ é o gradiente de F em relação a $[C]$, e RD , RT , são as resistências

de amortecimento (fig. 4.5). O vetor linha de capacitâncias parasitas neste caso é dado por:

$$[C]^t = [CKG, CS, CL_1, CL_2, \dots, CL_m, CM_2, CM_3, \dots, CM_m]$$

e o vetor gradiente correspondente dado por:

$$[G_C]^t = [G_{CKG}, G_{CS}, G_{CL_1}, \dots, G_{CL_m}, G_{CM_2}, \dots, G_{CM_m}]$$

4.3.3 Procedimento Iterativo

O procedimento iterativo para o sistema de medição pode ser estabelecido da seguinte maneira, necessita-se obter a geometria do eletrodo de blindagem e as resistências de amortecimento as quais minimizaria a funcional erro F da equação (4.23), submetida às restrições impostas pelas equações (4.1) a (4.2), (4.19) a (4.21) e (4.22).

As restrições acima citadas podem ser anexadas ao critério de otimização (4.23) por meio dos vetores multiplicadores de Lagrange, para se obter a funcional de desempenho aumentada dada por:

$$F = \int_0^{TN} \left\{ (1/2) \cdot (x_m - \bar{x}_m)^2 + |\mu|^t \cdot (|Y| \cdot |\dot{x}| - |B| \cdot |x|) \right\} \cdot dt$$

$$+ |\alpha_1|^t \cdot \{ |A_{11}| \cdot |q_a| + |A_{12}| \cdot |q_b| - |e_1| \}$$

$$+ |\alpha_2|^t \cdot \{ |A_{21}| \cdot |q_a| + |A_{22}| \cdot |q_b| - |e_2| \}$$

$$\begin{aligned}
& + |\beta_1|^t \cdot \{ |A_{11}| \cdot |Q_a| + |A_{12}| \cdot |Q_b| - e_k \cdot |\lambda_1| \} \\
& + |\beta_2|^t \cdot \{ |A_{21}| \cdot |Q_a| + |A_{22}| \cdot |Q_b| - |\lambda_2| \} \\
& + \beta_0 \cdot \{ |\lambda_1|^t \cdot |Q_a| \} \\
& + |\gamma|^t \cdot \{ |B_a| \cdot |q_a| + |B_b| \cdot |q_b| - |v| \} \\
& + |\delta|^t \cdot \{ |B_a| \cdot |Q_a| + |B_b| \cdot |Q_b| - |e| \} \\
& + \theta_1 \cdot \{ v_1 \cdot (CL_1 + CKG) + (v_1 - v_2) \cdot CS + \sum_{i=2}^m (v_1 - v_i) \cdot CM_i \\
& \quad - |\lambda_1|^t \cdot |q_a| - |\lambda_2|^t \cdot |q_b| \} \\
& + \sum_{i=2}^{m-1} \theta_i \cdot \{ v_i \cdot CL_i + (v_i - v_1) \cdot CM_i + (2v_i - v_{i-1} - v_{i+1}) \cdot CS \} \\
& + \theta_m \cdot \{ v_m \cdot CL_m + (v_m - v_1) \cdot CM_m + (v_m - v_{m-1}) \cdot CS \} \\
& + \epsilon_k \cdot \{ e_k \cdot CKG + \sum_{i=2}^m (e_k - e_i) \cdot CM_i \} \\
& + \epsilon_1 \cdot \{ e_1 \cdot CL_1 + (e_1 - e_2) \cdot CS - |\lambda_2|^t \cdot |Q_b| \} \\
& + \sum_{i=2}^{m-1} \epsilon_i \cdot \{ e_i \cdot CL_i + (e_i - e_k) \cdot CM_i + (2e_i - e_{i-1} - e_{i+1}) \cdot CS \} \\
& + \epsilon_m \cdot \{ e_m \cdot CL_m + (e_m - e_k) \cdot CM_m + (e_m - e_{m-1}) \cdot CS \}
\end{aligned}$$

(4.25)

Assim, o problema de minimização de (4.23) sujeita às equações (4.1) a (4.2), (4.19 a (4.21) e (4.22), transforma-se na minimização de (4.25) sem quaisquer condições. As funções μ_i , α_i , β_i , γ_i , δ_i , ϵ_i e θ_i são as funções multiplicadores de Lagrange.

Uma variação infinitesimal na matriz $[A]$ de $[A]$ para $[A] + [\delta A]$, corresponde a uma variação infinitesimal no perfil. Esta variação é acompanhada por uma mudança nas variações da carga de $[q]$ para $[q] + [\delta q]$. Assumindo-se que as posições das cargas fictícias não mudam, a matriz $[B]$ permanece a mesma. A primeira variação da funcional de desempenho aumentada é dada como sendo:

$$\begin{aligned} \delta F = & G_{RD} \cdot \delta RD + G_{RT} \cdot \delta RT + |G_c|^t \cdot |\delta C| \\ & + |\alpha_1|^t \cdot \{ |\delta A_{11}| \cdot |q_a| + |\delta A_{12}| \cdot |q_b| \} \\ & + |\alpha_2|^t \cdot \{ |\delta A_{21}| \cdot |q_a| + |\delta A_{22}| \cdot |q_b| \} \\ & + |\beta_1|^t \cdot \{ |\delta A_{11}| \cdot |Q_a| + |\delta A_{12}| \cdot |Q_b| \} \\ & + |\beta_2|^t \cdot \{ |\delta A_{21}| \cdot |Q_a| + |\delta A_{22}| \cdot |Q_b| \} \\ & + \{ |A_{11}|^t \cdot |\alpha_1| + |A_{21}|^t \cdot |\alpha_2| + |B_a|^t \cdot |\gamma| - \theta_1 \cdot |\ell_1| \}^t \cdot |\delta q_a| \\ & + \{ |A_{12}|^t \cdot |\alpha_1| + |A_{22}|^t \cdot |\alpha_2| + |B_b|^t \cdot |\gamma| - \theta_1 \cdot |\ell_2| \}^t \cdot |\delta q_b| \\ & + \{ |A_{11}|^t \cdot |\beta_1| + |A_{12}|^t \cdot |\beta_2| + \beta_0 \cdot |\ell_1| + |B_a|^t \cdot |\delta| \}^t \cdot |\delta Q_a| \\ & + \{ |A_{12}|^t \cdot |\beta_1| + |A_{22}|^t \cdot |\beta_2| + |B_b|^t \cdot |\delta| - \epsilon_1 \cdot |\ell_2| \}^t \cdot |\delta Q_b| \end{aligned}$$

$$\begin{aligned}
& + \{-|\alpha_1|^t \cdot |\beta_1| + e_k \cdot CKG + \sum_{i=2}^m (e_k - e_i) \cdot CM_i\} \cdot \delta e_k \\
& + \sum_{i=2}^{m-1} \{-\delta_i + \epsilon_i \cdot CL_i + (\epsilon_i - \epsilon_k) \cdot CM_i + (2\epsilon_i - \epsilon_{i-1} - \epsilon_{i+1}) \cdot CS\} \cdot \delta e_i \\
& + \{-\delta_m + \epsilon_m \cdot CL_m + (\epsilon_m - \epsilon_k) \cdot CM_m + (\epsilon_m - \epsilon_{m-1}) \cdot CS\} \cdot \delta e_m \\
& + \sum_{i=2}^{m-1} \{-\gamma_i + \theta_i \cdot CL_i + (\theta_i - \theta_{i-1}) \cdot CM_i + (2\theta_i - \theta_{i-1} - \theta_{i+1}) \cdot CS\} \cdot \delta v_i \\
& + \{-\gamma_m + \theta_m \cdot CL_m + (\theta_m - \theta_1) \cdot CM_m + (\theta_m - \theta_{m-1}) \cdot CS\} \cdot \delta v_m \\
& + \{e_k \cdot \epsilon_k + v_1 \cdot \theta_1\} \cdot \delta(CKG) \\
& + \{(v_1 - v_2) \cdot \theta_1 + (v_m - v_{m-1}) \cdot \theta_m + \sum_{i=2}^{m-1} (2v_i - v_{i-1} - v_{i+1}) \cdot \theta_i \\
& + (e_1 - e_2) \cdot \epsilon_1 + (e_m - e_{m-1}) \cdot \epsilon_m + \sum_{i=2}^{m-1} (2e_i - e_{i-1} - e_{i+1}) \cdot \epsilon_i\} \cdot \delta CS \\
& + \sum_{i=1}^m \{e_i \cdot \epsilon_i + v_i \cdot \theta_i\} \cdot \delta(CL_i) \\
& + \sum_{i=2}^m \{(e_i - e_k) \cdot \epsilon_i + (v_i - v_1) \cdot \theta_i + (e_k - e_2) \cdot \epsilon_k + (v_1 - v_i) \cdot \theta_1\} \cdot \delta(CM_i)
\end{aligned}$$

Pode-se escolher as funções multiplicadoras de Lagrange, tais que:

$$e_i \cdot \epsilon_i + v_i \cdot \theta_i + G_{CL_i} = 0, \quad i=1, 2, \dots, m \quad (4.26a)$$

$$(e_i - e_k) \cdot \epsilon_i + (v_i - v_1) \cdot \theta_i + (e_k - e_2) \cdot \epsilon_k + (v_1 - v_i) \cdot \theta_1 + G_{CM_i} = 0, \\ i=2, 3, \dots, m$$

$$(4.26b)$$

$$\sum_{i=2}^{m-1} \{ (2v_i - v_{i-1} - v_{i+1}) \cdot \theta_i + (2e_i - e_{i-1} - e_{i+1}) \cdot \epsilon_i \} + (v_m - v_{m-1}) \cdot \theta_m + (e_m - e_{m-1}) \cdot \epsilon_m + (v_1 - v_2) \cdot \theta_1 + (e_1 - e_2) \cdot \epsilon_1 + G_{CS} = 0 \quad (4.26c)$$

$$\epsilon_k \cdot \epsilon_k + v_1 \cdot \theta_1 + G_{CKG} = 0 \quad (4.26d)$$

$$\delta_i = \epsilon_i \cdot CL_i + (\epsilon_i - \epsilon_k) \cdot CM_i + (2\epsilon_i - \epsilon_{i+1}) \cdot CS, \quad i=2,3,\dots,m-1 \quad (4.27a)$$

$$\delta_m = \epsilon_m \cdot CL_m + (\epsilon_m - \epsilon_k) \cdot CM_m + (\epsilon_m - \epsilon_{m-1}) \cdot CS \quad (4.27b)$$

$$\gamma_i = \theta_i \cdot CL_i + (\theta_i - \theta_{i-1}) \cdot CM_i + (2\theta_i - \theta_{i-1} - \theta_{i+1}) \cdot CS, \quad i=2,3,\dots,m-1 \quad (4.27c)$$

$$\gamma_m = \theta_m \cdot CL_m + (\theta_m - \theta_{m-1}) \cdot CM_m + (\theta_m - \theta_{m-1}) \cdot CS \quad (4.27d)$$

$$\begin{bmatrix} |A_{11}|^t & |A_{21}|^t \\ |A_{12}|^t & |A_{22}|^t \end{bmatrix} \cdot \begin{bmatrix} |\alpha_1| \\ |\alpha_2| \end{bmatrix} = - \begin{bmatrix} |B_a|^t \\ |B_b|^t \end{bmatrix} \cdot \begin{bmatrix} |\gamma| \end{bmatrix} + \theta_1 \cdot \begin{bmatrix} |\epsilon_1| \\ |\epsilon_2| \end{bmatrix} \quad (4.28a)$$

$$\begin{bmatrix} |A_{11}|^t & A_{21}^t & |e_1| \\ |A_{12}|^t & |A_{22}|^t & |0| \\ -|e_1|^t & |0| & 0 \end{bmatrix} \cdot \begin{bmatrix} |\beta_1| \\ |\beta_2| \\ 0 \end{bmatrix} = - \begin{bmatrix} |B_a|^t \\ |B_b|^t \\ 0 \end{bmatrix} \cdot \begin{bmatrix} |\delta| \\ \\ \end{bmatrix} + \epsilon_1 \cdot \begin{bmatrix} |0| \\ |e_2| \\ \end{bmatrix} - \begin{bmatrix} |0| \\ |0| \\ CN \end{bmatrix}$$

(4.28b)

onde $CN = -e_k \cdot CKG + \sum_2^m (e_k - e_i) \cdot CM_i$

então, a primeira variação da funcional de desempenho torna-se:

$$\begin{aligned} \delta F &= G_{RD} \cdot \delta RD + G_{RT} \cdot \delta RT + |\alpha|^t \cdot |\delta A| \cdot |q| + |\beta|^t \cdot |\delta A| \cdot |Q| \\ &= G_{RD} \cdot \delta RD + G_{RT} \cdot \delta RT + \bar{Z}_i \{ |\alpha|^t \cdot \left| \frac{\partial A}{\partial \rho_i} \right| \cdot |q| + |\beta|^t \cdot \left| \frac{\partial A}{\partial \rho_i} \right| \cdot |Q| \} \cdot \delta \rho_i \\ &= G_{RD} \cdot \delta RD + G_{RT} \cdot \delta RT + \bar{Z}_i (\alpha_i \cdot f_{ai} + \beta_i \cdot f_{bi}) \cdot \delta \rho_i \end{aligned}$$

(4.29)

Os elementos f_{ai} , f_{bi} são interpretados como o negativo do campo elétrico na direção ρ_i . O subscrito "a" refere-se ao caso onde o eletrodo de blindagem está eletricamente ligado ao terminal de alta-tensão. O subscrito "b" refere-se ao caso quando o eletrodo de blindagem está isolado. O gradiente

da funcional de desempenho em relação aos parâmetros R_D, R_T , e as distâncias do perfil ρ_j podem então ser determinados.

O algoritmo a seguir descreve todos os passos a serem seguidos na aplicação do método de otimização ao circuito de medição da fig. 4.6, conforme discutido nas seções anteriores:

- 1 - Escolha da geometria inicial do eletrodo de blindagem e dos valores das resistências de amortecimento.
- 2 - Cálculo do campo eletrostático na superfície do eletrodo de blindagem, as distribuições de potencial eletrostático v_j , e_j e as capacitâncias de entrada CT_1 e CT_2 . Determinar os parâmetros do circuito equivalente para o divisor.
- 3 - Analisar o circuito equivalente para uma excitação de tensão degrau unitário e obter o gradiente G_C (ref. 16).
- 4 - Resolver o conjunto de equações (4.26), (4.27) e (4.28) e obter as funções multiplicadoras de Lagrange $|\alpha|, |\beta|$.
- 5 - Determinar o gradiente da funcional de desempenho (4.29).
- 6 - Alterar os valores das resistências de amortecimento e as distâncias radial do perfil ρ_j para o eletrodo de blindagem conforme alguma técnica de gradiente.

5. VERIFICAÇÃO DO SISTEMA ÓTIMO DE MEDIÇÃO

INTRODUÇÃO:

Um programa computacional foi escrito para implementar o algoritmo descrito no capítulo anterior, cuja finalidade é a obtenção dos valores dos parâmetros ótimos do sistema de medição. Com a determinação dos parâmetros ótimos, a resposta ótima do modelo do sistema de medição foi calculada. Um divisor de potencial resistivo contendo os valores dos parâmetros ótimos foi construído para impulsos de 1MV, e a resposta degrau medida.

Neste capítulo, descreve-se o procedimento computacional para o cálculo dos valores dos parâmetros ótimos do sistema de medição, a construção do sistema de medição ótimo, como também a medição da resposta degrau e os resultados obtidos.

5.1 Procedimento Computacional

O procedimento iterativo para a obtenção dos parâme-

tros ótimos do sistema de medição, cujo programa computacional encontra-se no apêndice I e diagrama de blocos mostrado na fig. 5.1, é descrito de acordo com as seguintes etapas:

A primeira etapa do programa faz-se a leitura de dados, inicialização dos parâmetros e normalização das variáveis. Os dados de entrada do programa são as principais dimensões do divisor, os valores das resistências e indutâncias dos ramos de alta e baixa-tensão, bem como os valores das resistências de amortecimento. Também é escolhida a geometria inicial dos eletrodos de blindagem, como sendo circular. A figura 4.5 mostra as condições iniciais, e a fig.5.2, mostra a descrição do perfil inicial. Para facilidades de cálculo, foi conveniente reduzir o problema para uma forma normalizada de todos os parâmetros do sistema de medição, bem como os valores de comprimento. Estes foram escolhidos como sendo $C_s / (4\pi\epsilon_0)m$, $(R_s C_s / \Delta t)m$, $|(L_s / R_s) / \Delta t|m$, V em volts, $C_s V$ em Coulomb (C), R_s em ohms (Ω), L_s em Henry (H), e C_s em Faraday (F), respectivamente. Todas as dimensões lineares foram portanto, transformadas para seus respectivos valores por unidade e o potencial do eletrodo é assumido ter o valor de 1 por unidade. Esta etapa encontra-se descrita no programa principal ("MAIN").

A segunda etapa do programa calcula as coordenadas (r_i, z_i) e (r_j, z_j) , o campo eletrostático do divisor, a distribuição de potencial ao longo da coluna resistiva, as capacitâncias de entrada CT_1 e CT_2 , e os parâmetros do circuito equivalente de capacitâncias parasitas. As coordenadas dos pontos de carga (r_i, z_i) e dos pontos sobre o contorno (r_j, z_j) ,

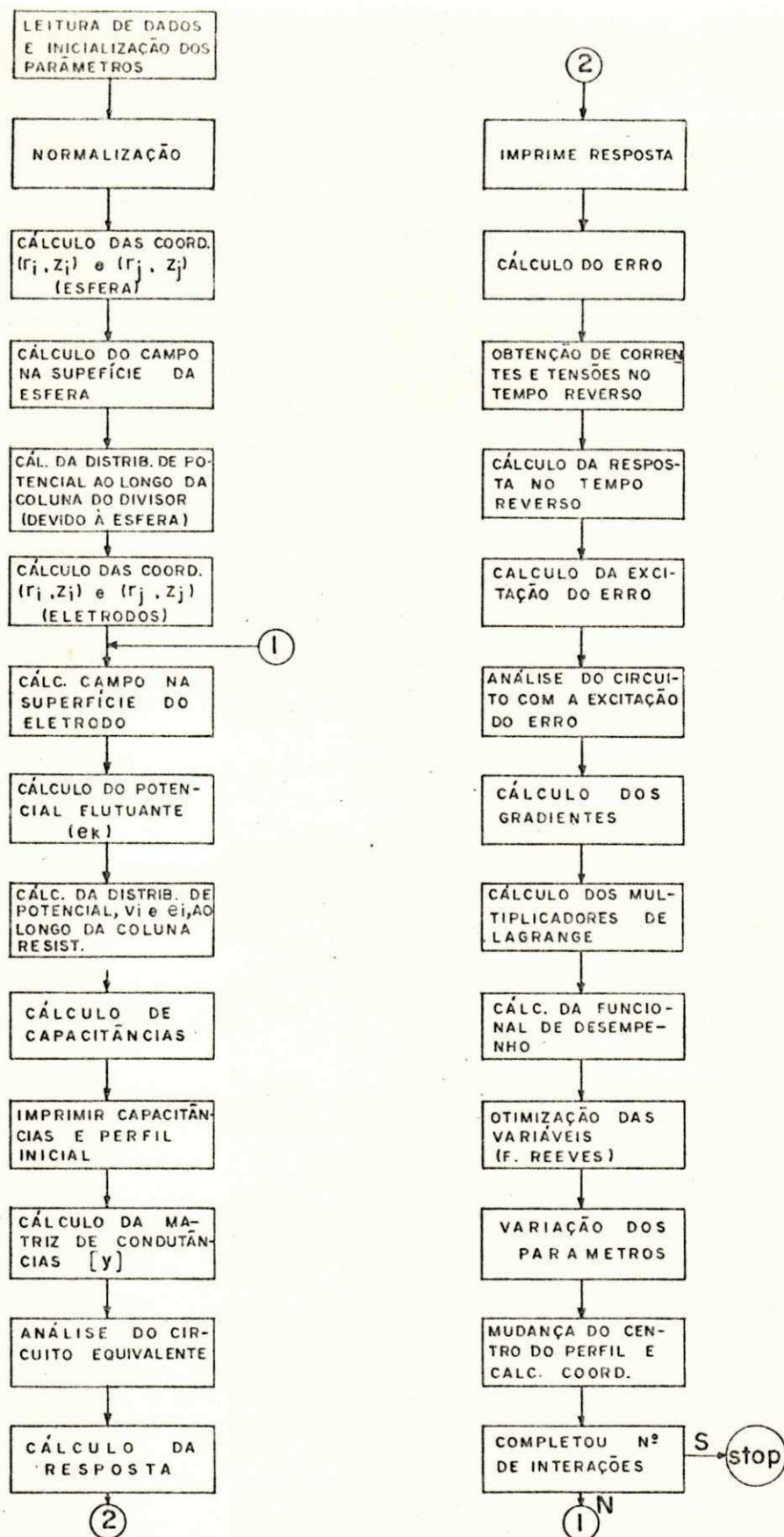


Fig. 5.1- Diagrama de blocos do programa computacional.

tanto do terminal de alta-tensão quanto dos eletrodos de blindagem são calculadas tomando-se como referencia o ponto(0,0) no sistema de coordenadas da fig. 5.2. O campo eletrostático na superfície do terminal de alta-tensão foi calculado a partir dos coeficientes de potencial relacionados com as coordenadas das cargas e dos pontos de teste sobre o eixo. Este cálculo permanece inalterado durante o processo. A distribuição de potencial ao longo da coluna resistiva é calculada levando-se em conta a matriz de coeficiente de potencial, relacionada com as cargas simuladas dentro do terminal de alta-tensão e eletrodo de blindagem. Nesse cálculo, quando se considera somente o terminal de alta-tensão, este permanece inalterado durante o processo. Entretanto, com eletrodo de blindagem superior ligado diretamente ao terminal de alta-tensão e eletrodo isolado eletricamente, os cálculos são alterados durante o processo. O potencial flutuante do eletrodo de forma toroidal, também é calculado. Para estes cálculos, a coluna de alta-tensão do divisor foi dividida em 20 pontos uniformemente distribuídos. As capacitâncias de entrada CT_1 e CT_2 , são calculadas em seguida, conforme as equações (4.21a) e (4.21b). Com a determinação dos cálculos dessa etapa, os parâmetros do circuito equivalente para capacitâncias parasitas são obtidos, conforme as equações (4.1) e (4.2). A tabela I mostra o resultado desses parâmetros. Após estes cálculos, obtêm-se o circuito equivalente do sistema de medição (fig. 4.6), inserindo-se os elementos resistivo e indutivo entre os nós adjacentes. Os cálculos dessa etapa, encontram-se descritos no programa principal e na subrotina "FIELD",

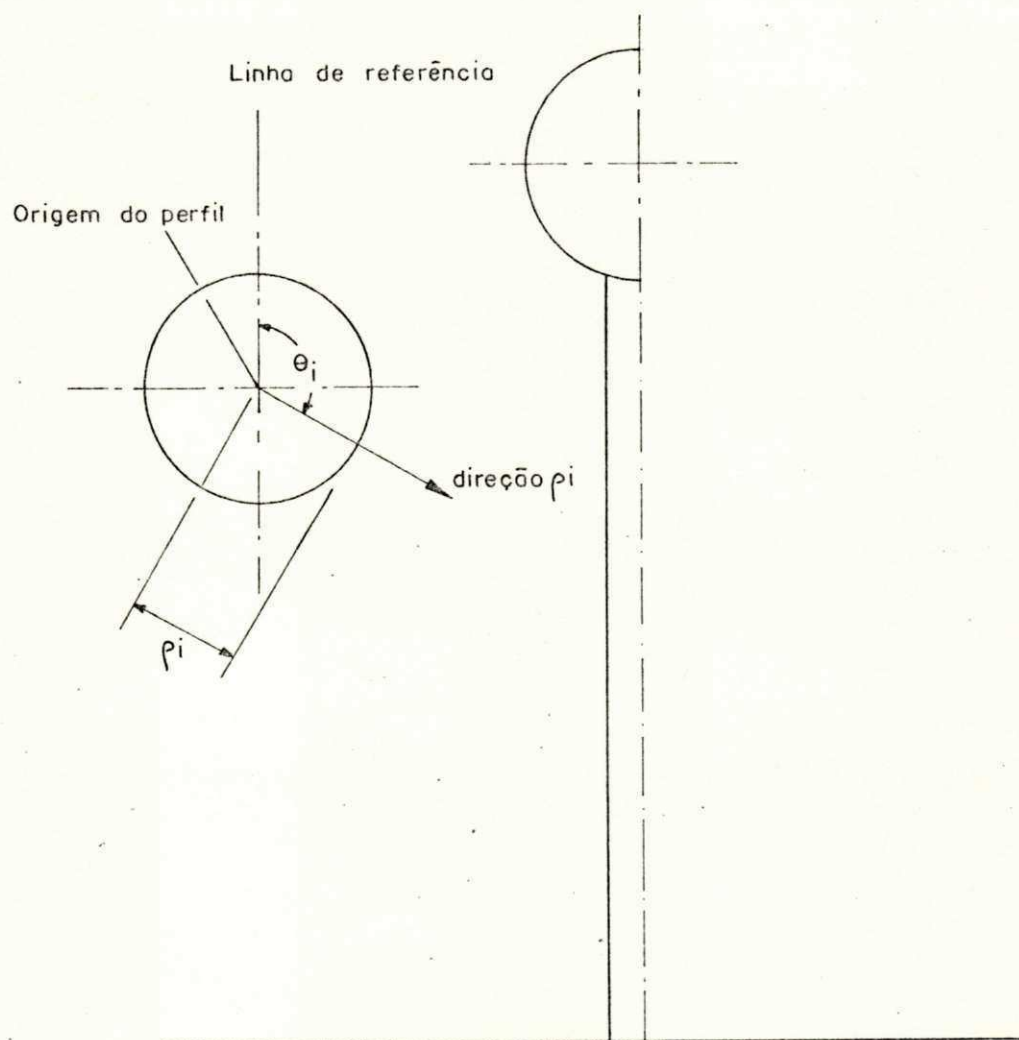


Fig. 5.2 - Descrição do perfil inicial do eletrodo.

Tabela I -

Parâmetros do circuito equivalente de
capacitâncias parasitas

CKG = 40,1pF , CS = 28,5pF

Nº	CL(pF)	CM(pF)
1	0,34	∅
2	4,74	17,5
3	3,03	9,45
4	2,67	5,8
5	2,51	3,64
6	2,29	2,26
7	2,01	1,38
8	1,72	0,85
9	1,45	0,53
10	1,23	0,33
11	1,05	0,21
12	0,091	0,13
13	0,084	0,087
14	0,086	0,056
15	1,10	0,035
16	1,73	0,020
17	2,91	0,011
18	4,45	0,005
19	6,58	0,0025
20	5,98	0,0016
21	26,42	0,0011

respectivamente.

A terceira etapa do programa, calcula a matriz de condutâncias $|Y|$, e faz-se a análise do circuito equivalente. A matriz de condutâncias é calculada a fim de se obter as tensões e correntes necessárias ao procedimento da otimização. Esta matriz depois de particionada é calculada conforme a equação (3.27) seção 3.2.4, e a técnica de solução de equações tridiagonal [13]. Em seguida, calcula-se a resposta do sistema de medição para uma dada excitação na entrada. Na análise do circuito, usamos o método computacional de Dommel [12] para simular a resposta rampa. Estes cálculos foram efetuados numa extensão de 250 intervalos de tempo de 4ns cada. Ainda nesta etapa, calcula-se o erro da funcional F , empregando-se o método dos mínimos quadrado, dado pela equação (4.23). Os cálculos para essa etapa são desempenhados nas subrotinas "FUNCT" e "ANALYS", respectivamente.

A quarta etapa do programa, calcula os gradientes, empregando-se as técnicas contidas na referência [18]. Antes, porém, são obtidas tensões e correntes no tempo reverso, necessárias ao cálculo dos gradientes. Também é calculada a excitação do erro através da equação (4.14) e analisado o circuito com esta excitação. Calcula-se então, o gradiente em relação aos parâmetros variáveis, ou seja, com relação às resistências de amortecimento e ao vetor de capacidades parasitas. Em seguida, é feito o cálculo dos parâmetros auxiliares, isto é, os multiplicadores de Lagrange, conforme as equações (4.26), (4.27) e (4.28), calculando-se

também o gradiente da funcional de desempenho, conforme a equação (4.29). Estes cálculos, são desempenhados pelas subrotinas "FUNCT" e "FIELD".

A quinta etapa do programa, otimiza os parâmetros variáveis, alterando os valores das resistências de amortecimento e o perfil dos eletrodos de blindagem. Os valores dos parâmetros são alterados, conforme a técnica de Fletcher-Reeves [16], bem como a distância radial do perfil. O procedimento de otimização tanto do perfil dos eletrodos de blindagem quanto dos valores das resistências é reduzido a uma pesquisa unidimensional da escalar α (veja seção 3.3.1.3). Estes parâmetros são alterados, até que se obtenha um mínimo da funcional erro através de um processo de convergência ou do limite do número de iterações. No processo de otimização ao se alterar a distância radial do perfil (ρ_i), a qual é processada ao final de cada iteração, a origem do perfil foi mudada para o centróide de área de seção transversal através do cálculo dos momentos, em seguida, calcula-se as novas coordenadas do novo perfil. As subrotinas "CNGRD", "PRMCH" e "SHIFT" determinam o procedimento dessa etapa.

No procedimento computacional, foram realizadas 4 iterações, visto que subsequentes iterações não reduzem significativamente a funcional erro.

5.2 Construção do Sistema de Medição Ótimo

Um divisor de potencial resistivo para tensões de impulso de 1MV foi construído com os valores dos parâmetros

ótimos obtidos de cálculos teóricos. Nos detalhes construtivos do divisor, descreve-se apenas aqueles que foram utilizados no procedimento de otimização. Maiores detalhes construtivos encontram-se amplamente descritos na referência [17].

O terminal de alta-tensão do divisor consta de uma esfera metálica de 25cm de diâmetro. Dois eletrodos de blindagem de forma toroidal idênticos, cujo diâmetro do eixo do toróide é de 104cm e diâmetro da secção circular de 16cm, foram escolhidos inicialmente para o procedimento da otimização. Contudo, após várias tentativas na mudança dos valores dos parâmetros, tais como, resistências de amortecimento e resistência de baixa-tensão, o perfil final ótimo e os valores dos parâmetros ótimos foram obtidos. Estes dados são mostrados na fig. 5.3 e na tabela II, proporcionando uma ótima resposta do sistema de medição. No processo iterativo para a otimização dos parâmetros citados, o terminal de alta-tensão colocado acima da coluna resistiva permanece fixo, e, o eletrodo de blindagem inferior manteve o mesmo perfil (perfil circular). Portanto, como o valor das resistências de amortecimento e ramo de baixa-tensão e o eletrodo de blindagem superior mudaram, estes foram construídos novamente com as mesmas características da fig. 5.3 e tabela II. O material utilizado para a construção da resistência do ramo de baixa-tensão e o procedimento, foi o mesmo descrito na referência [17], tendo-se o cuidado de se obter a menor indutância possível, conseqüentemente menor constante de tempo L/R . Na construção do eletrodo de blindagem, foram utilizados 30

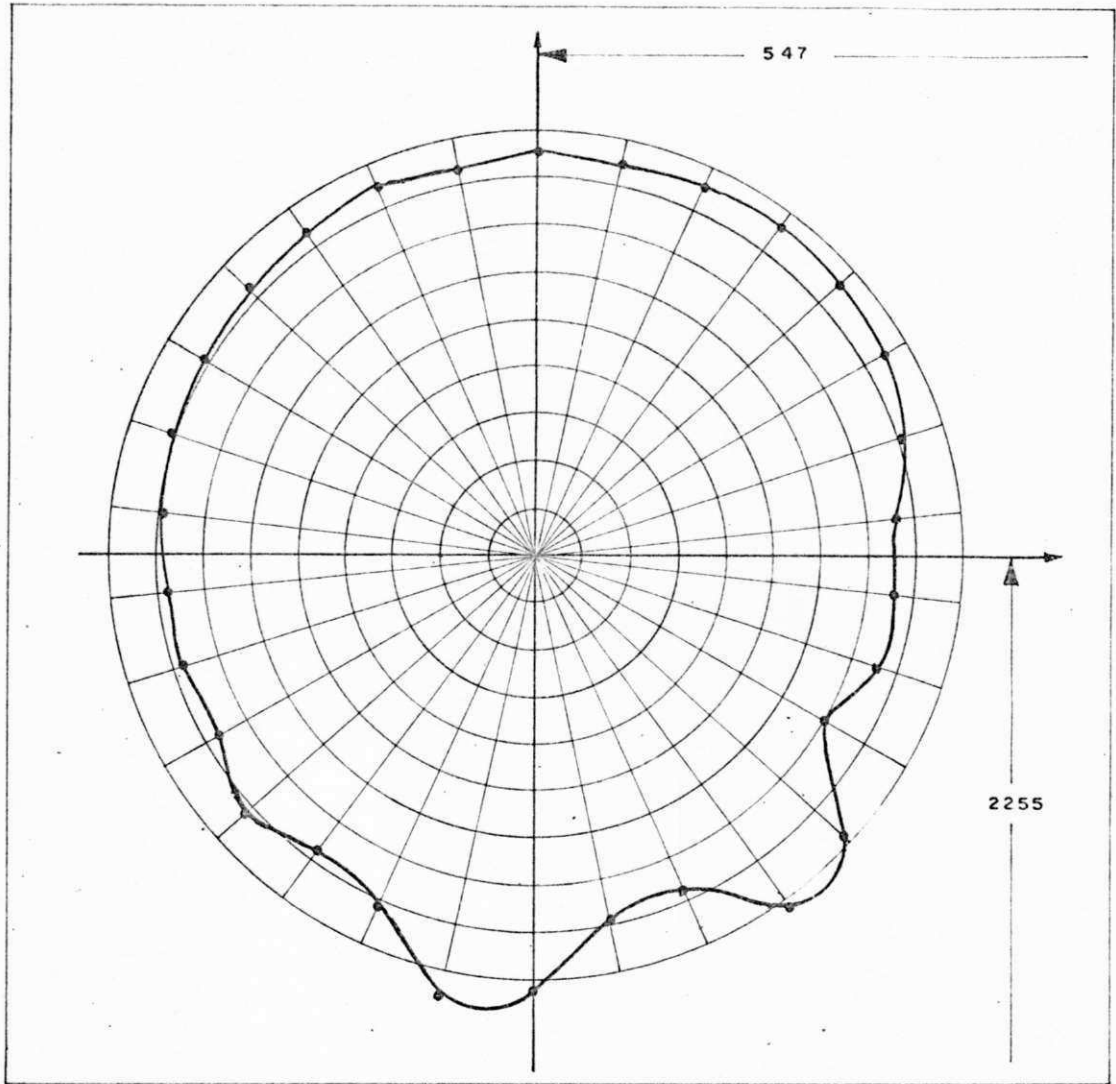


Fig. 5.3 - Perfil ótimo do eletrodo de blindagem.

Tabela II

Parâmetros para o modelo de resposta ótima

Resistores	Resistência(Ω)	ℓ/r (ns)
RD	24,0	10
RT	309,0	25
R2	4,5	62

RD - Resistência de amortecimento do cabo de A.T.

RT - Resistência de amortecimento do divisor de potencial.

R2 - Resistência de baixa tensão.

tubos de cobre de 6mm de diâmetro soldados em 6 chapas de cobre e 6 de fenolite tendo o perfil da fig. 5.3.

5.3 Resposta do Sistema de Medição Ótimo

Após os cálculos dos parâmetros ótimos do sistema de medição e do perfil dos eletrodos de blindagem, a resposta degrau foi medida através do divisor de potencial construído conforme descrito na seção anterior. A fig. 5.4 mostra a resposta degrau medida. A resposta degrau foi gerada através de um gerador degrau contendo um relé com contatos de mercúrio, e a saída foi registrada por meio de um cabo coaxial com impedância de surto de 75Ω conectado a um osciloscópio marca Tektronix tipo 475.

Na medição da resposta degrau, a configuração do cabo de alta-tensão utilizada foi o arranjo em quadratura. Esta configuração é muito importante, principalmente em face as frequências de oscilações devido às reflexões de ondas viajantes no cabo de alta-tensão. Os cabos de alta-tensão horizontal e vertical usualmente são representados por linhas de transmissão sem perdas, contudo, há um amortecimento das reflexões de ondas viajantes devido ao efeito pelicular nestes e nos circuitos de retorno para terra. Para se incluir este efeito de amortecimento, o cabo de alta-tensão horizontal é considerado como sendo uma linha de transmissão normal, ou seja, na determinação da resposta degrau teórica este cabo faz parte do sistema de medição, sendo incluído através de uma resistência distribuída [19].

5.4 Resultados

Alguns problemas foram encontrados na medição da resposta degrau devido às distorções causadas pelas conexões do cabo de alta-tensão e do cabo coaxial de baixa-tensão. Entretanto, de um modo geral, uma ótima resposta ao degrau é obtida, exceto no início da resposta (fig. 5.4) onde as altas oscilações de frequência aparecem na resposta medida. Essas oscilações são devido às tensões induzidas pelos campos de radiação das ondas viajantes no terminal de alta-tensão, e, foram reduzidas pela blindagem do ramo de baixa-tensão do divisor [2].

Oscilações devido às reflexões de onda viajante criaram dificuldades para se determinar o tempo de resposta do sistema de medição, sendo no entanto, menor do que 20ns, enquanto que o tempo de resposta teórico foi de 3ns. Entretanto, o tempo de resposta medido inclui o efeito do cabo de alta-tensão vertical do arranjo em quadratura, e este, não faz parte do sistema de medição.

Observou-se também que eletrodos de blindagem distribuídos ao longo do ramo de baixa-tensão minimizam as oscilações de altas frequências superpostas ao sinal. Assim, quatro eletrodos de forma toroidal de cobre, aterrados, foram colocados coaxialmente em volta do ramo de baixa-tensão do divisor, como mostra a figura 5.5. Estes eletrodos proporcionam um aumento significativo das capacitâncias parasitas, influenciando consideravelmente na resposta do sistema. No cálculo teórico e da medição da resposta degrau do siste

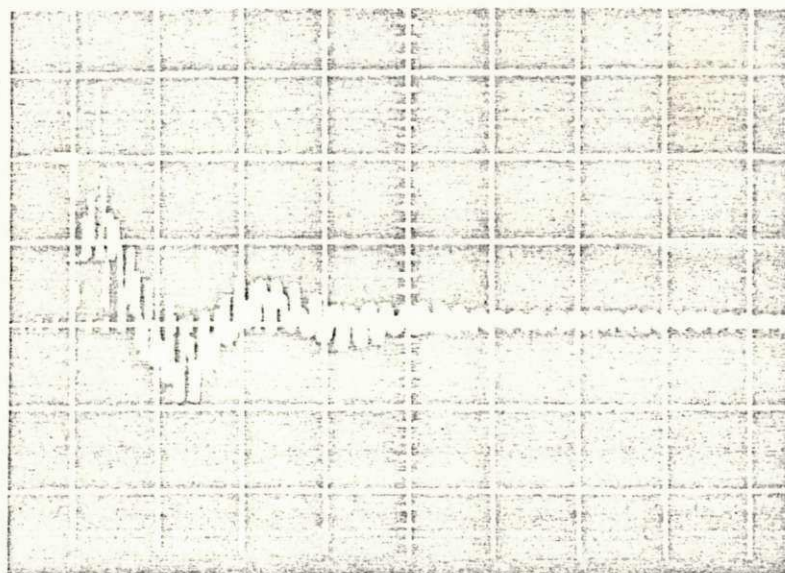
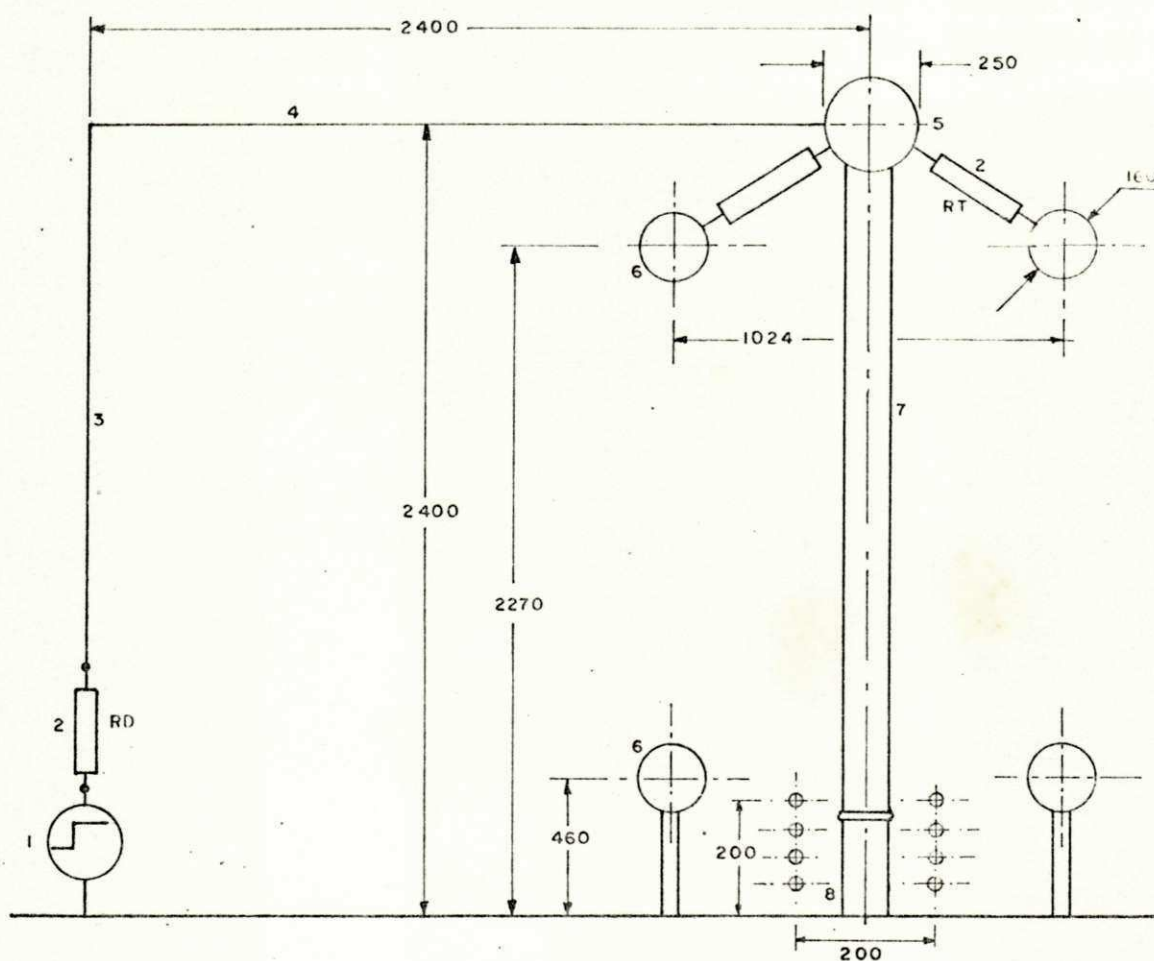


Figura 5.4 - Resposta Degrau do Sistema
de Medição Ótimo
Escala do tempo - 100ns p/divisão



- 1 - Gerador de grau.
- 2 - Resistores de armotecimento.
- 3 - Cabo de alta tensão vertical.
- 4 - Cabo de alta tensão horizontal.
- 5 - Terminal de alta tensão.
- 6 - Eletrodo de blindagem.
- 7 - Braço de A.T., $12,75 \text{ K}\Omega$, $127 \mu\text{H}$.
- 8 - Braço de B.T., $4,5 \Omega$, $0,3 \mu\text{H}$.
- 9 - Eletrodos de blindagem do braço de B.T.

Fig. 5.5 - Sistema de medição para altas tensões de impulso com eletrodo de blindagem no ramo de B.T.

ma considerou-se também o efeito das capacitâncias parasitas do ramo de baixa-tensão.

O osciloscópio, bem como o cabo coaxial, que liga o divisor a esse, também estão sujeitos a interferências provenientes de campos eletromagnéticos na saída do sinal. Para se diminuir estas interferências na medição da resposta ao degrau, o osciloscópio e o cabo coaxial forem totalmente blindados.

6. CONCLUSÕES

Uma técnica de otimização foi empregada para a determinação dos valores dos parâmetros ótimos de um sistema de medição para altas-tensões de impulso. Para tanto, o modelo de capacitâncias parasitas proposto foi de grande importância na determinação de um circuito equivalente para o sistema de medição, visto que estas influenciam bastante no desempenho do sistema de medição. Portanto, com o modelo do sistema de medição incluindo todos os efeitos parasitas, foi obtida através de um procedimento iterativo a resposta ótima do modelo do divisor de potencial resistivo.

Com os resultados obtidos através da simulação digital e dos valores medidos, conclui-se que:

- baseado no modelo de capacitâncias parasitas, um modelo para o sistema de medição foi elaborado, cujos parâmetros foram otimizados a fim de se obter uma ótima resposta ao degrau.
- com o método de otimização empregado foram obtidos ótimos resultados, evidenciando sua aplicabilidade a problemas do tipo considerado neste trabalho.

- um divisor de tensão resistivo foi construído para 1MV, tendo os valores dos parâmetros ótimos obtidos de estudos teóricos.
- o tempo de resposta do divisor foi menor do que 20ns, significando um ótimo tempo de resposta.
- medições adicionais de impulsos cortado na frente e impulsos atmosférico normalizado podem ser feitas a fim de comprovar o bom desempenho do sistema de medição de tensão de impulso.

A P Ê N D I C E

Programa Computacional

```

0001 SUBROUTINE ELINK(XP,YP,Z,WP)
0002 IMPLICIT REAL*(A-H,O-Z)
0003 P=1.-XP*XP
0004 Q=1.-YP*YP
0005 IF(P.LE.0) GO TO 6
0006 ZP=1.-XP*XP+YP*YP*(0.3597792449*Q).3374255374
0007 1 Q=14511562*P)-ALOG(P)*(0.5+P*(0.12498534+P*(0.056882485+
0008 2 P*(0.03283553+0.0044179701*P))))
0009 5 IF(Q.LE.0) GO TO 7
0010 WP=1.-XP*XP+Q*(0.296663443+Q*(0.3597792449+ 0.3374255374
0011 1 Q*(14511562*P))-ALOG(P)*(0.5+P*(0.12498534+P*(0.056882485+
0012 2 P*(0.03283553+0.0044179701*P))))
0013 RETURN
0014 6 EX1=0.
0015 7P=XP*(EX1)
0016 GO TO 5
0017 7 EX2=0.
0018 WP=XP*(EX2)
0019 RETURN
0020 END
    
```


C
C
C
C
C

SUBROUTINE SLINK(AK,AM,SK,SM)
IMPLICIT REAL*4(A-D,Z)

P=1-AK*AK
Q=1-AM*AM

IF(P.EQ.0) GOTO 5

SK=1+0.44325141+P*(0.792676012+P*(0.747573935+0.217365765*P))

1 -ALD(0)*0*(0.224998363+P*(0.0927718+P*(0.0402696975+

2 0.0052644964*P))

3 IF(Q.EQ.0) GOTO 7

SM=1+0.44325141+Q*(0.042556712+Q*(0.747573935+0.217365765*Q))

1 -ALD(0)*0*(0.224998363+Q*(0.0927718+Q*(0.0402696975+

2 0.0052644964*Q))

RETURN

5 SK=1

GOTO 5

7 SM=1

RETURN

END

0001
0002
0003
0004
0005
0006
0007
0008
0009
0010
0011
0012
0013
0014

PAGE 0001

15/13/19

DATE = 84128

MAIN

FORTRAN IV 3 LEVEL 21

```

C
C
C
C
0001 SUBROUTINE PCOEF(R1,Z1,R2,Z2,X)
0002 IMPLICIT REAL*4(A-H,O-Z)
0003
0004 PI=3.1415926
0005 PRD)=R1**2
0006 A1=2.*SQRT (PRD)
0007 RS1=(R1+R2)**2
0008 RS2=(Z1-Z2)**2
0009 RS3=(Z1+Z2)**2
0010 AK2=SQRT (RS1+RS2)
0011 A2=SQRT (RS1+RS3)
0012 AK=AK1/AK2
0013 AM=AK1/A1M2
0014 CALL FLINK AK,AM,EK,EM)
0015 X=(P./PI)*(EK/AK2-EM/AM2)
0016 RET JRN
0017 END

```

0001 SUBROUTINE FCOIF(Z1,Z1,R2,Z2,RCOMP,ZCOMP)
 0002 IMPLICIT REAL*(A-H,D-Z)

PI=3.1415926
 A1=2.*SQRT(D1*R2)
 S1=(R1+D2)**2
 A2=SQRT(S1+(Z1-Z2)**2)
 A3=SQRT(S1+(Z1+Z2)**2)
 AK=A1/A2
 AM=A1/A3
 CALL SLINK(AK,AM,LS,EM)
 CALL SLINK(AK,AM,SK,SM)

F1=1.-AK*AK
 F2=1.-AM*AM
 G1=Z1-Z2
 G2=Z1+Z2
 H1=AV2**3
 H2=AV2**3
 P1=G1/H1
 P2=G2/H2
 ZCOMP=(2./PI)*(P1*SK/F1-P2*SM/F2)

S1=2.*R2/(AK*AK)
 S2=2.*R2/(AM*AM)
 T1=R1+D2-S1
 T2=R1+R2-S2
 X1=(SK*T1/F1+S1*EK1/H1
 X2=(SM*T2/F2+S2*EM)/H2
 RCOMP=(2./PI)*(X1-X2)

0009 RETURN
 0010 END

```
      C
      C
0001      SUBROUTINE SIMPS(Y,H,N,M,XINT)
0002      DIMENSION Y(N)
      C
      C
0003      IF (4.NE.1) GOTO 11
0004      DO 1 I=1,N
0005      Y(I)=Y(I)*Y(I)
0006      10 CONTINUE
0007      11 CONTINUE
      C
      C
0008      NF=(N-1)/2
0009      NC=NF-1
0010      SUM1=0.
0011      SUM2=0.
      C
      C
0012      DO 1 I=1,NF
0013      J=2*I
0014      SUM1=SUM1+Y(J)
0015      1 CONTINUE
      C
      C
0016      DO 2 I=1,NC
0017      J=2*I+1
0018      SUM2=SUM2+Y(J)
0019      2 CONTINUE
      C
      C
0020      TOT=Y(1)+Y(N)+4.*SUM1+2.*SUM2
0021      XINT=TOT*H/3.
0022      RETURN
0023      END
```


PAGE 0022

15/13/19

DATE = 84128

PLOT

FORTRAN IV 3 LEVEL 21

```

C 0044      135 XMS=NS
C 0045      JA=177.*(Y(N)+XNS)/(2.*XNS)+1.49999
C 0046      (LVE JAI=JL
C 0047      160 CONTINUE
C
C 0048      NM=471-(N-11)/13
C 0049      IF(NM) 175,175,165
C 0050      165 WRITE 6,171) N,LIVE
C 0051      175 FORMAT(1X,14,1D1A1)
C 0052      GO TO 195
C 0053      175 WRITE(6,181) LIVE
C 0054      185 FORMAT(5X,1D1A1)
C
C 0055      195 DO 199 I=1,101
C 0056      195 WRITE(11)=JALANK
C 0057      199 CONTINUE
C 0058      195 N=N+1
C 0059      IF(N=45) 110,110,230
C 0060      200 WRITE(6,192)
C 0061      192 JPN
C 0062      END

```

C
C
C

```

0001 SUBROUTINE LUSOLI(B,NI)
0002 IMPLICIT REAL*4(A-H,J-Z)
0003 DIMENSION R(NI)
0004 COMMON/NA46/ALL(63,62),JP1V1(57)

```

C
C

```

0005 DO 4 J=1,NI
0006 JP1V1(I)=I
0007 I1=I+1
0008 IF(APS(ALL(I,I)),LE,I.E-5) GOTO 1
0009 GOTO 15

```

1 CONTINUE

```

0010 IF(I.E-3.NI) GOTO 20
0011 DO 14 J=I1,NI
0012 IF(ASS(ALL(J,I)),LE,I.E-5) GOTO 14
0013 JP1V1(I)=J
0014 GOTO 15

```

14 CONTINUE

15 DO 2 K=1,NI

JP1V=JP1V(I)

PIV=ALL JP1V,K)

ALL(JP1V,K)=ALL(I,I,K)

2 ALL(I,K)=PIV

15 IF(I.E-3.NI) GOTO 3

DO 3 J=I1,NI

3 ALL(I,J)=ALL(I,J)/ALL(I,I)

DO 4 J=I1,NI

DO 4 K=I1,NI

4 ALL(J,K)=ALL J,K)-(ALL(J,I)*ALL(I,K))

3 CONTINUE

C
C

ENTRY FERRCI(B,NI)

IF3=1

DO 51 J=1,NI

JP1V=JP1V(I)

IF((PIV,LE,I) GOTO 61

J=1

PIVA=R(I)

PIV=R(JP1V)

PIV(PIV)=PIVA

JP1V(I)=-JP1V

J=JP1V

JP1V=JP1V(J)

PIVA=PIV

IF IPIV.GT.7) GOTO 62

DO 63 J=1,NI

63 JP1V(I)=I*AS(JP1V(I))

GOTO (65,165),IF3

65 DO 21 K=1,NI

S(4)=.

C
C

PAGE 0002

15/12/19

DATE = 84128

LUSOLI

PROGRAM IV G LEVEL 21

```

0050      IF (K.EQ.1) GO TO 41
0051      MM=K-1
0052      DO 51 J=1,MM
0053      51 SUM=SUM+ALL(K,J)*B(J)
0054      41 B (K)= 1./ALL (K,K)*(B(K)-SUM)
0055      21 CONTINUE
      C
      C
0056      DO 31 LL=1,N1
0057      K=(N1+1)-LL
0058      SUM=0.
0059      IF (K.EQ.N1) GO TO 61
0060      KK=K+1
0061      DO 71 J=KK,N1
0062      71 SUM=SUM+ALL(K,J)*B(J)
0063      81 C(K)=C(K)-SUM
0064      91 CONTINUE
0065      GO TO 31
0066      27 WRITE(5,21)
0067      21 FORMAT('EQUATIONS ARE LINEARLY DEPENDENT')
0068      STOP
0069      37 CONTINUE
0070      RETURN
      C
      C
0071      ENTRY FNRPT1(O,N1)
0072      IFA=2
0073      GO TO 64
      C
      C
0074      165 DO 131 K=2,N1
0075      L=K-1
0076      SUM=0.
0077      DO 151 J=1,L

```



```

0001 SUBROUTINE ELINK(XP,YP,ZP,XP)
0002 EXPLICIT REAL*4(A-H,O-Z)
0003
0004 P=1.-Y*XP
0005 Q=1.-Y*YP
0006 IF(Q.EQ.0.) GO TO 6
0007 ZP=1.39020436+P*(C.96663443+Q*(C.135901924+Q*(C.337425637+
0008 1.014511062*Q))) -ALOG(P)*((C.5+P*(C.12498594+P*(C.358872486+
0009 2.0*(C.133203553*Q,C.44417871*P))))
0010
0011 5 IF(Q.EQ.0.) GO TO 7
0012 WP=1.33620436+Q*(C.096663443+Q*(C.135901924+Q*(C.337425637+
0013 1.014511062*Q))) -ALOG(Q)*((C.5+Q*(C.12498594+Q*(C.358872486+
0014 2.0*(C.133203553*Q,C.44417871*P))))
0015 RETURN
0016
0017 6 EXI=PP.
0018 7P=XP*(X1)
0019 GO TO 5
0020 7 EXI=PP.
0021 WP=XP*(X2)
0022 RETURN
0023 END

```

C
C
C
C

SUBROUTINE SLINK(AK,AM,SK,SM)
IMPLICIT REAL*(A-H,I-Z)

```

P=1.-AK*AK
C=1.-AM*AM
IF(C.EQ.0.) GOTO 6
SK=1.+P* 3.4325141+P*(0.062625(12+P*(0.047573936+0.))17365)65*P)))
1 -AL0510)P*(0.24598368+P*(0.0920018+P*(0.043696975+
2 0.0526444964*P)))
5 IF(0.EQ.0.) GOTO 7
SM=1.+P*(0.44325141+P*(0.062626012+P*(0.047573936+0.))17365)65*Q)))
1 -AL0510)P*(0.24598368+P*(0.0920018+P*(0.043696975+
2 0.0526444964*P)))
RETURN
5 SK=1.
GOTO 5
7 SM=1.
RETURN
END

```

0001
0002
0003
0004
0005
0006
0007
0008
0009
0010
0011
0012
0013
0014

```

0001      SUBROUTINE PCOEF(R1,Z1,R2,Z2,X)
0002      IMPLICIT REAL*4(A-H,O-Z)
0003
0004      PI=3.1415926
0005      PRD=PI*P2
0006      AK1=2.*SQRT (PROJ)
0007      PSL=(R1+Z1)*#2
0008      FS2=(I1-72)*#2
0009      FS3=(I1+72)*#2
0010      AK2=SQRT(P51+P52)
0011      A3=SQRT(R51+R53)
0012      AK=A31/AK2
0013      AM=AV1/AM2
0014      CALL FLINK(AK,AM,EK,EM)
0015      X= P./PI)* (K/AK2-CM/AM2)
0016      RETURN
0017      END

```

```
      C
      C
0001      SUBROUTINE FCOFF(R1,Z1,R2,Z2,RCOMP,ZCOMP)
0002      IMPLICIT REAL*(A-H,O-Z)
      C
      C
0003      PI=3.1415926
0004      AK1=2.*SQRT R1*R2)
0005      RS1=(R1+R2)**2
0006      AK2=SQRT(RS1+(Z1-Z2)**2)
0007      AM2=SQRT(RS1+(Z1+Z2)**2)
0008      AK=AK1/AK2
0009      AM=AK1/AM2
0010      CALL FLINK(AK,AM,EK,EM)
0011      CALL SLINK(AK,AM,SK,SM)
      C
      C
0012      F1=1.-AK*AK
0013      F2=1.-AM*AM
0014      G1=Z1-Z2
0015      G2=Z1+Z2
0016      H1=AK2**3
0017      H2=AM2**3
0018      P1=G1/H1
0019      P2=G2/H2
0020      ZCOMP=(2./PI)*(P1*SK/F1-P2*SM/F2)
      C
      C
0021      S1=2.*R2/(AK*AK)
0022      S2=2.*R2/(AM*AM)
0023      T1=R1+R2-S1
0024      T2=R1+R2-S2
0025      X1=(SK*T1/F1+S1*EK)/H1
0026      X2=(SM*T2/F2+S2*EM)/H2
0027      RCOMP=(2./PI)*(X1-X2)
      C
      C
0028      RTURN
0029      END
```

PAGE 0001

15/13/19

DATE = 84123

MAIN

FORTRAN IV 9 LEVEL 21

```

0001      C
0002      C
0003      SUBROUTINE SIMPS(Y,H,N,M,XINT)
0004      DIMENSION Y(N)
0005      C
0006      IF 4.NE.1) GO TO 11
0007      DO 1 J=1,N
0008      Y(J)=Y(J)*Y(J)
0009      1) CONTINUE
0010      11 CONTINUE
0011      C
0012      N=(N-1)/2
0013      ND=1
0014      SUM1=0.
0015      SUM2=0.
0016      C
0017      DO 1 I=1,NE
0018      J=2*I
0019      SUM1=SUM1+Y(J)
0020      1 CONTINUE
0021      C
0022      DO 2 I=1,ND
0023      J=2*I+1
0024      SUM2=SUM2+Y(J)
0025      2 CONTINUE
0026      C
0027      TOT=Y(1)+Y(N)+4.*SUM1+2.*SUM2
0028      XINT=TOT*H/3.
0029      RETURN
0030      END

```

```

C001 SURROUTINE PLOT(Y,NF)
C002 DIMENSION Y(NF),LINE(101),L(11)
C003 DATA JL/,/,JN,JP,JL,JBLANK/,/,/,/,/,/,/,/,/,/,/,/,/,/,/,/,/
C
C004 WRITE(6,300)
C005 300 FORMAT(11)
C006 YMAX=Y(1)
C007 YMIN=Y(1)
C008 DO 51 J=1,NF
C009   IF(Y(J).GT.YMAX)YMAX=Y(J)
C010   IF(Y(J).LT.YMIN)YMIN=Y(J)
C011 51 CONTINUE
C012 ANX=YMIN
C013 IF(YMAX.GT.ANX) ANX=YMAX
C014 ANX=ANX+1
C015 US=1/US*(ANX)
C016 DO 50 I=1,101
C017   LINE(I)=JBLANK
C018 50 CONTINUE
C
C019 N=0
C
C020
C021 DO 101 I=1,11
C022   L(I)=2*NS*(I-6)/10
C023 101 CONTINUE
C024 WRITE(6,105) L
C025 105 FORMAT(3X,11(I4,6X))
C026 GO TO 115
C027 NV=4/10-(N-1)/10
C028 IF(NV) 125,125,115
C
C029
C030 115 ND=0
C031 DO 120 I=1,10
C032   ND=ND+1
C033   LINE(ND)=JP
C034   DO 170 J=1,S
C035     ND=ND+1
C036     LINE(ND)=JN
C037 120 CONTINUE
C038 IF(I) 135,121,135
C039 121 WRITE(6,170) N,LINE
C040 170 GO TO 135
C041 DO 130 I=1,101,10
C042   LI(I)=JI
C043 130 CONTINUE

```

PAGE 0002

15/13/19

DATE = 84129

PLDT

FORTAN IV G LEVEL 21

```

0044 C 125 XMS=MS
0045 JA=125.*Y(N)*XMS/(12.*XMS)+1.49999
0046 LINE JA)=JL
0047 157 CONTINUE
C
0048 MM=MM12-(N-1)/12
0049 IF(NM) 175,175,165
0050 165 WRITE(6,171) N,LINE
0051 171 FORMAT(1X,14,101A1)
0052 3012 185
0053 175 WRITE(6,191) LINE
0054 181 FORMAT(5X,101A1)
C
0055 185 DO 190 I=1,101
0056 LINE(I)=JBLANK
0057 190 CONTINUE
0058 195 N=N+1
0059 IF(N=NF) 117,115,200
0060 200 WRITE(6,200)
0061 200 RETURN
0062 END

```

```

C
C
0001      SUBROUTINE LUSOL1(B,N1)
0002      IMPLICIT REAL*4(A-H,O-Z)
0003      DIMENSION B(N1)
0004      COMMON/NA46/A11(60,60),JPIV1(50)

C
C
0005      DO 4 I=1,N1
0006      JPIV1(I)=I
0007      II=I+1
0008      IF(ABS(A11(I,II)).LE.1.E-50) GOTO 1
0009      GOTO 15
0010      1 CONTINUE
0011      IF(I.EQ.N1) GOTO 20
0012      DO 14 J=II,N1
0013      IF(ABS(A11(J,II)).LE.1.E-50) GOTO 14
0014      JPIV1(I)=J
0015      GOTO 14
0016      14 CONTINUE
0017      GOTO 20
0018      15 DO 2 K=I,N1
0019      IPIV=JPIV1(I)
0020      PIV=A11(IPIV,K)
0021      A11(IPIV,K)=A11(I,K)
0022      2 A11(I,K)=PIV
0023      15 IF(I.EQ.N1) GOTO 3
0024      DO 3 JI=II,N1
0025      3 A11(I,JI)=A11(I,JI)/A11(I,II)
0026      DO 4 J=II,N1
0027      DO 4 K=II,N1
0028      4 A11(J,K)=A11(J,K)-(A11(J,II)*A11(I,K))
0029      3 CONTINUE

C
C
0030      ENTRY FWRAC1(B,N1)
0031      IFR=1
0032      54 DO 51 I=1,N1
0033      IPIV=JPIV1(I)
0034      IF(IPIV.LE.1) GOTO 61
0035      J=I
0036      PIVA=3(I)
0037      62 PIV=9(IPIV)
0038      B(IPIV)=PIVA
0039      JPIV1(JI)=-IPIV
0040      J=IPIV
0041      IPIV=JPIV1(J)
0042      PIV*=PIV
0043      IF(IPIV.GT.0) GOTO 62
0044      51 CONTINUE
0045      DO 53 I=1,N1
0046      53 JPIV1(I)=IABS(JPIV1(I))
0047      GOTO (65,165),IFB

C
C
0048      55 DO 31 K=1,N1
0049      SUM=0.

```



```

0052 IF (K.FO.1) GOTO 41
0053 MM=K-1
0054 DO 51 J=1,MM
0055   51 SUM=SUM+ALL(K,J)*R(J)
0056   41 B(K)=(1./ALL(K,K))*(B(K)-SUM)
0057   31 CONTINUE
C
0058 DO 71 LL=1,NI
0059   K=(NI+1)-LL
0060   SUM=0.
0061   IF (K.FO.NI) GOTO 81
0062   KK=K+1
0063   DO 71 J=KK,NI
0064     71 SJA=SUM+ALL(K,J)*B(J)
0065     81 B(K)=R(K)-SUM
0066     31 CONTINUE
0067   21 WRITE(6,21)
0068   21 FORMAT('EQUATIONS ARE LINEARLY DEPENDENT')
0069   STOP
0070   33 CONTINUE
0071   RETURN
C
0072 ENERGY F99711(0,NI)
0073 I63=2
0074   GOTO 64
C
0075 DO 165 LL=1,NI
0076   L=K-1
0077   SUM=0.
0078   DO 151 J=1,L
0079     151 SUM=SUM+ALL(J,K)*B(J)
0080     B(K)=R(K)-SUM
0081   131 CONTINUE
C
0082 DO 191 LL=1,NI
0083   K=NI-LL+1
0084   SUM=0.
0085   IF (K.FO.NI) GOTO 181
0086   KK=K+1
0087   DO 171 J=KK,NI
0088     171 SUM=SUM+ALL(J,K)*B(J)
0089     181 B(K)=(R(K)-SUM)/ALL(K,K)
0090   191 CONTINUE
0091   RETURN
0092   END

```

PAGE 0001

15/13/19

DATE = 04128

LUSOL2

FORTRAN IV 9 LEVEL 21

```

0001 SUBROUTINE LUSOL2(B,M6)
0002 IMPLICIT REAL*4(A-H,O-Z)
0003 DIMENSION R(M6)
0004 COMMON/AM7/A22(15,15),JP1V2(15)
      C
0005 DO 4 I=1,M6
0006   JP1V2(I)=I
0007   I1=I+1
0008   IF(A22(I,I)).LE.1.E-5) GOTO 1
0009   GOTO 15
0010 1 CONTINUE
0011 IF(I.EQ.M6) GOTO 25
0012 DO 14 J=I1,M6
0013   IF(A22(J,I)).LE.1.E-5) GOTO 14
0014   JP1V2(I)=J
0015   GOTO 14
0016 14 CONTINUE
0017   GOTO 25
0018 DO 3 K=1,M6
0019   I1V=JP1V2(I)
0020   R1V=A22(I1V,K)
0021   A22(I,K)=R1V
0022 2 A22(I,K)=R1V
0023 15 IF(I.EQ.M6) GOTO 3
0024 DO 3 J=I1,M6
0025   A22(I,J)=A22(I,JP1V2(I))
0026 DO 4 J=I1,M6
0027   DO 4 K=I1,M6
0028   A22(J,K)=A22(J,K)-(A22(J,I)*A22(I,K))
0029 3 CONTINUE
      C
0030 ENTRY FWDQ2(Q,M5)
0031 IF3=1
0032 DO 61 I=1,M6
0033   I1V=JP1V2(I)
0034   IF(I1V.LE.1) GOTO 61
0035   J=I
0036   R1VA=R(I)
0037   R1V=Q(I1V)
0038   R(I1V)=R1VA
0039   JP1V2(J)=I1V
0040   J=I1V
0041   I1V=JP1V2(J)
0042   R1VA=R1V
0043   IF(I1V.GT.1) GOTO 62
0044 51 CONTINUE
0045 DO 53 I=1,M6
0046   JP1V2(I)=IARS(JP1V2(I))
0047   GOTO (65,165),IF3
      C
0048 DO 31 K=1,M6
0049   SQR=
0050   IF(K.EQ.1) GOTO 41
0051   M5=K-1
0052   DO 51 J=1,M5

```

PAGE 0002

15/13/19

DATE = 84129

LUSO-2

FORTRAN IV C LEVEL 21

```

0053 51 SUM=SUM+A22(K,J)*B(J)
0054 41 R(K)=1./A22(K,K))*(R(K)-SUM)
0055 31 CONTINUE
C
0056 DO 31 LL=1,M6
0057 K=(M6+1)-LL
0058 SUM=0.
0059 IF(K.LO.M6) GO TO 81
0060 KK=M+1
0061 DO 71 J=KK,M6
0062 SUM=SUM+A22(K,J)*B(J)
0063 81 R(K)=R(K)-SUM
0064 91 CONTINUE
0065 GO TO 30
0066 21 WRITE(6,21)
0067 21 FORMAT('EQUATIONS ARE LINEARLY DEPENDENT')
0068 STOP
0069 33 CONTINUE
0070 RETURN
C
0071 ENTRY EXRMT2(R,M6)
0072 I=2
0073 GO TO 64
C
0074 DO 131 K=2,M6
0075 L=K-1
0076 SUM=0.
0077 DO 151 J=1,L
0078 SUM=SUM+A22(J,K)*B(J)
0079 R(K)=R(K)-SUM
0080 131 CONTINUE
C
0081 DO 101 LL=1,M6
0082 K=M6-LL+1
0083 SUM=0.
0084 IF K.LO.M6) GO TO 181
0085 KK=K+1
0086 DO 171 J=KK,M6
0087 SUM=SUM+A22(J,K)*B(J)
0088 R(K)=R(K)-SUM/A22(K,K)
0089 181 CONTINUE
0090 RETURN
0091 END

```

```

0001      SUBROUTINE SHIF1(RD,N,HP,3B,DT,RMIN,LCOV)
0002      IMPLICIT REAL*4(A-F,D-Z)
0003      DIMENSION RATIO(3B),PHSI(3B),RD(3B)
0004      PI=3.1415926
0005      DELTA=2.*PI/FLOAT(N)
0006      IHE=NR
0007      DO 1 I=1,N
0008         RATIO(I)=0.
0009         PHSI(I)=0.
0010      1 CONTINUE
0011
0012      ALPHA=DELTA/2.
0013      AFAC=1.5*SIN(DELTA)
0014      XFAC=3.*COS(ALPHA)
0015      AP=AE1.
0016      XPH=AE2.
0017      YPH=ED.
0018      DO 11 J=1,N
0019         CETA=DELTA*FLOAT(J-1)
0020         IF(J.EQ.N) GO TO 12
0021         K=J+1
0022         GO TO 13
0023      12      K=1
0024         DELTA=PI*(J+K)/AFAC
0025         POCEN=100*(J+K)/XFAC
0026         TEGEN=CETA*ALPHA
0027         YGEN=POCEN*SIN(TEGEN)
0028         XGEN=POCEN*COS(TEGEN)
0029         AP=ARU+J*ELAR
0030         XPH=XPH+DELAR*XGEN
0031         YPH=YPH+DELAR*YGEN
0032      11 CONTINUE
0033      XDT=XPH/ARFA
0034      YDT=YPH/ARFA
0035      RD=RD-XDT
0036      HP=HP+YDT
0037      PLI=RD-1.3*DT
0038
0039      DO 14 K=1,N
0040         J=K+4
0041         CETA=DELTA*FLOAT(K-1)
0042         S1=20*(K)*COS(CETA)-YDE
0043         S2=20*(K)*SIN(CETA)-XDEL
0044         RATIO J=S2*(S1**2+S2**2)
0045      14 CONTINUE
0046      NV2=5
0047      DIST=0.1*(NV2)
0048      PHSI(NV2)=AP*SI*(-XDT/DIST)
0049
0050      DO 15 J=2,N
0051         K=J-1
0052         I=1+K

```

```

0057 M=K+4
0051 DELR=FO(J)**2+RO(K)**2-2.*RO(J)*RO(K)*COS(DELTA)
0052 ARG=(PAID(L)**2+RAID(J)**2-DELTA*(L**2-DELTA)*RAID(L)*RAID(J))
0053 DELPHI=ARCOS(ARG)
0054 PHSI(L)=PHSI(M)+DELPHI
0055

```

15 CONTINUE

C

```

0056 DO 16 L=1,4
0057 J=L+N
0058 K=J+4
0059 M=L+4
0060 RAID(L)=RAID(J)
0061 PHSI(L)=PHSI(J)-2.*PI
0062 RAID(K)=RAID(M)
0063 PHSI(K)=PHSI(M)+2.*PI
0064

```

15 CONTINUE

C

```

0055 DO 17 J=1,N
0056 CO=DELTA*ELCATT(J-1)
0057 DO 18 K=1,N
0058 L=K+4
0059 QETA=PHSI(L)
0060 IF(QETA.LT.X0) GOTO 18
0061 KSAVE=L
0062 GOTO 19

```

18

19

C

```

CONTINUE
CONTINUE
KNT=KSAVE-2
KMP=KSAVE-1
KMQ=KSAVE
KMA=KSAVE+1
X1=PHSI(KM1)
X2=PHSI(KM2)
X3=PHSI(KM3)
X4=PHSI(KM4)
Y1=RAID(KM1)
Y2=RAID(KM2)
Y3=RAID(KM3)
Y4=RAID(KM4)
X1=X1-Y1
X2=X2-Y2
X3=X3-Y3
X4=X4-Y4
X1=X1-X2
X2=X2-X3
X3=X3-X4
X1=X1-X3
X1=X1-X4
X2=X2-X3
X2=X2-X4
X3=X3-X4
X4=X4-X3
X4=X4-X4
DO 11 I=1,K22*K23*K24/(X1*X2*X3*X4)-
1 Y2*X11*X03*X04/(X12*X23*X24)+
2 Y3*X01*X02*X04/(X12*X23*X34)-
3 Y4*X01*X02*X03/(X14*X24*X34)
IF(ABS(X1).LT.RMIN) X0(J)=RMIN
IF(ABS(X4).LT.RMIN) X0(J)=RMIN
CALL FPO(J)*SIR(XJ)

```

1

2

3

0059
0060
0061

FORTRAN IV G LEVEL 21

SHIFT

DATE = 84128

15/13/19

PAGE 0003

0101
0102
0103
0104

IF (LIM.GT.RLIM) RD(J)=RLIM/SIN(X)
17 CONTINUE
RETURN
END

```

C001 SUBROUTINE ANALYS(NX)
C002 IMPLICIT REAL*4(A-H,O-Z)
C003 DIMENSION C(22),CGS(21),CCL(21),CCM(21),C25(21),ECAB1(5),
C004 1 COMON/NAME/DESP(21),CO(21),Y1A(21),Y1B(21),Y1C(21),Y1D(21),
C005 1 ST,CL(21),SM(21),REF1,REF2,AVINP,PSCAL,Z1,Z2,DELTA,YK,RLDSS,
C006 2 SGL,SG2,SD,SIDR,SLTOR,SL1,SG,GA,HI,H2,HO,HUTOR,SKTR3,RZP2,
C007 3 HI,FL,VI,TR,SCOSC,SCAP,VDSC,N,NY,NV,NI,NI1,NP
C008 COMON/NAME/FE,FE11,AA,AD1,AD2,AK,M,MI,MP,ML,NM,NS,NS
C009 COMON/NAME/SC(21),SCH(21),CL(21),C(21),CC(21),CCS,CS,CKK,K3S,
C010 1 3,APTOP,GRU,GIOR,AL2,GP2,CL2
C011 COMON/NAME/AMAL(21,21),AMATC(21,21),AVECT1(21),AVECT2(21),AVECT3(21),
C012 1 MATCK(21),YFE=SP(21),RVCT1(21),RVCT2(21),RVCT3(21),
C013 2 RVCT4(21)
C014
C015 C01=0
C016 C13=0
C017 C1X=0
C018 C1K=0
C019
C020 DO 3 I=1,M1
C021 J=I+1
C022 CGS(I)=0
C023 CCL(I)=0
C024 CCM(J)=0
C025 CGS(J)=0
C026 3 CONTINUE
C027
C028 DO 4 I=1,5
C029 ECAB1(I)=0
C030 FCAB2(I)=0
C031 4 CONTINUE
C032 DO 5 I=1,10
C033 CGS(I)=0
C034 CGS2(I)=0
C035 5 CONTINUE
C036
C037 CGS(1)=0
C038 CGS(10)=0
C039 CL2=0
C040 CLTOP=0
C041 CKTOP=0
C042 CLD=0
C043 CGS(6)=0
C044 TSLIS=1.5
C045
C046 K1=1
C047 K2=1
C048 DO 100 I=1,NV
C049 A03=FLOAT(I-1)/TRISE

```

```

0030 IF(ARG.GT.89.1) ARG=88.
0040 ARG=-ARG
0041 EXC=EX*(ARG)
0042 IF(NX.CO.1) EIND=VIND*(FLDNY(1-1)-TRISE*(1.-EXG))
0043 IF(NY.CO.0) FIND=0.
0044 V1=C(1)+I*P+P*E2*(C1)+CLD1
0045 V1=(Z1/Z2.J)*(CL1+3JX)
C
0046 JK1=I-(K1-1)*I**
0047 JK2=I-(K2-1)*I**
0048 CORX1=SCAR*COR2(JK2)-COR2(JK1)
0049 CORX2=SCAR*COR1(JK2)-COR1(JK1)
C
0050 C(I)=CIX-CCL(I)+CGG(I)+CCS(I)+CCM(I)-CLTR
0051 DO 3 J=2,M
0052 K=J-1
0053 C(J)=C(I)-CCL(J)+CCS(J)-CCS(K)+CCM(J)+CGG(J)
0054 C(J)=CCL(M1)-CL2+CGG(M1)-CCS(M1)+CCM(M1)+CORX1
0055 C(M1)=CLTR+CLTR
C
0057 DO 31 J=2,M
0058 C(M1)=CLM1-CCM(J)
0059 31 CONTINUE
C
0060 C(I)=C(I)/Y110(I)
0061 DO 31 J=2,M
0062 K=J-1
0063 C(J)=C(I)/Y110(J)-Y110(K)*C(K)
0064 31 CONTINUE
C
0065 DO 32 J=1,M1
0066 K=J-1
0067 L=K+1
0068 C(K)=C(K)-Y110(K)*C(L)
0069 32 CONTINUE
C
0070 CSJM=-CLTR*C(I)
0071 DO 33 J=2,M
0072 CSJM=CSJM-GM(J)*C(J)
0073 33 CONTINUE
C
0074 C(M1)=(C(M1)-CSJM)/YKK
0075 DO 34 J=1,M
0076 C(J)=C(J)-C(M1)*Y12(J)
0077 34 CONTINUE
C
0078 IF(NX.CO.1) GO TO 102
0079 VDJT=(CORX2+CORS1)/YDSC
0080 SFC(I)=VDJT
0081 DO 1 J=2,M
0082 K=J-1
0083 SFC(K)=SFC(K)+I*(C(K)-C(J))*SS-CCS(K1)/RSCAL

```



```

0094 AMATCL(J,I)=GL(J)*C(J)-CC(J)/RSCAL
0095 AMATCM(I,I)=(GM(J)*C(J)-2*(MP))-CCM(J)/PSCAL
0096 CONTINUE
0097 IF(C(L1),GT,0.) AMATCL(I,I)=(GL(I)*C(I)-CC(I))/RSCAL
0098 IF(C(M1),GT,0.) AMATCM(I,I)=(GM(I)*C(I)-2*(MP))-CCM(I)/PSCAL
0099 AMATCK(I)=(C(MP)*KTR-CK(I))/PSCAL
0100 RVECT1(I)=SIMP-V2
0101 RVECT2(I)=C(I)-CLMP
0102 RVECT3(I)=R2*(M1+CL2)/RSCAL
0103 RVECT4(I)=(1.-R2*(S2)*C(M)-R2*CL2
0104 GO TO 104
C
0105 C
0106 100 CONTINUE
0107 V(J)=CORX2+CORS-YRESP(I)/YDSC
0108 DO 103 J=2,N
0109 K=J-1
0110 AMATCS(K,I)=AMTCS(K,I)*(C(K)-C(J))
0111 AMATCL(I,I)=AMATCL(J,I)*C(J)
0112 AMATCM(I,I)=AMATCM(J,I)*(C(I)-C(MP))
0113 CONTINUE
0114 IF(C(L1),GT,0.) AMATCL(I,I)=AMATCL(I,I)*C(I)
0115 IF(C(M1),GT,0.) AMATCM(I,I)=AMATCM(I,I)*(C(I)-2*(MP))
0116 AMATCK(I)=AMATCK(I)*C(MP)
0117 RVECT1(I)=RVECT1(I)*(CLD+SD*(SIMP-V1))/PSCAL
0118 RVECT2(I)=RVECT2(I)*(CLTR+SLTR*(C(I)-C(MP)))/PSCAL
0119 RVECT3(I)=RVECT3(I)*(S2*(M1+CL2)/PSCAL
0120 RVECT4(I)=RVECT4(I)*(S2*(M1+CL2)/RSCAL
0121 CONTINUE
C
0122 C
0123 CINT=C11
0124 CL1=CLAVI-HL*CLD
0125 CL2=CLAV -HL*CLTR
0126 CINT=C1X
0127 CLX=FL*G(I)-HL*CLX
0128 CLY=FL*AVI-HL*CLY
C
0129 C
0130 C(X1(J,K2)=C(M)
0131 SCAR2(J,K2)=VNU1
0132 C(X1(J,K1)=SCAR(V)JT-CORX2
0133 C(X2(J,K1)=SCAR(C(M)-CORX1
0134 IF(C(L1),GT,0.) K1=K1+1
0135 IF(LK2,GT,0.5) K2=K2+1
C
0136 C
0137 DO 200 J=1,41
0138 K=J+1
0139 C(X(J)=2.*SG*(C(J)-C(K))-CC(S(J)
0140 C(L(J)=SG*(C(J)-C(K))+HL*CL(L)
0141 C(X(K)=2.*SG*(K)*C(K)-C(MP))-CCM(K)
0142 C(X(K)=2.*SL*(K)*C(K)-CCG(K)
0143 CONTINUE
0144 C(X(I)=2.*S3(I)*C(I)-CCG(I)
0145 C(L)=CGG(C(M)+M2*CL2
0146 CL=CGG(C(M)+M2*CL2
0147 CL=CGG(C(M)+M2*CL2
0148 CL=CGG(C(M)+M2*CL2
0149 CL=CGG(C(M)+M2*CL2
0150 CL=CGG(C(M)+M2*CL2

```

PAGE 0004

15/13/19

DATE = 84128

ANALYS

FORTRAN IV G LEVEL 21

```

0134 CLTOP=STOR*(C(1)-C(MP1))+HLDR*CLTOR
0135 CORDS=2.*GCOSC*VOJT-CORUS
0136      1.000 CONFINJE
      C
0137      RETURN
0138      END

```

```

0001      SUBROUTINE FUNCT
0002      IMPLICIT REAL*4(A-H,O-Z)
0003      COMMON/NAME/RESP(21),ALO(21),Y11A(21),Y11J(21),Y11C(21),Y12(21),
0004      1  ST,AL(21),SM(21),REF1,REF2,VIND,PCAL,71,72,DELTA,YKK,RLOSS,
0005      2  SG1,SG2,SG3,STOR,GLTOR,SL,SG,HL,42,43,44,HLTOR,34TOR,RZP2,
0006      3  M,HL,HL1,TK,SSSC,SGAR,VSCH,N,M,NY,NL,NVL,XP
0007      COMMON/NAME2/FEDEL,AM,NQ1,902,PK,M,M1,MP,ML,NP,NB,N5
0008      COMMON/NAME3/AL(21),GCM(21),GL(21),CM(21),CCS,GS,SKK,SKK,35,
0009      1  DP,PTOR,RD,GTOR,RZ,AL2,GR2,SL2
0010      COMMON/NAME4/AMTCL(21,21),AMATCH(21,21),AMTCS(21,21),
0011      1  AMYCK(2 1),YRESP(21),RVCLT(2 1),RVCTP(21),RVCTB(21),
0012      2  PVECT4(2 1)
0013
0014      PLD=2.4(1)/4.1*XD
0015      GY=PO*PLD
0016      ELTOP=2.*(25./4.1)*RTOR
0017      GQ=1./((90+91.0)
0018      GLTOR=1./((PTOR+RLTOR)
0019      HL=20.*ALD-CO)
0020      HLTOR=GLTOR*(GLTOR-RTOR)
0021      SG2=GS*(1.+40)
0022      STOR=GLTOR*(1.+HLTOR)
0023      PL2=2.*AL2
0024      G2=1./((92+91.2)
0025      H2=92*(91.2-92)
0026      SG2=GS*(1.+42)
0027      RZ2=RZ*(92+Z2)
0028      PEE1=Z1/(90+Z1)
0029      PEE2=Z1*(90)/(71+90)
0030      VIND=1.+RD+ST+RLDSS1/RZP2
0031
0032      GS=2.*CS
0033      CO 1 I=1,M
0034      GM(I)=2.*CM(I)
0035      GL I=2.*GL I)
0036      1 CONTINUE
0037      GLTOR=2.*CKK
0038
0039      DO 2 I=1,M
0040      Y11A(I)=-((S1+GS)
0041      Y11P(I)=2.*(GL+GS)+GL(I)+SM(I)
0042      2 CONTINUE
0043      Y11A(I)=1./Z1+GL+GLTOR*GS+SL(I)
0044      Y11A(M)=GL+G2+1./Z2+GS+GL(M)+SM(M)
0045
0046      DO 3 I=2,M
0047      J=I-1
0048      Y11P(I)=Y11P(I)-Y11A(J)+Y11A(J)/Y11P(J)
0049      Y11C(J)=Y11A(J)/Y11P(J)
0050      Y11A(J)=Y11A(J)/Y11P(J)
0051      3 CONTINUE

```

```

C
C
0042      Y12(I)=-GLTOR
0043      DO 4 I=2,M
0044      Y12(I)=-GM(I)
0045      4 CONTINUE

C
C
0046      YKK=OKTOR+GLTOR
0047      DO 5 I=2,M
0048      YKK=YKK+GM(I)
0049      5 CONTINUE

C
C
0050      Y12(I)=Y12(I)/Y11B(I)
0051      DO 6 I=2,M
0052      J=I-1
0053      Y12(I)=Y12(I)/Y11B(I)-Y11A(J)*Y12(J)
0054      6 CONTINUE

C
C
0055      DO 7 I=1,M1
0056      J=I-1
0057      K=J+1
0058      Y12(J)=Y12(J)-Y11C(J)*Y12(K)
0059      7 CONTINUE

C
C
0060      SJ*=-GLTOR*Y12(I)
0061      DO 8 I=2,M
0062      SUM=SUM-GM(I)*Y12(I)
0063      8 CONTINUE
0064      YKK=YKK-SUM

C
C
0065      NX=1
0066      CALL ANALYS(NX)
0067      WRITE(6,19)
0068      19 FORMAT('1',//,50X,'RESP(I)',/)
0069      WRITE(6,100)(RESP(I),I=1,NV)

C
C
0070      DO 200 I=1,NV
0071      IF(I.LE.NP) GO TO 200
0072      YRESP(I)=1.-RESP(I)/EO(I)
0073      200 CONTINUE
0074      DO 201 I=1,MP
0075      YRESP(I)=1.
0076      201 CONTINUE
0077      CALL SIMPS(YRESP,DELTA,NV,D,TS)
0078      CALL SIMPS(YRESP,DELTA,NV,1,F)
0079      F=F/2.
0080      DO 202 I=1,NV
0081      IF(I.LE.NP) GO TO 202
0082      YRESP(I)=(RESP(I)/EO(I)-1.)/EO(I)
0083      202 CONTINUE
0084      DO 203 I=1,MP
0085      YRESP(I)=1.

```

```

0085      203 CONTINUE
0087      KNP=NN-100
0088      PF=(XI-1.)/FLOAT(100)
0089      DO 2 4 I=KNP,NN
0090      YRESP(I)=YRESP(I)*(1.+PF*FLOAT(I-KNP))
0091      204 CONTINUE
      C
      C
0092      DO 11 I=2,M
0093      L=I-1
0094      DO 11 J=1,NY
0095      K=NI+1-J
0096      X1=AMATCS(I,J)
0097      X2=AMATCL(I,J)
0098      X3=AMATCH(I,J)
0099      AMATCS(L,J)=AMATCS(L,K)
0100      AMATCL(I,J)=AMATCL(I,K)
0101      AMATCH(I,J)=AMATCH(I,K)
0102      AMATCS(L,K)=X1
0103      AMATCL(I,K)=X2
0104      AMATCH(I,K)=X3
0105      11 CONTINUE
      C
      C
0106      DO 12 J=1,NY
0107      K=NI+1-J
0108      Y1=YRESP(J)
0109      Y3=AMATCH(J)
0110      YRESP(J)=YRESP(K)
0111      AMATCH(J)=AMATCH(K)
0112      YRESP(K)=Y1
0113      AMATCH(K)=Y3
0114      D1=RVECT1(J)
0115      D2=RVECT2(J)
0116      D3=RVECT3(J)
0117      D4=RVECT4(J)
0118      RVECT1(J)=RVECT1(K)
0119      RVECT2(J)=RVECT2(K)
0120      RVECT3(J)=RVECT3(K)
0121      RVECT4(J)=RVECT4(K)
0122      RVECT1(K)=D1
0123      RVECT2(K)=D2
0124      RVECT3(K)=D3
0125      RVECT4(K)=D4
0126      IF (C(1).L.E..1) GO TO 121
0127      Y2=AMATCL(1,J)
0128      AMATCL(1,J)=AMATCL(1,K)
0129      AMATCL(1,K)=Y2
0130      GO TO 12
0131      121 CONTINUE
0132      Y3=AMATCH(1,J)
0133      AMATCH(1,J)=AMATCH(1,K)
0134      AMATCH(1,K)=Y3
0135      12 CONTINUE
      C
      C
0136      NX=1
0137      CALL ANALYS(NX)

```

```

1130      GCS=0.
1131      DO 14 I=1,M1
1132      DO 13 J=1,N1
1133      YRESP(I)=AMATCS(I,J)
1134      CONTINUE
1135      CALL SIMPS(YRESP,DELTA,NN,J,XINT)
1136      GCS=GCS+XINT
1137      CONTINUE
1138      GCS=GCS/CS
1139
1140      DO 16 I=2,M
1141      DO 15 J=1,NN
1142      YRESP(J)=AMATGL(I,J)
1143      CONTINUE
1144      CALL SIMPS(YRESP,DELTA,NN,J,XINT)
1145      GCL(I)=XINT/G(I)
1146      CONTINUE
1147
1148      DO 18 I=2,M
1149      DO 17 J=1,NN
1150      YRESP(J)=AMATCM(I,J)
1151      CONTINUE
1152      CALL SIMPS(YRESP,DELTA,NN,J,XINT)
1153      GCM(I)=XINT/GM(I)
1154      CONTINUE
1155
1156      YFCL(1),LE,0,1 GO TO 181
1157      GCL(1)=0.
1158      DO 199 I=1,NN
1159      YRESP(I)=AMATCL(1,I)
1160      CONTINUE
1161      CALL SIMPS(YRESP,DELTA,NN,J,XINT)
1162      GCL(1)=XINT/GCL(1)
1163      GO TO 193
1164      CONTINUE
1165      GCL(1)=0.
1166      DO 192 I=1,NN
1167      YRESP(I)=AMATCM(1,I)
1168      CONTINUE
1169      CALL SIMPS(YRESP,DELTA,NN,J,XINT)
1170      GCM(1)=XINT/GM(1)
1171      CONTINUE
1172      CALL SIMPS(AMATCK,DELTA,NN,J,XINT)
1173      GCK=XINT/GCK
1174      CALL SIMPS(EVECT1,DELTA,NN,J,XINT1)
1175      CALL SIMPS(EVECT2,DELTA,NN,J,XINT2)
1176      CALL SIMPS(EVECT3,DELTA,NN,J,XINT3)
1177      CALL SIMPS(EVECT4,DELTA,NN,J,XINT4)
1178      GDE=XINT1/GD
1179      GDE=XINT2/GD
1180      GDE=XINT3/GD
1181      GDE=XINT4/GD
1182
1183
1184
1185
1186
1187
1188
1189
1190
1191
1192
1193
1194
1195
1196
1197
1198
1199
1200
1201
1202
1203
1204
1205
1206
1207
1208
1209
1210
1211
1212
1213
1214
1215
1216
1217
1218
1219
1220
1221
1222
1223
1224
1225
1226
1227
1228
1229
1230
1231
1232
1233
1234
1235
1236
1237
1238
1239
1240
1241
1242
1243
1244
1245
1246
1247
1248
1249
1250
1251
1252
1253
1254
1255
1256
1257
1258
1259
1260
1261
1262
1263
1264
1265
1266
1267
1268
1269
1270
1271
1272
1273
1274
1275
1276
1277
1278
1279
1280
1281
1282
1283
1284
1285
1286
1287
1288
1289
1290
1291
1292
1293
1294
1295
1296
1297
1298
1299
1300
1301
1302
1303
1304
1305
1306
1307
1308
1309
1310
1311
1312
1313
1314
1315
1316
1317
1318
1319
1320
1321
1322
1323
1324
1325
1326
1327
1328
1329
1330
1331
1332
1333
1334
1335
1336
1337
1338
1339
1340
1341
1342
1343
1344
1345
1346
1347
1348
1349
1350
1351
1352
1353
1354
1355
1356
1357
1358
1359
1360
1361
1362
1363
1364
1365
1366
1367
1368
1369
1370
1371
1372
1373
1374
1375
1376
1377
1378
1379
1380
1381
1382
1383
1384
1385
1386
1387
1388
1389
1390
1391
1392
1393
1394
1395
1396
1397
1398
1399
1400
1401
1402
1403
1404
1405
1406
1407
1408
1409
1410
1411
1412
1413
1414
1415
1416
1417
1418
1419
1420
1421
1422
1423
1424
1425
1426
1427
1428
1429
1430
1431
1432
1433
1434
1435
1436
1437
1438
1439
1440
1441
1442
1443
1444
1445
1446
1447
1448
1449
1450
1451
1452
1453
1454
1455
1456
1457
1458
1459
1460
1461
1462
1463
1464
1465
1466
1467
1468
1469
1470
1471
1472
1473
1474
1475
1476
1477
1478
1479
1480
1481
1482
1483
1484
1485
1486
1487
1488
1489
1490
1491
1492
1493
1494
1495
1496
1497
1498
1499
1500
1501
1502
1503
1504
1505
1506
1507
1508
1509
1510
1511
1512
1513
1514
1515
1516
1517
1518
1519
1520
1521
1522
1523
1524
1525
1526
1527
1528
1529
1530
1531
1532
1533
1534
1535
1536
1537
1538
1539
1540
1541
1542
1543
1544
1545
1546
1547
1548
1549
1550
1551
1552
1553
1554
1555
1556
1557
1558
1559
1560
1561
1562
1563
1564
1565
1566
1567
1568
1569
1570
1571
1572
1573
1574
1575
1576
1577
1578
1579
1580
1581
1582
1583
1584
1585
1586
1587
1588
1589
1590
1591
1592
1593
1594
1595
1596
1597
1598
1599
1600
1601
1602
1603
1604
1605
1606
1607
1608
1609
1610
1611
1612
1613
1614
1615
1616
1617
1618
1619
1620
1621
1622
1623
1624
1625
1626
1627
1628
1629
1630
1631
1632
1633
1634
1635
1636
1637
1638
1639
1640
1641
1642
1643
1644
1645
1646
1647
1648
1649
1650
1651
1652
1653
1654
1655
1656
1657
1658
1659
1660
1661
1662
1663
1664
1665
1666
1667
1668
1669
1670
1671
1672
1673
1674
1675
1676
1677
1678
1679
1680
1681
1682
1683
1684
1685
1686
1687
1688
1689
1690
1691
1692
1693
1694
1695
1696
1697
1698
1699
1700
1701
1702
1703
1704
1705
1706
1707
1708
1709
1710
1711
1712
1713
1714
1715
1716
1717
1718
1719
1720
1721
1722
1723
1724
1725
1726
1727
1728
1729
1730
1731
1732
1733
1734
1735
1736
1737
1738
1739
1740
1741
1742
1743
1744
1745
1746
1747
1748
1749
1750
1751
1752
1753
1754
1755
1756
1757
1758
1759
1760
1761
1762
1763
1764
1765
1766
1767
1768
1769
1770
1771
1772
1773
1774
1775
1776
1777
1778
1779
1780
1781
1782
1783
1784
1785
1786
1787
1788
1789
1790
1791
1792
1793
1794
1795
1796
1797
1798
1799
1800
1801
1802
1803
1804
1805
1806
1807
1808
1809
1810
1811
1812
1813
1814
1815
1816
1817
1818
1819
1820
1821
1822
1823
1824
1825
1826
1827
1828
1829
1830
1831
1832
1833
1834
1835
1836
1837
1838
1839
1840
1841
1842
1843
1844
1845
1846
1847
1848
1849
1850
1851
1852
1853
1854
1855
1856
1857
1858
1859
1860
1861
1862
1863
1864
1865
1866
1867
1868
1869
1870
1871
1872
1873
1874
1875
1876
1877
1878
1879
1880
1881
1882
1883
1884
1885
1886
1887
1888
1889
1890
1891
1892
1893
1894
1895
1896
1897
1898
1899
1900
1901
1902
1903
1904
1905
1906
1907
1908
1909
1910
1911
1912
1913
1914
1915
1916
1917
1918
1919
1920
1921
1922
1923
1924
1925
1926
1927
1928
1929
1930
1931
1932
1933
1934
1935
1936
1937
1938
1939
1940
1941
1942
1943
1944
1945
1946
1947
1948
1949
1950
1951
1952
1953
1954
1955
1956
1957
1958
1959
1960
1961
1962
1963
1964
1965
1966
1967
1968
1969
1970
1971
1972
1973
1974
1975
1976
1977
1978
1979
1980
1981
1982
1983
1984
1985
1986
1987
1988
1989
1990
1991
1992
1993
1994
1995
1996
1997
1998
1999
2000

```

PAGE 0005

15/13/19

DATE = 84123

FUNCT

FORTRAN IV G LEVEL 21

```

0197      WRITE(4,21) GCS,GCKK,F,TS
0198      22 FORMAT(//,2X,'GCS=',E14.5,2X,'GCKK=',E14.5,2X,
0199      'F=',E14.5,'TS=',E14.5)
0199      100 FORMAT(1,12,4)
0199      PRINTN
0199      END

```

```

SUBROUTINE FIELD
IMPLICIT REAL*4(A-H,O-Z)
DIMENSION A2(1:15,6:1,8:1),V(21,57),VDUM(15),VDUM2(6),VK1(57),E(21),
1 V(21),CAL(6),Z(1:15),CA2(6),CA2(15),CA1(5),CA2(4),
2 C(1:15),CB(2:15),FD(6),RC(6),CSI(6),ZC1(5),ZS1(6),
3 C(21),Z(21),CS(21),CX(21),CY(21),ZC(21),ZC(21),
4 ZC1(21),ZC1(21),ALPHA(6),BETA(6)
COMMON/HAM2/FI,FJ,LI,AV,NF1,NF2,MK,M*1,M*2,M,N,N*NS
COMMON/HAM3/RZ(21,15),VK2(15),RC2(15),RC2(15),ZC2(15),
5 ZS2(15),H(21)
COMMON/HAM4/S1(28),K(1:4),J(64)
COMMON/HAM5/GC1(21),GC2(21),CL(21),F4(21),GCS,GS,GSKK,SKK,SS,
6 R2,R10,CR0,C10P,T2,AL2,CR2,CL2
COMMON/HAM6/ALL(6),C(3),JPIV(6)
COMMON/HAM7/R22(15,15),JPIV2(15)
COMMON/HAM8/P4IN,TH,HP,UB,DP,HP2,RP2,DP2,DP2,DT
C
R2=RC(M)
R10=RC(NM)
T2=RC(MP)
AL2=RC(NS)
C
PI = 3.14159
DO 1 I=1,NPI
CTETA=PI*FLOAT(I-1)
RC1(I)=PI*SQ(I)*SIN(CTETA)
ZC1(I)=HP*SQ(I)*COS(CTETA)
RC2(I)=PI*AU*SQ(I)*SIN(CTETA)
ZS1(I)=HP*AU*SQ(I)*COS(CTETA)
J=I+91
RC1(J)=R2-R1(J)*SIN(CTETA)
ZC1(J)=R2+R1(J)*COS(CTETA)
RC1(J)=R2-AH*R3(J)*SIN(CTETA)
ZC1(J)=R2+AH*R3(J)*COS(CTETA)
1 CONTINUE
C
DO 2 I=1,NK
FI=RC1(I)
Z1=ZC1(I)
DO 3 J=1,MK
R2=RS1(J)
Z2=ZS1(J)
CALL PCOEF(R1,Z1,R2,Z2,X)
ALL(I,J)=X
2 CONTINUE
DO 3 I=1,NQ2
R1=RC2(I)
Z1=ZC2(I)
DO 3 J=1,NK
R2=RS1(J)
Z2=ZS1(J)
CALL PCOEF(P1,Z1,R2,Z2,X)
AP1(I,J)=X
3 CONTINUE
C

```



```

0045 C
0046 DC 6 J=1,NK
0047 DC 5 I=1,NQ2
0048 VDJM(I)=A21(I,J)
0049 5 CONTINUE
0050 CALL FPKWC2(VDUM,NQ2)
0051 DC 5 I=1,NQ2
0052 AP1(I,J)=VDUM(I)
0053 6 CONTINUE
0054 8 CONTINUE
C
0055 DO 12 I=1,NK
0056 R1=RC1(I)
0057 Z1=ZC1(I)
0058 DO 6 J=1,NQ2
0059 R2=RC2(J)
0060 Z2=ZC2(J)
0061 CALL PCORF(R1,Z1,R2,Z2,X)
0062 VJPM(IJ)=X
0063 9 CONTINUE
C
0064 VSJM=0.
0065 DO 121 J=1,NQ2
0066 VSJM=VSJM+VDUM(J)*K2(J)
0067 121 CONTINUE
0068 VDJM2(I)=VSUM
C
0069 DO 11 J=1,NK
0070 SUM=0.
0071 DO 10 K=1,NQ2
0072 SUM=SUM+A21(K,J)*VDJ4(K)
0073 10 CONTINUE
0074 A11(I,J)=A11(I,J)-SUM
0075 11 CONTINUE
0076 12 CONTINUE
C
0077 DO 13 I=1,NQ1
0078 J=1+NQ1
0079 GA2(I)=1.
0080 GA2(J)=0.
0081 13 CONTINUE
C
0082 CALL LJSOL1(GA2,NK)
0083 CALL FPKWC1(VDUM2,NK)
C
0084 ANJM=0.
0085 DJM=0.
0086 DO 14 I=1,NQ1
0087 ANJM=ANJM+VDUM2(I)
0088 DJM=DJM+GA2(I)
0089 14 CONTINUE
0090 ANJM=ANJM/DJM
0091 15

```

```

C101      DO 17 J=1,NK
C102      QAI(J)=EK*QAZ(I)-VJUM2(I)
C103      QAZ(I)=QAZ(I)-VJUM2(I)
C104      17 CONTINUE
C
C105      DO 16 I=1,NQZ
C106      CSJM=1
C107      CSJ2=5
C108      DO 16 J=1,NK
C109      CSJ=OSJM+AP1(I,J)*QAI(J)
C110      CSUM2=OSUM2+21(I,J)*QAZ(J)
C111      16 CONTINUE
C112      QBI(I)=VK2(I)-OSUM
C113      QBI(I)=VK2(I)-OSUM2
C
C114      DO 20 I=1,M
C115      RI=OT
C116      ZI=BI(I)
C117      DO 20 J=1,NK
C118      R2=RS1(J)
C119      Z2=ZS1(J)
C120      CALL DCOEFF(R1,Z1,R2,Z2,X)
C121      R1(I),J1=V
C122      20 CONTINUE
C
C123      DO 22 I=1,M
C124      LSUM=1
C125      VSJM=1
C126      DO 21 J=1,NK
C127      CSJM=CSJM+21(I,J)*QAI(J)
C128      VSJM=VSJM+21(I,J)*QAZ(J)
C129      21 CONTINUE
C130      L(I)=CSUM
C131      V(I)=VSUM
C132      22 CONTINUE
C
C133      DO 24 I=1,M
C134      CSJM=1
C135      VSJM=1
C136      DO 23 J=1,NQZ
C137      CSJM=CSJM+23(I,J)*QB1(J)
C138      VSJM=VSJM+23(I,J)*QB2(J)
C139      23 CONTINUE
C140      S(I)=C(I)+SUM
C141      V(I)=V(I)+VSUM
C142      24 CONTINUE
C
C143      QBI(I)=1
C144      QBI(I)=1
C145      DO 125 I=1,NQZ

```

```

C137 OSJMI=OSUM1+O22(I)
C138 OSJM=OSUM2+O21(I)
C139 CONTINUE
C140
C
C141 DO 126 I=1,NQ1
C142 J=I+NQ2
C143 OSJMI=OSUM1+O22(I)
C144 CONTINUE
C145
C
C146 DO 127 I=2,M1
C147 J=I-1
C148 K=I+1
C149 XI=J*(J)+K*(K)-2.*E(I)
C150 X2=V(J)+V(K)-2.*V(I)
C151 DEN=E(I)*(V(I)-V(I1))-V(I1)*E(I1)-EK)
C152 CL(I)=(X1*(V(I)-V(I1))-X2*(E(I1)-EK))/DEN
C153 CM(I)=(X2*(E(I1)-X1*(V(I1))/DEN
C154 CONTINUE
C
C155 XI=C(M1)-E(M)
C156 X2=V(M)-V(N)
C157 DEN=(M)*(V(M)-V(I1))-V(I1)*E(M)-EK)
C158 CL(M)=(X1*(V(M)-V(I1))-X2*(E(M)-EK))/DEN
C159 CM(M)=(X2*(E(M)-X1*(V(M1))/DEN
C
C160 FSJM=0.
C161 VSJM=0.
C162 DO 128 I=2,M
C163 ESJM=FSJM+CM(I)*E(I)-EK)
C164 VSJM=VSJM+CL(I)*(V(I)-V(I1))
C165 CONTINUE
C
C166 CM(I)=
C167 CS=(CTOT1-CTOT2)/(VSUM+FSJM+V(2)+ESUM/EK)
C168 CL(I)=(CTOT2-CS*(L(I)-E(2))
C169 CRK=FSJM*CS/EK
C170 IF(C(L1).GT*.1) GO TO 228
C171 CL(I)=0.
C172 CS=CTOT2-EK*CTD(I)/(E(I)-E(2))-FSUM-EK*(V(I)-V(2)+VSJM)
C173 CM(I)=(CTOT2-(E(I)-L(2))*CS)/(E(I)-EK)
C174 CRK=CTOT1-(V(I)-V(2)+VSUM)*CS
C175 CONTINUE
C
C176 DO 129 I=2,M
C177 CM(I)=CS*CM(I)
C178 CL(I)=CRK*CL(I)
C179 CONTINUE
C
C180
C181
C182
C183
C184
C185
C186
C187
C188
C189
C190
C191
C192
C193
C194
C195
C196
C197
C198
C199
C200
C201
C202
C203
C204
C205
C206
C207
C208
C209
C210
C211
C212
C213
C214
C215
C216
C217
C218
C219
C220
C221
C222
C223
C224
C225
C226
C227
C228
C229
C230
C231
C232
C233
C234
C235
C236
C237
C238
C239
C240
C241
C242
C243
C244
C245
C246
C247
C248
C249
C250
C251
C252
C253
C254
C255
C256
C257
C258
C259
C260
C261
C262
C263
C264
C265
C266
C267
C268
C269
C270
C271
C272
C273
C274
C275
C276
C277
C278
C279
C280
C281
C282
C283
C284
C285
C286
C287
C288
C289
C290
C291
C292
C293
C294
C295
C296
C297
C298
C299
C300

```

DATA: 0.0001 CTOT1,CTOT2,CRK,CS,FK

```

2101 130 FORMAT ('',/,'SE2',6)
2102 WRITE(6,131) 4P,88,HP2,032
2103 131 FORMAT(4E20,6)
2104 WRITE(6,132)
2105 132 FORMAT(/,'50X',V(1),/ )
2106 WRITE(6,133) V(1),I=1,M)
2107 WRITE(6,133)
2108 133 FORMAT(/,'50X',E(1),/ )
2109 WRITE(6,137) E(1),I=1,M)
2110 WRITE(6,134)
2111 134 FORMAT(/,'50X',C(1),/ )
2112 WRITE(6,137) C(1),I=1,M)
2113 WRITE(6,135)
2114 135 FORMAT(/,'50X',CL(1),/ )
2115 WRITE(6,137) CL(1),I=1,M)
2116 WRITE(6,136)
2117 136 FORMAT(/,'50X',XU(1),/ )
2118 WRITE(6,137) XU(1),I=1,NS)
2119 137 FORMAT(2E14,6)
C
C
C CALL FUNCT
C
C
C G(ML)=SD
C G(N)=STOR
C G(N)=GP2
C G(NS)=GL2
C
C
C DO 138 I=2,M
C XDE=K*V(I)-E(I)*V(I)
C CA(I)=V(I)*GCM(I)/XDEN-GCL(I)*(V(I)-V(I))/XDEN
C CX(I)=GL(I)*(E(I)-E(I)-E(I))/XDEN-SCX(I)*E(I)/XDEN
C CE(I)=V(I)*(CK-L(I))/XDEN
C CY(I)=E(I)*(E(I)-E(I))/XDEN
C CZ(I)=V(I)*(V(I)-V(I))/XDEN
C CZ(I)=E(I)*V(I)-V(I)/XDEN
138 CONTINUE
C
C
C SSJM=2
C SSJM=3
C TSJM=3
C DO 139 I=2,M1
C J=I-1
C K=I+1
C CE=2.*E(I)-E(J)-E(K)
C CV=2.*V(I)-V(J)-V(K)
C SSJM=SSJM+CZ(I)*CV+CC(I)*CE
C SSJM=SSJM+CX(I)*CV+CA(I)*CE
C TSJM=TSJM+CX(I)*CV+CA(I)*CE
139 CONTINUE
C
C
C SE=CGM*V(I)-V(2)+CZ(M)*(V(I)-V(M))+CC(M)*(F(M)-E(M))
C SP=CGM+CX(M)*(V(I)-V(M))+CA(M)*(F(M)-E(M))
C TS=SSJM+CX(M)*V(M)-V(M)+CA(M)*(F(M)-E(M))

```

```

2229 IF(CL(1),L5,C,1 GO TO 238
2230 CDEV=D-SP*V(1)/K-V(1)*E(1)-E(2)/E(1)
2231 CMJM=-CS-T+SP*GCKK/EK+GSL(1)*E(1)-F(2)/E(1)
2232 TETA(1)=CMJM/COEN
2233 EPSI(1)=-GCL(1)+V(1)*TETA(1)/E(1)
2234 EPSILK=-GCKK+V(1)*TETA(1)/EK
2235 GO TO 236

2236 CONTINUE
2237 CDEV=SP+E(1)-E(2)-R*EK
2238 CMJM=-CCS-T+P*GCKK+E(1)-E(2)*GCM 1// F 1)-EK)
2239 EPSI(1)=CMJM/COEN
2240 EPSI(1)=-PSILK-GCM(1)/E(1)-EK)
2241 TETA 1)=- GCKK+K*EPSILK)
2242 CONTINUE

2243 DO 143 I=2,M
2244 EPSIL(I)=CA(I)+CB(I)*EPSILK+CC(I)*TETA(I)
2245 TETA(I)=CX(I)+CY(I)*EPSILK+CZ(I)*TETA(I)
2246 CONTINUE

2247 DELTA(I)=C.
2248 GAMMA(I)=C.
2249 DO 141 I=2,M1
2250 J=I-1
2251 K=I+1
2252 DELTA(I)=EPSIL(I)*CL(I)+CM(I)*EPSIL(I)-EPSIL(K)+
CS*(2.*EPSIL(I)-EPSIL(J)-EPSIL(K))
2253 GAMMA(I)=TETA(I)*CL I)+CM I)*TETA I)-TETA I)+
CS*(2.*TETA(I)-TETA(J)-TETA(K))
2254 CONTINUE
2255 DELTA(M)=CL M)*EPSIL(M)+CM(M)*EPSIL(M)-EPSIL(K)+
CS*(EPSIL(M)-EPSIL(M1))
2256 GAMMA(M)=CL(M)*TETA(M)+CM(M)*TETA(M)-TETA(M1)+
CS*(TETA(M)-TETA(M1))

2257 DO 142 I=1,NK
2258 GSJM1=C.
2259 GSJM2=C.
2260 DO 142 J=1,M
2261 GSJ1=SUM1+RI(J,I)*GAMMA(J)
2262 GSJ2=SUM2+RI(J,I)*DELTA(J)
2263 CONTINUE
2264 CAL(I)=-GSJM2
2265 CA2(I)=-GSJM1
2266 IF(L5,N01) CA2(I)=CA2(I)+TETA(I)
2267 CONTINUE

2268 DO 145 I=1,M02
2269 GSJ11=C.
2270 GSJ12=C.
2271 DO 144 J=1,M
2272 GSJ11=GSJ11+R2(J,I)*GAMMA J)

```

```

0273      DSJM2=DSJM2+B2(J,I)+DELTA(J)
0274      144 CONTINUE
0275      C22(I)=-DSJM1+TETA(I)
0276      C31(I)=-DSJM2+EPSIL(I)
0277      145 CONTINUE
      C
      C
0278      CN=-EPSIL*CKK
0279      DO 146 I=1,M
0280      CN=CN+CM(I)*(EPSIL I)-EPSIL<
0281      146 CONTINUE
      C
      C
0282      DSJM=0.
0283      DO 148 I=1,NQ2
0284      SUM=0.
0285      DO 147 J=1,NK
0286      SUM=SUM+A21(I,J)*(QA2(J)+VDUM2(J))
0287      147 CONTINUE
0288      DSJM=DSJM+C31(I)*SUM
0289      148 CONTINUE
      C
      C
0290      FSJM=0.
0291      DO 149 I=1,NK
0292      FSJM=FSJM+CA1(I)*(QA2(I)+VDUM2(I))
0293      149 CONTINUE
0294      BETAK= CN+FSJM-DSJM/DNUM
      C
      C
0295      DO 151 I=1,NK
0296      CRSUM1=0.
0297      CRSUM2=0.
0298      DO 150 J=1,NQ2
0299      CRSUM1=CRSUM1+A21(J,I)*C31(J)
0300      CRSUM2=CRSUM2+A21(J,I)*C32(J)
0301      150 CONTINUE
0302      ALPHA(I)=CA2(I)-CRSUM2
0303      BETA(I)=CA1(I)-CRSUM1
0304      IF(I.LE.NQ1) BETA(I)=BETA(I)-BETAK
0305      151 CONTINUE
      C
      C
0306      CALL FRCNT1(ALPHA,NK)
0307      CALL FRCNT1(BETA,NK)
      C
      C
0308      DO 32 I=1,NK
0309      R1=ZC1(I)
0310      Z1=ZC1(I)
0311      CETA=FRCLT*ELOAT(I-1)
0312      FSJM1=0.
0313      FSJM2=0.
0314      DSJM=0.
0315      ZC1=0.
      C
0316      DO 33 J=1,NK
0317      DSJM=DSJM+

```

```

2318 Z2=ZS1 J)
2319 CALL FCOFF(P1,71,R2,Z2,RCOMP,ZCOMP)
2320 GRAD=RCOMP*IV(CTETA)-ZCJ*IV*GDS(CTETA)
2321 FCM1=FCM1+CAL(J)*GRAD
2322 FCM2=FCM2+CA2(J)*GRAD
2323 RSM=RCM+ZCOMP*CAL(J)
2324 ZSUM=ZCM+ZCOMP*CAL(J)
2325 40 CONTINUE
2326 C
2327 DO 41 J=1,N02
2328 Z2=ZS2(J)
2329 Z2=ZS2(J)
2330 CALL FCOFF(P1,71,R2,Z2,RCOMP,ZCOMP)
2331 GRAD=RCOMP*IV(CTETA)-ZCJ*IV*GDS(CTETA)
2332 FCM1=FCM1+CAL(J)*GRAD
2333 FCM2=FCM2+CA2(J)*GRAD
2334 RSM=RCM+ZCOMP*CAL(J)
2335 ZSUM=ZCM+ZCOMP*CAL(J)
2336 41 CONTINUE
2337 FLSUM=SUM(RSM**2+ZSUM**2)
2338 GUM=ALPHA(1)*FSUM2+BETA(1)*FSUM1
2339 C
2340 C
2341 C
2342 WRITE(6,47)
2343 47 FORMAT(//,50X,'3(1)',/)
2344 WRITE(6,49) G(1),I=1,NS)
2345 WRITE(6,49)
2346 49 FORMAT(//,5'X',FLD(1),/,)
2347 RCT(1)=G(1,137) FLD(1),I=1,NK)
2348 GUESS
2349 END

```

```

C
C
C
0001 SUBROUTINE PRMCH(LAMBDA)
0002 IMPLICIT REAL*4(A-H,D-Z)
0003 COMMON/AM2/F,FD,LT,AM,NI,NO2,NK,M,M1,MP,NL,NM,NR,NS
0004 COMMON/AM4/S(126),P(64),S(64)
0005 COMMON/AM7/AMIN,PM,PP,DP,MP2,DB2,DP2,DT
0006 DIMENSION V(20)
C
C
0007 DO 1 J=1,NQ1
0008 P(J)=P(I)*XP(AMDA*S(J))
0009 IF(P(J).LT.RMIN) P(J)=RMIN
0010 1 CONTINUE
C
C
0011 PLI=NO2-1.3*DT
0012 DO 2 J=1,NQ1
0013 I=J*NQ1
0014 P(I)=P(I)*XP(AMDA*S(I))
0015 IF(P(I).LT.RMIN) P(I)=RMIN
0016 CTETA=FD*LI*ELQAI(J-1)
0017 CLIM=PI*ASIN(CTETA)
0018 IF(CTETA.GT.PLI) P(I)=ALIM/SIN(CTETA)
0019 2 CONTINUE
C
C
0020 DO 3 I=1,NQ1
0021 J=I*NQ1
0022 V(J)=P(J)
0023 3 CONTINUE
C
C
0024 LCON=2
0025 CALL SHIFT(V(20),NQ1,HP2,BB2,OT,RMIN,LCON)
C
C
0026 DO 4 I=1,NQ1
0027 J=I*NQ1
0028 P(J)=V(J)
0029 4 CONTINUE
C
C
0030 DO 5 I=1,NQ1
0031 V(J)=P(J)
0032 5 CONTINUE
C
C
0033 LCON=1
0034 CALL SHIFT(V(20),NQ1,HP,BB,DT,RMIN,LCON)
C
C
0035 DO 6 I=1,NQ1
0036 P(J)=V(J)
0037 6 CONTINUE
0038 P(1)=P(1)*XP(AMDA*S(NL))
0039 P(2)=P(2)*XP(AMDA*S(NM))
0040 P(3)=P(3)*XP(AMDA*S(NS))
0041 IF(P(3).GT.P) P=PLI
0042 IF(P(NL).GT.P) P=PLI
0043 IF(P(NM).GT.P) P=PLI
0044 IF(P(NS).GT.P) P=PLI

```


PAGE 3002

15/13/19

DATE = 84128

PRMCH

FORTRAN IV G LEVEL 21

IF(P(NS).LE.0.3) P(NS)=0.3
RSTJPN
END

0045
0045
0045

```

0001 SUBROUTINE CNCRD(EST, EPS, LIMIT, IER, $PR)
0002 IMPLICIT REAL*4(A-H, J-Z)
0003 LOGICAL*4 I$PR
0004 COMMON/NAW2/F, FDELTA, AH, NQ1, NQ2, NK, *M, *MP, NL, NM, NR, NS
0005 COMMON/NAW4/S(128), P(64), G(64)
C
0006 ICOUNT=0
0007 IER=0
0008 *M1=NS
0009 *M4=*M1+1
C
0010 CALL FIELD
0011 IF($PR) PRINT 105, F
0012 105 FORMAT(/, ' INITIAL ERROR= ', E12.5)
C
0013 DO 20 J=1, *M4
0014 ICOUNT=ICOUNT+1
0015 OLDSE=F
0016 LC=0
0017 SE=1.
0018 DO 10 I=1, *M1
0019 SG=SG*(J)*G(J)
0020 1 CONTINUE
0021 IF (SCALE .LE. 15) GOTO 50
C
0022 IF (I .GT. 1) GOTO 3
0023 DO 2 J=1, *M1
0024 S(J)=-S(J)
0025 2 CONTINUE
0026 GOTO 4
0027 3 PATA=CG/OLDSE
0028 DO 5 J=1, *M1
0029 S(J)=-S(J)+PATA*S(J)
0030 5 CONTINUE
C
0031 4 VD=F
0032 V0=V.
0033 SS=V.
0034 DO 6 J=1, *M1
0035 K=J+*M1
0036 S(K)=P(I)
0037 V0=V0+P(J)*S(J)
0038 SS=SS+S(J)*S(J)
0039 6 CONTINUE
C
0040 IF (V0 .GT. 0.1) GOTO 20
0041 ALPHA=SS*(EST-C)/V0
0042 AN=ALPHA/COAT(03)
0043 IF (ABS(ALPHA) .GT. 1) GOTO 7

```

```

0044      8 IF (ALFA**2*SS.GE.1.) GOTO 7
0045      AMDDA=ALFA
0046      7 ALFA=.
C
0047      15 YA=VB
0048      VB=VB
0049      CALL SUBCH(AMDDA)
0050      CALL FIELD
0051      IF (500) PRINT 101,ICOUNT,F
0052      101 FORMAT(' EXTRAPOLATION---ITERATION NO. ',I4,' ERROR= ',E12.4)
0053      YB=C
0054      VB=.
0055      DO 10 J=1,NM1
0056      VB=VB+R(J)*S(J)
0057      10 CONTINUE
0058      11 IF (VB) 11,12,21
0059      11 IF (VB.GT.YA) GOTO 21
0060      IF (SS*AMDDA.LT.1.E13) GOTO 15
0061      23 I=3
0062      RETURN
C
0063      21 I=
0064      Z=2.*(YA-YB)/AMDDA+VA+VB
0065      13 CONTINUE
0066      LC=1/CL
0067      W=SQRT(Z**2-VB*VB)
0068      ALFA=AMDDA*(VB+W-Z)/(VB+2.*W-VA)
0069      ALFA=1-ALFA
0070      CALL SUBCH(ALFA)
0071      CALL FIELD
0072      ICOUNT) PRINT 102,ICOUNT,F
0073      102 FORMAT(' X, INTERPOLATION---ITERATION NO. ',I4,' ERROR= ',E12.4)
0074      IF (ALFA.YA.AND.F.LT.YB) GOTO 12
0075      IF (LC.GT.2) GOTO 12
0076      VCF=.
0077      DO 10 J=1,NM1
0078      VC=VC+S(J)*S(J)
0079      10 CONTINUE
0080      14 IF (VC.GT.5.) GOTO 18
0081      YB=F
0082      VA=VC
0083      AMDDA=ALFA
0084      T=AMDDA
0085      GOTO 13
0086      15 VB=F
0087      VC=VC
0088      AMDDA=AMDDA-ALFA
0089      GOTO 21
C
0090      12 I=
0091      DO 20 J=1,NM1
0092      YB=YB+S(J)*S(J)
0093      20 T=AMDDA*(YB)

```

PAGE 0003

15/13/19

DATE = 84123

CNCRD

FORTRAN IV G LEVEL 21

```

0005 C
0006 IF (COUNT.LT.44) GOTO 22
0007 IF (.LT.205) GOTO 29
0008 22 CONTINUE
0009 29 CLD=50
0010 IF (COUNT.GE.LIMIT) GOTO 53
0011 27 CONTINUE
0012 GOTO 100
0013 28 IF (20-205) 50,50,123
0014 53 10007
0015 RETURN
0016 50 10001
0017 123 10000
0018 RETURN
0019 END

```

FORTRAN IV G LEVEL 21

MAIN

DATE = 04123

15/13/19

P

```

10001 IMPLICIT REAL*4(A-H,D-Z)
10002 LOGICAL*4(SR)
10003 COMMON/MAN1/RESPEC(2,1),EO(2,1),Y11A(2,1),Y11B(2,1),Y11C(2,1),Y12(2,1),
10004   1  DT,CL(2,1),SM(2,1),KEF1,REF2,VIND,RCCAL,Z1,Z2,DELTA,KK,ALDSS,
10005   2  S01,S02,S03,STOR,GLTOR,Z1,C2,C3,HL,Z2,HD,HLTOR,KTOR,RZP2,
10006   3  HL,FL,W1,W,SSSSC,SCAP,WOSC,N,NV,NY,N1,NV1,NP
10007 COMMON/MAN2/FE,FCLT,AM,NQ1,NQ2,NK,M,N1,N2,NL,NM,NR,NS
10008 COMMON/MAN3/R2(2,1,15),VK2(1,15),FC2(1,15),RS2(1,15),ZC2(1,15),
10009   1  ZS2(1,15),H(2,1)
10010 COMMON/MAN4/Z5(1,23),K(6,4),Z(6,4)
10011 COMMON/MAN5/RMIN,H4,HP,BB,OP,RP2,RP2,OP2,OT
10012 COMMON/MAN7/AP2(1,15,15),JP1V2(1,15)

```

```

10013 READ(5,101) RT,R2,ALBR1,ALBR2
10014 R1,LO(5,1,1) R0,ALD,KTOR,ALFJR
10015 READ(5,101) DELTA,Z1,Z2,RLDSS
10016 READ(5,104)NI,IV,NV
10017 R1,LO(5,1,1)R4,DP,DP,DP
10018 READ(5,1,1)DP2,RP2,OP2,OT
10019 READ(5,1,2) M,N,N1,NC,NQ1,NQ2
10020 WRITE (6,103)
10021 WRITE (6,101) RT,R2,ALBR1,ALBR2
10022 WRITE(6,1,1) R0,ALD,KTOR,ALFJR
10023 WRITE(6,1,1)DELTA,Z1,Z2,RLDSS
10024 WRITE(6,1,4)NI,IV,NV
10025 WRITE(5,1,1) HP,HB,DD,UP,HP2,RP2,OP2,OT
10026 WRITE(6,1,2) M,N,N1,NC,NQ1,NQ2
10027
10028 101 FORMAT(4E15.5)
10029 102 FORMAT(A15)
10030 103 FORMAT(2I5,5A15)

```

```

10031 M1=M-1
10032 M2=M+1
10033 N1=N-2*N1
10034 N2=N+1
10035 NY=N/2
10036 NK=NQ1+*21
10037 N1=NQ1+1
10038 N2=NQ1+1
10039 N3=NQ1+1
10040 N4=NQ1+1
10041 N5=NQ1+1

```

```

10042 R1=Z1+Z2
10043 R2=Z1+Z2
10044 R3=Z1+Z2

```

```

10045 Z1=Z1+Z2
10046 Z2=Z1+Z2
10047 Z3=Z1+Z2
10048 Z4=Z1+Z2

```

C

C

C

C

C

```

0044 C
0045 C
0046 C
0047 C
0048 C
0049 C
0050 C
0051 C
0052 C
0053 C
0054 C
0055 C
0056 C
0057 C
0058 C
0059 C
0060 C
0061 C
0062 C
0063 C
0064 C
0065 C
0066 C
0067 C
0068 C
0069 C
0070 C
0071 C
0072 C
0073 C
0074 C
0075 C
0076 C
0077 C
0078 C
0079 C
0080 C
0081 C
0082 C
0083 C
0084 C
0085 C
0086 C
0087 C
0088 C
0089 C
0090 C
0091 C
0092 C
0093 C
0094 C
0095 C
0096 C
0097 C
0098 C
0099 C
0100 C
0101 C
0102 C
0103 C
0104 C
0105 C
0106 C
0107 C
0108 C
0109 C
0110 C
0111 C
0112 C
0113 C
0114 C
0115 C
0116 C
0117 C
0118 C
0119 C
0120 C
0121 C
0122 C
0123 C
0124 C
0125 C
0126 C
0127 C
0128 C
0129 C
0130 C
0131 C
0132 C
0133 C
0134 C
0135 C
0136 C
0137 C
0138 C
0139 C
0140 C
0141 C
0142 C
0143 C
0144 C
0145 C
0146 C
0147 C
0148 C
0149 C
0150 C
0151 C
0152 C
0153 C
0154 C
0155 C
0156 C
0157 C
0158 C
0159 C
0160 C
0161 C
0162 C
0163 C
0164 C
0165 C
0166 C
0167 C
0168 C
0169 C
0170 C
0171 C
0172 C
0173 C
0174 C
0175 C
0176 C
0177 C
0178 C
0179 C
0180 C
0181 C
0182 C
0183 C
0184 C
0185 C
0186 C
0187 C
0188 C
0189 C
0190 C
0191 C
0192 C
0193 C
0194 C
0195 C
0196 C
0197 C
0198 C
0199 C
0200 C
0201 C
0202 C
0203 C
0204 C
0205 C
0206 C
0207 C
0208 C
0209 C
0210 C
0211 C
0212 C
0213 C
0214 C
0215 C
0216 C
0217 C
0218 C
0219 C
0220 C
0221 C
0222 C
0223 C
0224 C
0225 C
0226 C
0227 C
0228 C
0229 C
0230 C
0231 C
0232 C
0233 C
0234 C
0235 C
0236 C
0237 C
0238 C
0239 C
0240 C
0241 C
0242 C
0243 C
0244 C
0245 C
0246 C
0247 C
0248 C
0249 C
0250 C
0251 C
0252 C
0253 C
0254 C
0255 C
0256 C
0257 C
0258 C
0259 C
0260 C
0261 C
0262 C
0263 C
0264 C
0265 C
0266 C
0267 C
0268 C
0269 C
0270 C
0271 C
0272 C
0273 C
0274 C
0275 C
0276 C
0277 C
0278 C
0279 C
0280 C
0281 C
0282 C
0283 C
0284 C
0285 C
0286 C
0287 C
0288 C
0289 C
0290 C
0291 C
0292 C
0293 C
0294 C
0295 C
0296 C
0297 C
0298 C
0299 C
0300 C
0301 C
0302 C
0303 C
0304 C
0305 C
0306 C
0307 C
0308 C
0309 C
0310 C
0311 C
0312 C
0313 C
0314 C
0315 C
0316 C
0317 C
0318 C
0319 C
0320 C
0321 C
0322 C
0323 C
0324 C
0325 C
0326 C
0327 C
0328 C
0329 C
0330 C
0331 C
0332 C
0333 C
0334 C
0335 C
0336 C
0337 C
0338 C
0339 C
0340 C
0341 C
0342 C
0343 C
0344 C
0345 C
0346 C
0347 C
0348 C
0349 C
0350 C
0351 C
0352 C
0353 C
0354 C
0355 C
0356 C
0357 C
0358 C
0359 C
0360 C
0361 C
0362 C
0363 C
0364 C
0365 C
0366 C
0367 C
0368 C
0369 C
0370 C
0371 C
0372 C
0373 C
0374 C
0375 C
0376 C
0377 C
0378 C
0379 C
0380 C
0381 C
0382 C
0383 C
0384 C
0385 C
0386 C
0387 C
0388 C
0389 C
0390 C
0391 C
0392 C
0393 C
0394 C
0395 C
0396 C
0397 C
0398 C
0399 C
0400 C
0401 C
0402 C
0403 C
0404 C
0405 C
0406 C
0407 C
0408 C
0409 C
0410 C
0411 C
0412 C
0413 C
0414 C
0415 C
0416 C
0417 C
0418 C
0419 C
0420 C
0421 C
0422 C
0423 C
0424 C
0425 C
0426 C
0427 C
0428 C
0429 C
0430 C
0431 C
0432 C
0433 C
0434 C
0435 C
0436 C
0437 C
0438 C
0439 C
0440 C
0441 C
0442 C
0443 C
0444 C
0445 C
0446 C
0447 C
0448 C
0449 C
0450 C
0451 C
0452 C
0453 C
0454 C
0455 C
0456 C
0457 C
0458 C
0459 C
0460 C
0461 C
0462 C
0463 C
0464 C
0465 C
0466 C
0467 C
0468 C
0469 C
0470 C
0471 C
0472 C
0473 C
0474 C
0475 C
0476 C
0477 C
0478 C
0479 C
0480 C
0481 C
0482 C
0483 C
0484 C
0485 C
0486 C
0487 C
0488 C
0489 C
0490 C
0491 C
0492 C
0493 C
0494 C
0495 C
0496 C
0497 C
0498 C
0499 C
0500 C

```

```

CSCAL=4.*PI*R.954*1.E-12
RSCAL=DELTA/CSCAL
ALSCAL=DELTA*RSCAL

```

```

RT=RT/RSCAL
R1=R1/RSCAL
R2=R2/RSCAL
R3=R3/RSCAL
R4=R4/RSCAL
R5=R5/RSCAL
R6=R6/RSCAL
R7=R7/RSCAL
R8=R8/RSCAL
R9=R9/RSCAL
R10=R10/RSCAL
R11=R11/RSCAL
R12=R12/RSCAL
R13=R13/RSCAL
R14=R14/RSCAL
R15=R15/RSCAL
R16=R16/RSCAL
R17=R17/RSCAL
R18=R18/RSCAL
R19=R19/RSCAL
R20=R20/RSCAL

```

```

DELTA=1.
VD=V1*V0+1
ND2=V1*V0
R1=V1*V0
TK=V1*V0*V1*V0

```

```

R11=2.*ALP
G1=1./(R1+R11)
H1=3*(R1+R11)
S1=G1*(1+H1)
ALP=-R10SS/(2.*Z1)
ATM=EXP(ALP)
FL=2.*ATM/Z1
HL=ATM*Z2
RCS=2.*R1*(R1+R11)/CSCAL
SCAL=2./Z2
YES=CCCS+SCAR

```

```

SPR=TORJE
R1N=0.7*WDP2

```

```

LIMIT=4

```

```

DO 5 I=1,NP
CTE=FOI*W*.5*ELC(I-1)
RC(I)=RWSIN(CTE)
ZC(I)=RHS*W*COS(CTE)
SC(I)=AHS*ZC(I)
ZSC(I)=RHS*W*ZC(I)
5 CONTINUE

```

```

DO 6 I=1,NP
AL=SC(I)
V1=ZC(I)
6 CONTINUE

```

PAGE 0013

15/13/19

DATE = 84123

MAIN

FCPT3: IV 3 LEVFL 01

```

0085 DO 9 J=1,N02
0087 X2=RZ2(J)
0089 Y2=ZS2(J)
0091 CALL PCOEF(X1,Y1,X2,Y2,X)
0092 A22(I,J)=X
0091 9 CONTINUE
C
C
0092 DO 11 I=1,N02
0093 VK2(I)=1.
0094 11 CONTINUE
C
C
0095 CALL LUSQL2(VK2,N02)
0096 X4=SQRT(DP**2-DI**2)
0097 HMAX=H+X4
0098 HMIN=H-?
0099 HDEL=(HMAX+HMIN)/FLGAT(M=1)
0100 DO 13 I=1,M
0101 H(I)=HAY-HDEL*FLGAT I-1)
0102 13 CONTINUE
C
C
0103 DO 19 I=1,M
0104 X1=0
0105 Y1=H(I)
0106 DO 18 J=1,N02
0107 X2=OS2(J)
0108 Y2=ZS2(J)
0109 CALL PCOEF(X1,Y1,X2,Y2,X)
0110 R2(I,J)=X
0111 19 CONTINUE
C
C
0112 DO 20 I=1,N01
0113 J=1+N01
0114 R(I)=0
0115 R(J)=0
0116 20 CONTINUE
0117 R(N01)=0
0118 R(N01)=0
0119 R(N01)=0
0120 R(N01)=0
C
C
0121 TRIS=1.5
0122 DO 21 I=1,NM
0123 A(I)=FLGAT(I-NP)/TRISL
0124 IF(LABS(AT*00.1) AND=86.
0125 AC2=-A(I)
0126 EXC=EXP(A(I))
0127 R(I)=FLGAT I-NP)*TRISL*(EXS-1.)
0128 IF(LABS(R(I)*2) EQ(1)=0.
0129 21 CONTINUE
C
C
0130 EST=1.5-6
0131 EPS=1.5-9

```

PAGE 1004

15/13/10

DATE = 04123

MAIN

PROGRAM IV G LEVEL 01

CALL CURSO EST, LPS, LIMIT, IER, (200)

0122
C
C
C
C

CALL PLOT RESP, (N)

0124
0125
0126

STOP
END

BIBLIOGRAFIA

1. HARADA, T. et alii, "A high quality voltage divider using optoelectronics for impulse voltage measurements". IEEE Transactions on Power Apparatus and Systems, 1971, pp.494-500.
2. SCHWAB, A.J., "High-voltage measurement techniques". MIT.PRESS, Cambridge MASS.USA, 1972.
3. ZAENGL, W., "Voltage measurement on UHV Systems".
4. BOWDLER, G.W., "Measurement in High-Voltage Test Circuits", Pergamon Press, OXFORD(1973).
5. OGATA, Katsuhiko, "Modern Control Engineering", Prentice-Hall, Inc., Englewood Cliffs, N.J., 1970.
6. International Electrotechnical Commission, Publication 60.2, "High-Voltage Test Techniques, Part 2 Test procedure", 1973.
7. W. L. A. Neves, "Resposta degrau de um divisor de potencial capacitivo", Tese de Mestrado, UFPb, Campina Grande, fev/1982.
8. HAWLEY, W. G., "Impulse-Voltage Testing", Chapman & Hall Ltd. London(1959).

9. KIND, DIETER, "An introduction to high-voltage experimental technique", Viewg, Braunschweig, 1928.
10. SCHAWB, A.J., PAGEL, J. H. W., "Precision capacitive voltage divider for impulse voltage measurements". IEEE Transactions on Power Apparatus and Systems", 1972, pp.2376-2382.
11. H. Singer, H. Steinbigler, P. Weiss, "A charge simulation method for the calculation of high voltage fields". Trans. IEEE, Power Apparatus and Systems, Vol.PAS-93, pp.1660-1668, 1974.
12. H. W. Dommel, "Digital computer solution of electromagnetic transients in single-and multiphase networks". Trans. IEEE, Power Apparatus and Systems, Vol.PAS-88, pp.388-399, 1969.
13. KALSTON, A., H.S. Wilf, "Mathematical methods for Digital Computers", Wiley, 1967.
14. ADBY, P.R., and Dempster N.A.H., "Introduction to Optimization Methods", Chapman & Hall, 1974.
15. GOTTFRIED B.S., WEISMAN J., "Introduction to Optimization theory", Prentice-Hall, New Jersey, 1973.
16. R. Fletcher, C.M. Reeves, "Function minimization by conjugate gradients". Computer Journal, Vol.7,pp. 149-154, 1964.

17. A. F. C. Neto, "Divisor de potencial resistivo para tensão de impulso até 1MV", Tese de Mestrado, Campina Grande, mar/1983, UFPb.
18. R. A. Rohrer, "Fully Automated Network Design by Digital Computer; Preliminary Consideration", Proc. IEEE, Vol. PAS-53, 1965, pp.1701-1706.
19. S. R., NAIDU, A.F. C. Neto, "The stray capacitance equivalent circuit of resistive voltage dividers". To be published.